

S-050

Türk erişkinlerinde ESR1 gen polimorfizminin hipertansiyon ve plazma lipid seviyeleri ile ilişkisiFiliz Güçlü Geyik¹, Neslihan Çoban¹, Altan Onat², Günay Can³, Nihan Ergenel Ünaltna¹¹*İstanbul Üniversitesi Deneysel Tıp Araştırma Enstitüsü, Genetik Anabilim Dalı, İstanbul*²*Türk Kardiyoloji Derneği, İstanbul*³*İstanbul Üniversitesi Cerrahpaşa Tıp Fakültesi, Halk Sağlığı Anabilim Dalı, İstanbul*

Amaç: Kardiyovasküler hastalıklar için hipertansiyon, hiperlipidemi, obezite, diyabet, kontrol altına alınabilir risk faktörleridir. Gerek kardiyovasküler hastalıklar gerekecek risk faktörlerinin ortaya çıkışında genetik faktörler önemli rol oynamaktadır. Bu risk faktörlerinin önlenilebilmesinde genetik etyolojinin belirlenmesi öncü taşımaktadır. Risk faktörlerinin erkek ve kadın için farklı olmasında sorumluluğu tutulan östrojen hormonu, dokularda etkisini reseptör ile östrojen reseptör alfa (ESR1) ile göstermektedir. ESR1 gen polimorfizmleri, kardiyovasküler hastalıklar, obezite, LDL metabolizması, kan basıncı ve diyabet gibi risk faktörleri ile ilişkilendirilmiştir. Bu çalışmada, Türk erişkinlerinde ESR1 rs2175898 gen polimorfizminin plazma lipid, lipoprotein ve apolipoprotein seviyeleri üzerine etkileri ve metabolik sendrom, diyabet, hipertansiyon, obezite ile ilişkilerinin incelenmesi amaçlanmıştır.

Yöntem: TEKHARF çalışmasına katılan bireylerin periferik kanlarından genomik DNA bankası oluşturulmuştur. Çalışmamızda, 1853 yetişkin birey (yaş ortalaması; 49,4±11,8) hidrasyon problemleri kullanılarak LC 480 cihazında Real-time PCR yöntemi ile genotiplendi. TEKHARF çalışmasından elde edilen klinik ve biyokimyasal ölçümüle genotiplerin ilişkisi, t-test, chi² ve kovaryans analizleri ile incelendi.

Bulgular: ESR1 rs2175898 gen polimorfizminin genotip dağılımları, AA genotipi için %59,7 (n=1107), AG için %34,6 (n=643) ve GG için % 5,6 (n=103) olarak tespit edildi. Türk populasyonda rs2175898 polimorfizmi için G nadir allele stikliği %23 olarak belirlendi. ESR1 rs2175898 polimorfizminin plazma lipid, lipoprotein ve apolipoprotein seviyeleri ile olan ilişkisine bakıldığında GG genotipi taşıyan kadınlarda yaş ve bel çevresinden bağımsız olarak düşük total-kolesterol ($p=0,038$), LDL-Kol ($p=0,014$), apolipoprotein B ($p=0,022$) ve yüksek apolipoprotein A1 ($p=0,015$) seviyeleri ile ilişki bulundu. ESR1 rs2175898 gen polimorfizminin GG genotipi taşıyan erkeklerde hipertansiyon için istatistiksel olarak anlamlı derecede azalmış risk bulundu ($p=0,011$). Erkeklerde hipertansiyon yönünden, yaşı, sigara, alkol kullanımı, fizik aktivite, bel çevresi, diyabet, triglycerid düzeyi kovaryant olarak alındığı logistik regresyon analizinde GG genotipi taşıyıcılığı ile hipertansiyon arasında ilişki bulunmadı ($p=0,618$, 95 CI, 0,5-2,5 OR: 1,211). Menopozsuz kadınlarında hipertansiyon yönünden yaş kovaryan olarak alındığında GG genotipi taşıyıcılığı ile hipertansiyon arasında ilişki bulundu ($p=0,049$, 95 CI, 1,0-6,5 OR: 2,558). rs2175898 gen polimorfizmi ile obezite, diyabet ve metabolik sendrom ile her iki cinsiyette ilişki saptanmadı.

Sonuç: ESR1 rs2175898 gen polimorfizminin nadir allele taşıyıcı Türk erişkin kadınlarda kardiyovasküler hastalıklar için koruyucu önce etki gösterdiği düşünülmektedir. Bu yönde bir ilişki bu genin kardiyovasküler hastalıklar için önemini destelemektedir.

S-051

AFTER (Atrial Fibrillation in Turkey: Epidemiologic Registry) çalışması; atriyal fibrilasyonlu hastalarda warfarin kullanımı ve hedef INR değerlerine ulaşma sıklığıMurat Yüksel¹, Faruk Ertas², Hasan Kaya², Ziya Şimşek³, Nuri Köse⁴, Mehmet Ata Akıl², Mehmet Kanadaş⁵, Göksel Açıar⁶, Bayram Körögöl⁷, Mustafa Oylumlu⁸, Mehmet Güll⁹, Rüstem Yılmaz⁹, Hakan Özhan¹⁰¹*Malatya Devlet Hastanesi Kardiyoloji Kliniği, Malatya*²*Dicle Üniversitesi Tıp Fakültesi, Kardiyoloji Anabilim Dalı, Diyarbakır*³*Atatürk Üniversitesi Tıp Fakültesi, Kardiyoloji Anabilim Dalı, Erzurum*⁴*Özel Yücelen Hastanesi, Kardiyoloji Bölümü, Muğla*⁵*Cukurova Üniversitesi Tıp Fakültesi, Kardiyoloji Anabilim Dalı, Adana*⁶*Kartal Koşuyolu Yüksek İhtisas Eğitim ve Araştırma Hastanesi, Kardiyoloji Bölümü, İstanbul*⁷*Dr. Siyami Ersek Göğüs, Kalp ve Damar Cerrahisi Eğitim ve Araştırma Hastanesi, Kardiyoloji Kliniği, İstanbul*⁸*İstanbul Mehmet Akif Ersoy Eğitim ve Araştırma Hastanesi, Kardiyoloji Kliniği, İstanbul*⁹*Samsun Gazi Devlet Hastanesi, Kardiyoloji Kliniği, Samsun*¹⁰*Düzce Üniversitesi Düzce Tıp Fakültesi Kardiyoloji Anabilim Dalı, Düzce*

Amaç: Atriyal fibrilasyonun (AF) en önemli komplikasyonu tromboembolik olaylardır. Yapılan çalışmalarla, AF'li hastalarda tromboembolik olayları önlemek en etkili yolun warfarinle sağlanan etkin antikoagülasyon olduğu gösterilmiştir. Bu çalışmada amaç AF tanısı konulmuş hastalarda oral antikoagülân tedavisi uygulanma sıklığı ve hedef INR değerlerine ne oranda ulaşıldığını araştırmaktır.

Metod: Gözlemlisel, kesitsel, çok merkezli bu çalışmaya Türkiye'deki nüfus dağılımı da gözönüne alınarak 17 ayrı merkezden toplam 2162 AF hastası dahil edildi. Kardiyoloji polikliniğine başvuran AF hastaları kardiyoloji uzmanı tarafından değerlendirilerek warfarin tedavisi alıp almadığı sorulandı ve tüm hastaların INR değerleri ölçültüler tedavi alanında warfarinin etkinliği değerlendirildi.

Bulgular: Hastaların warfarin kullanımına hedef INR değerlerine ulaşma oranları tabloda gösterilmiştir. Hastaların yarısı warfarin kullanıyordu. Warfarin kullanım sıklığı valvüler AF'de en sıkı (%83). CHADS2VASc skoru arttıkça warfarin kullanım sıklığı artıyordu. HASBLED skoru yüksek kişilerde ise warfarin kullanım sıklığı daha azdı.

Sonuç: Hastaların sadece yarısı oral antikoagülân kullanımına ve tüm hasta grupplarında etkin INR değerine ulaşma başarısı %50'ler düzeyinde kalmaktadır. Ülkemizde bu konuda yapılan ilk ve en kapsamlı çok merkezli epidemiyolojik çalışma olan AFTER sonuçları uluslararası çalışmalarla uyumluştur. "Bu çalışma çok merkezli AFTER çalışmasının bir parçasıdır."

S-050

The polymorphism of ESR1 gene is associated with hypertension and lipid levels in Turkish adultsFiliz Güçlü Geyik¹, Neslihan Çoban¹, Altan Onat², Günay Can³, Nihan Ergenel Ünaltna¹¹*Department of Genetics, İstanbul University Institute of Experimental Medicine, İstanbul*²*Turkish Society of Cardiology, İstanbul*³*Department of Public Health, İstanbul University Cerrahpaşa Faculty of Medicine, İstanbul*

Aim: Hypertension, hyperlipidemia, obesity and diabetes are preventable risk factors for cardiovascular diseases. Genetical factors play roles in etiology of both cardiovascular disease and its risk factors obesity. Therefore, it is important to determine genetic risk factors which affect phenotypes involving cardiovascular risk factors. The estrogen hormone responsible for differences between men and women in these risk factors exerts its effect on tissues mainly through its cognate receptors, ESR1(estrone receptors alpha). Variant in the ESR1 gene have been associated with cardiovascular disease, obesity, LDL metabolism, blood pressure and diabetes. In this study, we aimed to investigate the effect of rs2175898 polymorphism of ESR1 gene on lipid, lipoprotein and apolipoprotein levels and the association of this polymorphism with metabolic syndrome, diabetes, hypertension and obesity in adult Turkish population.

Method: The genomic DNA bank of TARF (Turkish Adult Risk Factor) study has been established. 1853 adult individuals (mean age 49,4±11,8 years) were examined for their rs2175898 genotypes. Genotyping was performed by using hybridisation probes in Real-Time PCR LC480 and results were analyzed by statistical analysis.

Results: ESR1 gene, genotype frequencies of rs2175898 polymorphism were found as 59,7 (n=1107), %34,6 (n=643) ve %5,6 (n=103) for AA, AG ve GG, respectively. Rare allele frequency was calculated as 0,23. In women, GG genotypes associated with lower apolipoprotein B ($p=0,022$), LDL- cholesterol ($p=0,014$), total cholesterol (T-) ($p=0,038$) and high apolipoprotein A1 ($p=0,015$) levels with the regardless of age and waist circumference covariates. The GG genotypes of rs2175898 polymorphism shown that there is higher GG frequency in non-hypertensive men ($p=0,011$). Its genotypes was associated with hypertension after adjustment for age, smoking, alcohol consumption, physical activity, waist circumference, diabetes and triglyceride covariates, but, GG genotypes was not associated with susceptibility to non-hypertensive men ($p=0,618$, 95 CI, 0,5-2,5 OR: 1,211). After, adjusted to age, rs2175898 polymorphism GG genotypes associated with hypertension in pre-menopausal women ($p=0,049$, 95 CI, 1,0-6,5 OR: 2,558). No significant association was detected with the polymorphism and obesity, diabetes and metabolic syndrome in both gender.

Conclusion: It was concluded that, ESR1 rs2175898 rare allele carriage in Turkish adult women provides a protective effect on cardiovascular diseases. This correlation shows that ESR1 gene is significant for cardiovascular disease.

S-051

AFTER (Atrial Fibrillation in Turkey: Epidemiological Registry) study: warfarin usage in patients with atrial fibrillation and the frequency of reaching the target INR valuesMurat Yüksel¹, Faruk Ertas², Hasan Kaya², Ziya Şimşek³, Nuri Köse⁴, Mehmet Ata Akıl², Mehmet Kanadaş⁵, Göksel Açıar⁶, Bayram Körögöl⁷, Mustafa Oylumlu⁸, Mehmet Güll⁹, Rüstem Yılmaz⁹, Hakan Özhan¹⁰¹*Department of Cardiology, Malatya State Hospital, Malatya*²*Department of Cardiology, Dicle University Faculty of Medicine, Diyarbakır*³*Department of Cardiology, Atatürk University Faculty of Medicine, Erzurum*⁴*Department of Cardiology, Yücelen Special Hospital, Muğla*⁵*Department of Cardiology, Çukurova University Faculty of Medicine, Adana*⁶*Department of Cardiology, Kartal Koşuyolu Yüksek İhtisas Training and Research Hospital, İstanbul*⁷*Dr. Siyami Ersek Thoracic, and Cardiovascular Surgery, Training and Research Hospital, Division of Cardiology, İstanbul*⁸*Department of Cardiology, İstanbul Mehmet Akif Ersoy Training and Research Hospital, İstanbul*⁹*Department of Cardiology, Samsun Gazi State Hospital, Samsun*¹⁰*Department of Cardiology, Düzce University Düzce Faculty of Medicine, Düzce*

	Warfarin kullanıyor n (%)	INR etkili olması n (%)
Tüm hastalar	1679 (30)	625 (38)
Non-valvular AF	681 (48)	363 (54)
Valvüler AF	798 (53)	249 (31)
Paküntünel AF	130 (12)	68 (53)
Paroxistik AF	949 (54)	556 (59)
CHADS2VASc skoru 0	1123 (67)	46 (4)
CHADS2VASc skoru > 0	556 (33)	27 (3)
CHADS2VASc skoru > 1	41 (7)	2 (5)
CHADS2VASc skoru > 2	617 (42)	329 (54)
HASBLED skoru = 0	662 (36)	393 (59)
HASBLED skoru ≥ 1	417 (48)	234 (56)

S-052**Türkiye de üçüncü basamak hastanelerde 8 yıllık deneyim; infektif endokardit ile ilgili çok merkezli çalışma**

Mehmet Ali Elbey¹, Serkan Akdag², Emin Kalkan³, Mehmet G. Kaya⁴, Rasit Sayin⁵, Hekim Karapinar⁶, Ata Akil¹, Faruk Ertas¹, Hasan Kaya¹, Zihni Bilik¹, Hatice Kopru Elbey⁷, Abdurrahman Akyuz¹

¹Dicle Üniversitesi Tıp Fakültesi, Kardiyoloji Anabilim Dalı, Diyarbakır

²Yüzüncü Yıl Üniversitesi Tıp Fakültesi, Kardiyoloji Anabilim Dalı, Van

³Kartal Koşuyolu Yüksek İhtisas Eğitim ve Araştırma Hastanesi, Kardiyoloji Bölümü, İstanbul

⁴Erciyes Üniversitesi Tıp Fakültesi, Kardiyoloji Anabilim Dalı, Kayseri

⁵Zonguldak Karaelmas Üniversitesi Tıp Fakültesi, Kardiyoloji Anabilim Dalı, Zonguldak

⁶Cumhuriyet Üniversitesi Tıp Fakültesi, Kardiyoloji Anabilim Dalı, Sivas

⁷Dicle Üniversitesi Tıp Fakültesi, Oftalmoloji Anabilim Dalı, Diyarbakır

S-052**An 8-year experience at tertiary hospitals in Turkey: multicenter study in infective endocarditis**

Mehmet Ali Elbey¹, Serkan Akdag², Emin Kalkan³, Mehmet G. Kaya⁴, Rasit Sayin⁵, Hekim Karapinar⁶, Ata Akil¹, Faruk Ertas¹, Hasan Kaya¹, Zihni Bilik¹, Hatice Kopru Elbey⁷, Abdurrahman Akyuz¹

¹Dicle University School of Medicine, Department of Cardiology, Diyarbakır

²Yuzuncu Yıl University School of Medicine, Department of Cardiology, Van

³Kartal Koşuyolu Education and Research Hospital, Clinical Cardiology, İstanbul

⁴Erciyes University School of Medicine, Department of Cardiology, Kayseri

⁵Zonguldak Karaelmas University School of Medicine, Department of Cardiology, Zonguldak

⁶Cumhuriyet University School of Medicine, Department of Cardiology, Sivas

⁷Dicle University School of Medicine, Department of Ophthalmology, Diyarbakır

Objectives: Despite diagnostic and treatment advances, infective endocarditis (IE) is associated with a high long-term mortality. The aim of current study was to establish the epidemiology, etiology, treatment of and risk factors for IE and determine the prognostic factors for adverse outcome during hospital admission in a Turkish population.

Methods: The study population comprised 248 consecutive Turkish patients with native valve endocarditis and prosthetic valve endocarditis treated at 13 major tertiary referral centers in Turkey from 2005 to 2012. We analyzed the charts of all patients hospitalized, in cardiology centers, with a diagnosis of IE. Inclusion criteria were definite or possible IE, according to modified Duke Criteria. Mortality was defined as death occurring during hospital stay period.

Results: Among the patients, the mitral valve alone was involved in 43.1% of cases, the aortic valve in 31.2%, aortic +mitral valve 9.3%, tricuspid valve in 8.9% and pulmonic valve in 2.4%. One hundred-sixty patients (64.5%) had native valves. Seventy-five patients (30, 2%) had prosthetic valves. Rheumatic heart disease (RHD) was the commonest underlying heart disease (present in 27% patients). Vegetations were present in 90% episodes. Blood cultures were positive in 161 patients (64, 9%) and cultures negative were in 93 patients (37, 5%). The most common isolated microorganisms were staphylococci, enterococci, streptococci and Brucella (n=73, 29, 4%, n=28, 11, 3%, n=27, 10.8%, n=12, 4.8%, respectively). But mortality of enterococcal endocarditis was high when compared staphylococci (46% and 36%, respectively). The in-hospital mortality rate was 32.7%. Leading causes of death were heart failure, septicemia and embolic event.

Conclusions: IE in our country occurs in relatively younger population with RHD as the commonest underlying heart disease. Staphylococci are the commonest responsible microorganisms. But mortality of enterococcal endocarditis was very high. IE is associated with still high mortality in Turkey.

Girişimsel kardiyoloji**S-053****Sekundum atrial septal defektlerin perkutan yolla kapatılmasında cardi-o-fix septal okluder ile amplatzer septal okluderin karşılaştırmalı bir çalışması**

Mehmet Güngör Kaya¹, Turkay Saritas², Yat Yin Lam³, Abdullah Erdem², Celal Akdeniz², Fadli Demir², Nurdan Erol², Halil Demir², Ahmet Celebi²

¹Erciyes Üniversitesi Tıp Fakültesi, Kardiyoloji Anabilim Dalı, Kayseri

²Dr. Siyami Ersek Göğüs, Kalp ve Damar Cerrahisi Eğitim ve Araştırma Hastanesi, Kardiyoloji Kliniği, İstanbul

³Prince of Wales Hospital, The Chinese University of Hong Kong, Hong Kong SAR

Invasive cardiology**S-053****A comparative study of cardi-o-fix septal occluder versus amplatzer septal occluder in percutaneous closure of secundum atrial septal defects**

Mehmet Güngör Kaya¹, Turkay Saritas², Yat Yin Lam³, Abdullah Erdem², Celal Akdeniz², Fadli Demir², Nurdan Erol², Halil Demir², Ahmet Celebi²

¹Erciyes University School of Medicine, Department of Cardiology, Kayseri, TURKEY

²Dr Siyami Ersek Thoracic and Cardiovascular Surgery Center, Department of Pediatric Cardiology, Istanbul, Turkey

³Prince of Wales Hospital, The Chinese University of Hong Kong, Hong Kong SAR

Introduction: We sought to investigate the safety and efficacy of Cardio-O-Fix septal occluder (CSO) in percutaneous closure of atrial septal defects (ASD) as compared to the Amplatzer septal occluder (ASO).

Methods: A consecutive of 351 patients received transcatheter ASD closure with CSO or ASO from July 2004 to October 2010 were studied. The ASDs were divided into simple- (isolated defects<26mm) or complex-types (isolated defect >=26mm, double or multi-fenestrated defects). The procedures were guided by fluoroscopy and transthoracic or transesophageal echocardiography. Clinical and echocardiographic follow-ups were arranged before discharge, at 1 month and then every 6-month after implantation.

Results: During the study period, 185 (125 males, aged 18.5±15.6 years) and 166 (103 males, aged 21.0±15.7 years) patients attempted CSO and ASO implants, respectively. The CSO group had similar ASD and device sizes, prevalence of complex lesions (17 vs. 16%, p=0.796), procedural times and success rates (97 vs. 96%, p=0.635) as compared to the ASO group. Acute residual shunts were less prevalent in CSO than ASO group and most shunts closed spontaneously at 6-month follow-ups. The average equipment cost per patient was lower in CSO group (US\$ 4,100 vs. US\$ 5,900, p<0.001). The prevalence of device embolization and atrial arrhythmia (all <2%) were similar in both patient groups.

Conclusion: Transcatheter ASD occlusion with CSO is safe and effective and it appeared to be an attractive alternative to ASO in closing simple-type ASD because of its relatively low cost.

S-054**Atrial septal defektlerin perkütan yolla kapatılması: orta-dönem klinik sonuçlar**

Fehmi Kaçmaz¹, Taner Sarak², Gizem Çabuk³, Orhan Maden³, Sakine Fırat¹, Rahşan Turan¹, Selçuk Bilgin¹, Erdoğan İlkyar¹

¹Özel TOBB ETÜ Hastanesi, Ankara

²Kırıkkale Yüksek İhtisas Hastanesi, Kardiyoloji Bölümü, Kırıkkale

³Ankara Türkiye Yüksek İhtisas Hastanesi, Kardiyoloji Bölümü, Ankara

Amaç: Perkütan kapatma cihazları alanındaki teknolojik gelişmeler sayesinde, günümüzde sekundum tip atriyal septal defekt (ASD)¹’lerin perkütan yolla kapatılması güvenli ve başarılı bir yöntem olarak kabul edilmektedir. Bu çalışmada merkezimizden transkatereter yolla ASD kapatılması tedavisi uygulanan hastaların orta-dönem klinik sonuçları değerlendirildi.

Metod: Çalışmaya sekundum tip atriyal septal defekt nedeniley perkütan kapatma cihazları ile tedavi uygulanan ve en az 1 yıl takip edilen 126 hasta (40 erkek, 86 kadın; ort. yaşı 36) alındı. İşlemde 68 (%54) hasta Occlutech Figulla, 40 (%31) hasta Amplatzer, 10 (%8) hasta Care, 8 hasta (%7) Cardiofix cihazı kullanıldı. Ortalama 3.2 yıl takip edilen hastaların klinik ve eko-kardiyografik sonuçları değerlendirildi. Hastalarla altıncı ayda transöfageal ekokardiyografi ve Holter tetkikleri yapıldı.

Bulgular: Ortalama defect çapı 17,68 mm, ortalama cihaz çapı 20,84 mm olarak ölçüldü. Hastaların işlem öncesi ekokardiyografi ile değerlendirilen ortalama pulmoner arter basıncı 37 mmHg olarak saptanırken; işlem sonrası altıncı ayda bu değer 29 mmHg’ya geriledi. İşlem öncesinde ortalama pulmoner arter çapı 31 mm, sonrasında ise 25 mm olarak ölçüldü. Kırk milimetre çapında cihaz kullanılmış iki hasta işlem sırasında cihaz embolizasyonu meydana geldi. Toplam 3,2 yıllık takip sonucu cihaza bağlı mekanik komplikasyon izlenmemekten bir olguda gözlenen rezidüel şant ikinci cihaz ile kapatıldı. İki hasta işlem sonrası daha önceki paroksismal atriyal fibrilasyon atakları gözlenmekten; bir hasta medikal tedaviye cevap veren sık atriyal ekstra atımlar, bir hasta da medikal tedaviye cevap veren sık ventriküler ekstra atımlar gözlandı.

Sonuç: Orta dönemli sonuçları gözönüne alındığında, atriyal septal defektlerin perkütan yolla kapatılması başarılı ve güvenilir bir tedavi yöntemdir.

S-054**Percutaneous closure of atrial septal defects: mid-term clinical results**

Fehmi Kaçmaz¹, Taner Sarak², Gizem Çabuk³, Orhan Maden³, Sakine Fırat¹, Rahşan Turan¹, Selçuk Bilgin¹, Erdoğan İlkyar¹

¹Special TOBB ETÜ Hospital, Ankara

²Department of Cardiolog, Kırıkkale Yüksek İhtisas Hospital, Kırıkkale

³Department of Cardiolog, Ankara Türkiye Yüksek İhtisas Hospital, Ankara

Objectives: Recently, owing to the evolution in device technology, transcatheter closure of atrial septal defects (ASD) has become a safe and effective treatment option. The goal of this study was to evaluate mid-term results of the patients who underwent percutaneous ASD closure.

Method: The study included 126 patients with ASD (86 women, 40 men; mean age 36 years) who underwent percutaneous transcatheter closure. Percutaneous closure was performed with the Occludech Figulla in 68 (54%), Amplatzer in 40 (31%), Care in 10 (8%) or Cardiofix device in 8 (7%) patients. The patients were followed up for a minimum of one year and a mean duration of 3.2 years, echocardiographic results were evaluated. Transesophageal echocardiography and Holter monitoring were performed at the sixth month of follow-up.

Results: The mean defect size was 17,68 mm and the mean device size was 20,84 mm. Preprocedural mean pulmonary artery pressure was 37 mmHg, after six months this value decreased to 29 mmHg. Procedural device embolisation occurred in two patients, both of them had 40 mm device size. No mechanical complication due to the device occurred in the follow-up period of 3,2 years; residual shunt occurred in one patient and closed with another device. One patient developed frequent atrial extrasystoles and another developed ventricular extrasystoles, both of them were treated successfully with medical treatment. Paroxysmal atrial fibrillation occurred in two patients after the procedure.

Conclusion: According to the mid-term results, percutaneous closure of atrial septal defects is a safe and effective treatment modality.

S-055**Atrial septal defektlerin transkatereter yolla kapatılması: kısa ve orta dönem sonuçlarının defekt çapı ile ilişkisi**

Fehmi Kaçmaz¹, Taner Sarak², Gizem Çabuk³, Orhan Maden³, Sakine Fırat¹, Rahşan Turan¹, Selçuk Bilgin¹, Erdoğan İlkyar¹

¹Özel TOBB ETÜ Hastanesi, Ankara

²Kırıkkale Yüksek İhtisas Hastanesi, Kardiyoloji Bölümü, Kırıkkale

³Ankara Türkiye Yüksek İhtisas Hastanesi, Kardiyoloji Bölümü, Ankara

Amaç: Son yıllarda sekundum tip atriyal septal defektlerin (ASD) tedavisinde, uygun morfolojije sahip hastalarda, cihaz ile kapatma tedavisi ilk seçenek haline gelmiştir. Bu çalışmada merkezimizde çeşitli cihazlar kullanılarak perkütan yolla ASD kapatılması uygulanan hastalar lezyon çaplarını göre iki gruba ayrıldı; tedavinin her iki gruptaki etkinliği ve güvenilirliği değerlendirildi.

Metod: Çalışmaya ASD nedeniley transkatereter yolla kapatma tedavisi uygulanan ve en azı 1 yıl takip edilen 126 hasta (86 kadın, 40 erkek; ort. yaşı 36) alındı. Hastalar lezyonlarının çapına göre iki gruba ayrıldı. Grup A: lezyon çapı < 20 mm (73 hasta), Grup B: lezyon çapı >= 20 mm (53 hasta) olan hastalar olarak tanımlandı. Perkütan kapatma işlemi için 68 (%54) hasta Occlutech Figulla, 40 (%31) hasta Amplatzer, 10 (%8) hasta Care, 8 (%7) hasta Cardiofix cihazı kullanıldı. Hastalar klinik ve eko-kardiyografik olarak ortalama 3,2 yıl süreyle takip edildi.

Bulgular: Çalışmamızda Grup A’da ortalama defect çapı 12,05 mm, ortalama cihaz çapı 15,23 mm; Grup B’de ortalama defect çapı 25,54 mm, ortalama cihaz çapı 28,39 mm olarak saptandı. Grup A’da 73 hasta (%100) işlem başarıyla tamamlanırken; Grup B’deki 53 hastanın ikisi (%3,7) işlem başarısız oldu. İşlemen başarısız olduğu defekt çapı 35 mm’nin üzerinde olan kişi hastada cihaz embolizasyonu gelişti. Embolizasyon izlenen olgularda inferior rim 5 mm ve floppy özelliktedi. Hastaların izlediği ortalama 3,2 yıl boyunca cihaza bağlı mekanik komplikasyon gözlenmedi. İşlem sonrası hastaların efor kapasitelerinde Grup B’de daha belirgin olmak üzere artış gözlandı. Grup B’deki hastalarla en az bir New York Kalp Cemiyeti fonksiyonel sınıflaşım artışı gözlandı. Grup A’da efor kapasitesindeki artışı Grup B’ye göre daha da az olmasına, bu gruptaki hastaların işlem öncesi pulmoner arter basınclarının daha düşük olmasına bağlı olduğu düşünüldü. Grup B’de bir hasta işlem sonrası dört ay devam eden sık atriyal ekstra atımlar, bir hasta da sık ventriküler ekstra atımlar gözlandı. Her iki hasta da medikal tedavi ile altı ayda tüm semptomlar kayboldu. Her iki grupta birer hasta daha önceki paroksismal atriyal fibrilasyon atakları gözlandı.

Sonuç: Perkütan yolla ASD kapatılması tekniği; kolay uygulanabilirliği, yüksek başarı ve düşük komplikasyon oranları ile 20 mm ve üzeri defekte sahip hastalarda da etkin ve güvenilir bir yöntemdir. Defektin çapı arttıkça, cihazın uygun yerleştirilemeye sıklıkla da artrmaktadır. Merkezimizde defekt çapı 35 mm’nin altındaki hastalarda cihaz embolizasyonu gözlenmemekten, defekt çapının 35 mm’nin üzerinde olduğu iki hasta işlem sırasında cihaz embolizasyonu meydana gelmiştir. Perkütan yolla ASD kapatılması öncesinde rim boyutu kadar kalınlığı da gözünden bulundurulmalıdır.

S-055**Percutanoeus closure of atrial septal defects: relation between defect size and short- mid term results**

Fehmi Kaçmaz¹, Taner Sarak², Gizem Çabuk³, Orhan Maden³, Sakine Fırat¹, Rahşan Turan¹, Selçuk Bilgin¹, Erdoğan İlkyar¹

¹Special TOBB ETÜ Hospital, Ankara

²Department of Cardiolog, Kırıkkale Yüksek İhtisas Hospital, Kırıkkale

³Department of Cardiolog, Ankara Türkiye Yüksek İhtisas Hospital, Ankara

Objectives: In the recent years percutaneous closure of atrial septal defects(ASD) has become the primary treatment option for patients with suitable morphology. We divided patients into two groups according to their defect size and evaluated the safety and efficiency of transcatheter closure with various devices.

Method: The study included 126 patients with ASD (86 women, 40 men; mean age 36 yrs) who underwent percutaneous transcatheter closure. Patients were divided into two groups according to their defect size. Group A (73 patients) was described as the patients with defect diameter <20mm and Group B (53 patients) was described as the patients with defect diameter >= 20 mm. Percutaneous closure was performed with the Occludech Figulla in 68 (54%), Amplatzer in 40 (31%), Care in 10 (8%) or Cardiofix device in 8 (7%) patients. The patients were followed up for at least six months, and mediumof 3.2 years. They were examined by transesophageal echocardiography.

Results: The mean defect size was 12,05 mm and the mean device size was 15,23 mm in Group A. In Group B, the mean defect size was 25,54 mm, the mean device size was 28,39 mm. Deployment of the device was successful in all 73 (100%) patients of Group A whereas failed in two patients (3,7%) in Group B. Both of the patients had defect size greater than 35 mm and the procedure was complicated with device embolisation. In these patients inferior rim was 5 mm and floppy in nature. No mechanical complication due to the device occurred in the follow-up period of 3,2 years. Augmentation in the effort capacity was significant in Group B compared to Group A. At least one New York Heart Association class increase was observed in Group B. This finding was related to the lower preprocedural pulmonary artery pressure in Group A. One patient developed frequent atrial extrasystoles and another developed ventricular extrasystoles in Group B. Both of the patients symptoms disappeared in six months with appropriate medical treatment. Paroxysmal atrial fibrillation occurred in two patients-one in each of the groups- which was not detected before the procedure.

Conclusion: Transcatheter ASD closure has an excellent efficacy and low complication rates in patients with the defect size equal to and greater than 20 milimeters as well as smaller defects. The more the defect size increases the more the favourable device deployment rates decrease. Procedural device embolisation occurred in two patients and both of these patients had defect size greater than 35 milimeters. Before percutaneous closure, rim thickness should be taken into consideration as well as the dimension.

S-056

Embolik inme ve dekompansasyon ile başvuran ve tekrarlayan atriyal septal defekt kapama cihazı trombüsi olan kalp yetersizlikli olgu

Ibrahim Sarı, Fethi Yavuz, Orhan Özer, Süleyman Ercan, Vedat Davutoğlu

Gaziantep Üniversitesi Tıp Fakültesi, Kardiyoloji Anabilim Dalı, Gaziantep

S-056

Recurrent atrial septal defect device mobile thrombus in a patient with heart failure presenting with embolic stroke and decompensation

Ibrahim Sarı, Fethi Yavuz, Orhan Özer, Süleyman Ercan, Vedat Davutoğlu

Department of Cardiology, Gaziantep University, Gaziantep

Introduction: Percutaneous closure has become the first line treatment with high success and low complication rates in subjects with atrial septal defect (ASD). The incidence of thrombus formation on closure devices is very low. We report a case of recurrent ASD device mobile thrombus in a patient with heart failure presenting with embolic stroke and decompensation.

Case: A 47-year-old man presented with dyspnea, altered mental status and plegia on the left side which started 12 hours ago. His physical examination revealed a heart rate of 103 bpm, blood pressure of 110/65 mmHg, jugular venous distension, bilateral lower extremity edema, S3, 2/6 apical systolic murmur and crepitations in lower half of the lungs. Chest x ray demonstrated cardiomegaly and interstitial edema. His electrocardiography was in sinus rhythm with poor R progression in precordial leads. His medical history consisted of ischemic cardiomyopathy diagnosed 3 years ago (ejection fraction: 30%) and secundum atrial septal defect (ASD) that had been closed with an Amplatzer occluder device 2 years ago. He has an history of acute decompensation and pulmonary edema 3 days after the procedure, which was managed medically. He also has an history of thrombus formation both on the left and right side of the occluder device 2 months after the procedure which was successfully managed with combined administration of unfractionated heparin and tirofiban. Since that time, he was on warfarin. His cerebral computed tomography (Panel A) and following magnetic resonance imaging (Panel B) were compatible with acute-subacute infarction in middle cerebral artery territory. Transthoracic echocardiography revealed an ejection fraction of 25%, moderate degree of mitral and tricuspid regurgitation, spontaneous echo contrast in left heart chambers and a 3.6x1.8 cm in diameter mobile thrombus located on the left atrial side of the Amplatzer occluder device (Panel C). On admission, his international normalized ratio was 2.5. Rest of the laboratory examination were within normal limits. We were not able to administer thrombolytic because of the subacute nature of the disease and hemorrhagic transformation. We lost the patient due to respiratory arrest followed by cardiac arrest despite intubation and resuscitation.

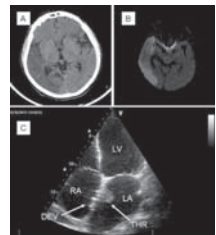


Figure Legend: Computed tomographic (Panel A) and magnetic resonance imaging (Panel B) demonstrating acute-subacute infarction in middle cerebral artery territory. Transthoracic echocardiography demonstrating a 3.6x1.8 cm in diameter mobile thrombus located on the left atrial side of the Amplatzer occluder device (Panel C). LV: left ventricle, LA: left atrium, RA: right atrium, THR: thrombus, DEV: device.

Discussion: To our knowledge, recurrent atrial septal defect device thrombus in the setting of heart failure has not been reported previously. One possible explanation of this event is atrial stasis occurring due to cessation of shunt in the presence of low ejection fraction. Although not contraindicated, decision of closing ASD in the setting of low ejection fraction should be done cautiously and physicians should consider that ASD might be functioning as a pop-off valve for the left ventricle. Close follow-up for possible development of device thrombus in patients with low ejection fraction is important because it can also happen under optimal anticoagulation as in the present case.

S-057

Perkutan yolla atrial septal defektlerin kapatılmasının mean platelet volum üzerine etkisi

Mehmet Güngör Kaya¹, Deniz Elcik¹, Mahmut Akpek¹, Omer Sahin¹, Bekir Calapkorur¹, Mikail Yarlioglu¹, Yat Yin Lam²

¹Erciyes Üniversitesi Tıp Fakültesi, Kardiyoloji Anabilim Dalı, Kayseri

²Department of Medicine and Therapeutics, Prince of Wales Hospital, The Chinese University of Hong Kong, Hong Kong SAR

S-057

Effect of percutaneous closure of atrial septal defect on mean platelet volume

Mehmet Güngör Kaya¹, Deniz Elcik¹, Mahmut Akpek¹, Omer Sahin¹, Bekir Calapkorur¹, Mikail Yarlioglu¹, Yat Yin Lam²

¹Department of Cardiology, Erciyes University School of Medicine, Kayseri

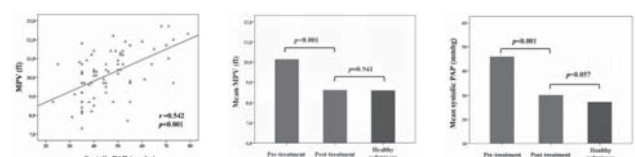
²Department of Medicine and Therapeutics, Prince of Wales Hospital, The Chinese University of Hong Kong, Hong Kong SAR

Introduction: Atrial septal defect (ASD) accounts for 7 to 10% of all forms of congenital heart diseases and is the most common form observed in adults. The one of the important cause of morbidity and mortality in patients with ASD is the pulmonary hypertension/pulmonary thromboembolism. In this study, we aimed to evaluate the association of MPV levels that a sign of platelet activation with ASD and the effects of treatment of ASD with transcatheter closure approach on MPV.

Material-Methods: 76 patients with secundum-type ASD and age-sex matched 40 healthy volunteers were prospectively enrolled. Transthoracic and transesophageal echocardiography were performed for ASD patients. Transcatheter closure was also performed for ASD patients. Tripotassium EDTA based anticoagulated blood samples were drawn in the morning after 20-min rest, stored at 4°C and assessed by Sysmex K-1000 auto analyzer within 30 min of sampling for MPV.

Results: There were 76 patients (mean age 36±13 and 37% male) in ASD group and 40 patients (mean age 36±8 and 38% male) in healthy volunteers. MPV levels were significantly higher in ASD population than in healthy volunteers (10.1 ± 1.3 fl to 8.6 ± 0.9 fl, $p<0.001$). There was a significant correlation between MPV levels and systolic PAP values ($r=0.657$; $p<0.001$). Systolic PAP and RV diameter (45.9 ± 1.9 mmHg to 30.2 ± 7.6 mmHg, $p<0.001$) vs. 4.4 ± 1.3 cm to 8.6 ± 0.9 cm, $p<0.001$) were significantly decreased six months after treatment in patients with ASD. MPV levels were also significantly decreased after six months (10.1 ± 1.3 fl vs. 8.6 ± 0.7 fl, $p<0.001$). When we compared the post treatment MPV levels and systolic PAP values with the healthy volunteers', MPV levels and sPAP were similar between post treatment group and healthy volunteers' (8.6 ± 0.7 fl vs. 8.6 ± 0.9 fl, $p=0.941$ and 28.9 ± 3.7 vs. 30.2 ± 7.6 , $p=0.057$).

Conclusion: MPV levels that a sign of platelet activation are significantly higher in ASD group than in healthy volunteers. In addition, MPV levels are correlated with systolic PAP in patients with pulmonary hypertension secondary to ASD. In patients with ASD, MPV levels decreased after treatment of ASD with transcatheter closure and it's similarly after six month treatment and healthy volunteers.



S-058

Unilateral Eisenmenger sendromu gelişmiş RPA üst lob arteri - desandan aorta RL şanti ve sol subklaviyen kaynaklı stenotik LPA'in (bilateral persistan 5. Ark) CP stent ve Amplatzer Septal Oklüler ile transkater tedavisi

Osman Başpinar, Mehmet Karacan

Gaziantep Üniversitesi Tip Fakültesi, Çocuk Kardiyoloji Anabilim Dalı, Gaziantep

Sağ akciğerde basınç ve volum yükü nedeniyle Eisenmenger sendromu, solda ise hipoksemik akciğer olan bilateral persistan 5. Arkı olan bir hastanın transkater tedavisi sunulmaktadır. 16 yaşında siyanotik, NYHA klas III, senkop şikayetleri olan hastanın SaO₂ %85 idi. Ekoda intrakardiyak defekt olmadığı, RV'den sadece RPA çıktıktı, PAP 80 mm/Hg olduğunu. RV enjeksiyonunda kalpten sadece genleşmesi RPA çıktıktı görüldü. Sağ akciğerin suprasinusumda stenotik olduğu görüldü, RPAP 142/71/99, AoP 124/78/100 mmHg olarak ölçüldü. RPA üst lob arterinin desandan aortaya drenen olduğu, RL şanti olduğu görüldü. Sol subklavyen arterden 4 mm çapında ince bir kollateral ile LPA çıktıktı, LPAP 27/21/24 mmHg ölçüldüğü görüldü. Sol akciğerin kanlanması minimal arttırmak, sağın ise azaltmayı planladık. LSCA yolu ile çıkan LPA'ya 11F Mullins kateter ilerletildi, kaph CP stent Z-med 10x3x7x6x100x0.035 balon ile stenotik kollateral üzerinde dilate edildi, stent açılığı planlı olarak fazla arttırmadı, lumen çapı sonrası 6.6 mm olarak ölçüldü. RPA üst lob arteri-desandan aorta bağlantısı çapı 11 mm olarak ölçüldü, RPA-üst lob arteri-desandan aorta yolu ile ekstrastiff guide ve 7F taşıyıcı sistemi yerleştirildi, 16 mm Amplatzer septal oklüler ile sol atrial disk aortada, sağ disk ise tüp şeklinde olacak şekilde RPA üst lob arterinden açıldı, işlem sonrası halein belirgin rezidüel akım olduğu ama cihazı stabil olduğu görüldü. Ertesi gün ASO'nun aortaya embolize olduğu görüldü. RPA-Aortaya stift guide yerleştirilerek ASO'nun fazla hareket etmesi engellendi. Aortadan 14F Mullins kateter ve içerisinde 110 cm, JR ilerletildi, snare ile ASO sağ atriyal vidasından yakalanarak geri çekildi. Retrograd olarak RPA-des Ao bağlantısı kapatılmaya çalışıldı, her seferinde cihaz iyi yerlesmediği için geri alındı. Tekrar RPA-des Ao'dan uzun kılıf 28 mm ASO ilerletildi, sol disk aortada açılınca, sert aortik tarafından Mullins kılıf ile pulmoner doğu itildi, pulmoner arterden MPA'ya doğru cihaz çekilerek, köpek kemigi şeklini almış sağlandı. Hastanın siyanozu geriledi, SaO₂ %95 olarak ölçüldü. Cihaz stabil pozisyonda kaldı, ertesi gün hiç şan kalmadığı, görüldü ve hasta oral aspirin tb ile taburcu edildi. 15 gün sonraki kontrollünde pulmoner yetmezlikten hisselenen sağ akciğer PAP 40 mmHg olarak ölçüldü. Sonuç olarak literatürde benzer vaka örneği bulunmayan hasta yapılmış olan bu girişimler ile sattire olan kan miktarı artırılmış. RL şant önlenmiştir ve sağ akciğer volumü yükü azaltılmıştır. Klinik durumunda belirgin düzleme sağlanmıştır. Endotelin reseptör antagonist ile tedavi başlanan hasta yakın zamanda LPA'nı ana pulmoner artere bağlanması operasyonu ile tam düzeltme ameliyatı yapılacaktır. Transkater defectin kapatılması pulmoner arter hasarını azaltmaya yönelik, operatif riskleri azaltma amacıyla taşmaktadır. Transkater rutin dışı tedavilerin hasta konforu ve klinik tablonun düzlemesi açısından çok farklı alternatiflerde kullanımı mümkündür.



Resim 1. Stenotik LPA'ya stent yerleştirildikten sonra gösterilen ölçüde geniş olan RPA-desandan aorta bağlantısı



Resim 2. RPA-desandan bağlantıda Amplatzer septal oklüler ile köpek kemigi konfigürasyonu ile kapatılması

S-059

Paravalvüler kaçağın transapikal yoldan "Occlutech® paravalvuler leak device" ile başarılı kapatılması; Türkiye'de ilk uygulama

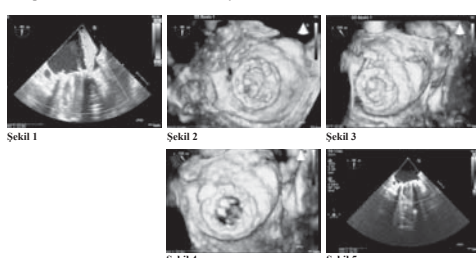
Abdurrahman Tasal, Mehmet Akif Vatkulu, Cemalettin Aydin, Ercan Erdogan, Rahmi Zeybek, Ömer Göktekin

Bezmialem Üniversitesi Tip Fakültesi, Kardiyoloji Anabilim Dalı, İstanbul

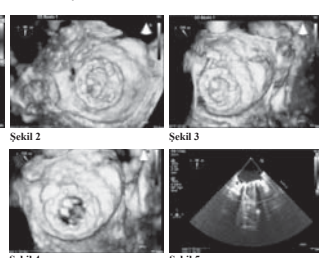
Giriş: Paravalvüler kaçaklar, protez kapakların cerrahi implantasyonundan sonra kapak ile doku arasındaki ayrışmalardan meydana gelen patolojik bir durumdur. İnfeksiyon, antler kalsifikasyon, veya teknik problemler alta yatan en önemli nedenlerdir. Cerrahi riskin yüksek olması nedeniyle son yıllarda transkater olarak özel olmayan cihazlarla paravalvüler kaçaklar kapatılmaya çalışılsa da istenilen sonuçlar alınamamıştır. Son yıllarda paravalvüler kaçak geometrisine uygun cihazlar üretilmeye başlamasıyla bu konuda olumlu sonuçlar alınmaya başlamıştır. Bu yazımızda ciddi mitral paravalvüler kaçağı olan bir kadın Occlutech® paravalvuler leak device (PLD) ile transapikal olarak başarılı kapatılması sunulacaktır.

Yöntem-Gereçler: Sekiz yıl önce romatizmal mitral ve aort kapak hastalığı nedeniyle mitral ve aort kapak replasmanları yapılan 32 yaşındaki erkek hasta, son dört yıldır giderek artan nefes darlığı şikayetiyle karдиoloji polikliniğine başvurdu. Yapılan transtoraksik ve transözofajiyal ekokardiyografiye ciddi derecede mitral paravalvüler kaçak tespit edildi (Şekil 1). Fonksiyonel kapasitesi NYHA sınıfı III olarak tespit edilen hastanın laboratuvarı incelemesinde hemolitik anemi saptandı. Cerrahi önerisini kabul etmemeyen hastanın mitral paravalvüler kaçığının transapikal yoldan Occlutech® PLD ile kapatılması planlandı. Kateter laboratuvarında genel anestezi altında minitorakotomi işlemi yapıldıktan sonra apektjen 7F sheath ile sol ventriküle girildi. Eş zamanlı olarak yapılan gerçek zamanlı üç boyutlu transözofajiyal ekokardiyografi ile kaçak bölgelerin boyutları hesaplandı (Şekil 2). Amplatır 1 kateter desteği ile hidrofilik kılavuz tel kaçak bölgesinde sinüs atriuma geçirildi. Kılavuz telin paravalvüler kaçak yerinde geçtiği üç boyutlu transözofajiyal ekokardiyografi ile doğrulandı. Daha sonra skopi ve üç boyutlu transözofajiyal ekokardiyografi yardımıyla kapatma cihazı paravalvüler kaçağı tamamen kapatacak şekilde yerleştirildi (Şekil 3 ve 4). İşlem sonrası yapılan kontrol iki ve üç boyutlu transözofajiyal ekokardiyografide paravalvüler kaçak minimal olarak izlendi (Şekil 5). Bir hafta takip edilen ve klinik olarak stabil seyreden hasta önerilerle taburcu edildi.

Sonuç: Bilgilerimizde göre mitral protez paravalvüler kaçağın Occlutech® PLD ile transapikal olarak kapatılması Türkiye de ilk kez merkezimizde uygulanmıştır. Paravalvüler kaçak geometrisine uygun özel olarak üretilmiş cihazlarla, kaçaklar transapikal yoldan başarıyla kapatılabilir.



Şekil 1



Şekil 2

S-059

Successful closure of paravalvular leak via transapical application of Occlutech® paravalvuler leak device: The first application in Turkey

Abdurrahman Tasal, Mehmet Akif Vatkulu, Cemalettin Aydin, Ercan Erdogan, Rahmi Zeybek, Ömer Göktekin

Department of Cardiology, Bezmialem Faculty of Medicine, İstanbul

S-062

Patent foramen ovale çılğnlığı: Sporadic hemiplegik migrenli bir genç hastada yanlış transient iskemik atak tanısıUmuttan Doğan¹, Kurtuluş Özdemir¹, Ebru Apaydın Doğan², Emine Genç², Orhan Demir²¹Necmettin Erbakan Üniversitesi Meram Tip Fakültesi, Kardiyoloji Anabilim Dalı, Konya²Necmettin Erbakan Üniversitesi Meram Tip Fakültesi, Nöroloji Anabilim Dalı, Konya

Patent foramen ovaleının tanısı ve tedavisindeki hızlı artış günümüzde bilinen bir gerçektir. 31 yaşında erkek ataklar halinde gelen sol kol ve sol bacak hipoestezisi nedeniyle başvurdu. Karotis ve vertebral arterler Doppler-ultrason ve anjiyo-manşet rezonans görüntüleme ile tamamen normaldi. Transtorasik ekokardiyografi PFO ve interatriyal septumda hafif bombleşme tespit edildi. Transezofajial ekokardiyografi ile PFO tanısı doğrulandı. Homosistein dahil olmak üzere koagülasyon sisteminin biyokimyasal değerlendirme normaldi. Tekrarlayan geçici iskemik atak tanısı ile hastaya warfarinle antikoagülasyon tedavisine başlandı. Buna rağmen hastanın semptomları tekrarlamaya devam etti. PFO'nun neden olduğu düşünen embolilerin tedavisi amaciyla hasta tarafımıza yönlendirildi. Ancak, PFO'nun merkezimizde perkütan yolla kapatılması sonrasında hastanın 24 saat stüren sol kol ve sol bacak paralezasını da kapsayan ve geçici iskemik atak olduğu varsayılan şikayetleri devam etti. Ayrıntılı anamnez sonrasında hastanın aslında başağrısı ve kusmayı takip eden hipoestezî ve hemiplejî ile seyreden sporadic hemiplegik migren atakları geçirdiği tespit edildi. Hastaya nörolojik bölümün tarafından yüksek doz verapamil tedavisi başlandı, antikoagülasyon kesildi ve hasta 6 ay boyunca takip edildi. Ayda en az 8 kez olan ve PFO kapatılması sonrasında da devam eden ataklar verapamil tedavisi sonrasında tamamen iyileşti. Bu olgu, perkütan yolla PFO kapatılması öncesinde ayrıntılı nörolojik incelenmenin önemine vurgu yapmak için sunulmuştur. Ayrıntılı anamnez ile çok nadir tıtarlar bile yakalanarak gereksiz girişimsel işlem sıklığı azaltılabilir.

Genel

S-063

Endotel disfonksiyonu patent foramen ovale olsun ya da olmasın cerebrovasküler olay geçiren hastalar için bağımsız bir risk faktörüdür

Murat Sünbul, Alper Kepez, Erdal Durmuş, Beste Özben, Bülent Mutlu

Marmara Üniversitesi Tip Fakültesi, Kardiyoloji Anabilim Dalı, İstanbul

Amaç: Serebrovasküler hastalık (SVO) patogenezinde inflamasyon, oksidatif stres ve endotel disfonksiyonu gibi çeşitli faktörler rol oynamaktadır. Özellikle genç hastalarda, patent foramen ovale (PFO) prevalansındaki artış, iskemik SVO riskinde artışla ilişkilidir. Bu çalışmanın amacı PFO saptanmış ve saptanmayan hastalarda endotel disfonksiyonu ve SVO arasındaki ilişkiye ortaya koymaktır.

Yöntem: Çalışmaya nedeni saptanamayan SVO tanısı alan ardışık 56 hasta dahil edildi. Tüm hastalara transözefagiyal ekokardiyografi (TOE) ve ajit serumla kontrast çalışması yapıldı. Endotel fonksiyonları TOE' islemlenmeden önce brakiyal arter ultrasonografisi ile değerlendirildi. Akuma bağlı dilatasyon (ABD), reaktiv hiperemi sırasında damarında yanıkset mutlak ve yüzde değişiklikleri olarak tanımlandı. Sonuçlar PFO saptanmış 20 (8'i erkek, ortalama yaşı: 48,5 ± 14,9 yıl) ve PFO saptanmayan 22 (8'i erkek, ortalama yaşı: 49,5 ± 9,7 yıl) kontrol ile karşılaştırıldı.

Bulgular: Yirmi iki hastada (13'u erkek, ortalama yaşı: 49,8 ± 13,7 yıl) PFO saptanmışken, 31 hastada (16'sı erkek, ortalama yaşı: 56,2 ± 15,0 yıl) PFO saptanmadı. Tablo 1'de SVO hastaları ve kontrollerin brakiyal arter ölçümü gösterilmektedir. PFO saptanmayan SVO hastaları, PFO saptanmayan kontrollerle karşılaştırıldığında anlamlı derecede bozulmuş ABD'ye sahiptir (%7,51 ± 2,42; %11,73 ± 4,91, p=0,005). PFO saptanmış SVO hastaları, PFO saptanmış kontroller ve PFO saptanmayan SVO hastalarıyla karşılaştırıldığında daha düşük ABD'ye sahiptir, fakat istatistiksel olarak anlamlı farklılık yoktur (%6,02 ± 4,44; %10,35 ± 5,68, p= 0,061 ve; %7,51 ± 2,42, p=0,486). Lojistik regresyon analizinde yaş, cinsiyet ve PFO varlığı açısından ayarlandığında ABD, SVO'nun bağımsız bir ön gördürücü olduğu gösterildi (odds oranı: 0,814, 95% güven aralığı: 0,713-0,930, p=0,002).

Sonuç: SVO hastaları bozulmuş endotel fonksiyonuna sahiptir. PFO saptanmış hastalarda bile endotel disfonksiyonunun varlığı, SVO'da önemli bir rol oynamaktadır.

Tablo 1. SVO hastalarının ve kontrollerin brakiyal arter ölçümü.

	PFO saptanmış SVO hastaları (n=25)	PFO saptanmayan SVO hastaları (n=31)	PFO saptanmış kontroller (n=20)	PFO saptanmayan kontroller (n=22)	p
Erkek (n - %)	13 (%52.0)	16 (%51.6)	8 (%40.0)	8 (%36.4)	0.600
Yaş (yl)	49,8 ± 13,7	56,2 ± 15,0	48,5 ± 14,9	49,5 ± 9,7	0.234
Bazal hız (cm/s)	53,72 ± 14,31	61,99 ± 19,47	64,39 ± 24,98	59,45 ± 21,52	0.429
Bazal cap (mm)	3,68 ± 0,62	3,90 ± 0,58	3,54 ± 0,70	3,42 ± 0,42	0,098
Reaktiv hiperemi hızı (cm/s)	102,05 ± 31,72	109,54 ± 28,48	123,47 ± 51,94	125,12 ± 35,32	0,188
ABD mutlak (mm)	0,25 ± 0,15	0,29 ± 0,10	0,34 ± 0,16	0,39 ± 0,15	0,016*
ABD yüzde (%)	7,02 ± 4,44	7,51 ± 2,42	10,35 ± 5,68	11,73 ± 4,91	0,005*

SVO: Serebrovasküler olay, PFO: Patent foramen ovale, ABD: Akma bağlı dilatasyon Posthoc analizi: *p<0,05 PFO saptanmayan SVO hastaları ile PFO saptanmış kontroller karşılaştırıldığında

Invasive cardiology

S-062

Patent foramen ovale-mania: a misdiagnosis of transient ischemic attacks in a young male with sporadic hemiplegic migraineUmuttan Doğan¹, Kurtuluş Özdemir¹, Ebru Apaydın Doğan², Emine Genç², Orhan Demir²¹Department of Cardiology, Necmettin Erbakan University Meram Faculty of Medicine, Konya²Department of Neurology, Necmettin Erbakan University Meram Faculty of Medicine, Konya

Patent foramen ovale (PFO) is rapidly becoming a matter of over-diagnosis and over-treatment. A migrainous 31-year-old male with episodic hypoesthesia and paralysis of the left arm and leg was referred for neurological work-up. As the Doppler ultrasound of carotid and vertebral arteries and angio-magnetic resonance imaging (MRI) were completely normal. Transthoracic echocardiography revealed a PFO and a mild bulging of interatrial septum. Therefore an attempt of transesophageal echocardiography has been performed which has confirmed the diagnosis of the PFO. Coagulation screening essay including homocysteine was normal. At the first attempt, the patient has been anticoagulated with warfarin with a diagnosis of recurrent transient attacks (TIA). However, symptoms of the patient showed recurrences. In the hypothesis of an embolic PFO, the patient was referred to our attention for PFO closure. However, after the percutaneous closure of the PFO, the patient was still experiencing (false) TIA including left arm and leg paralysis which lasted about 24 hours. However after a through anamnesis, it was realized that the patient had sporadic hemiplegic migraine attacks; severe throbbing headache with vomiting followed by hypoesthesia and hemiplegia. He was referred to neurology and he was put on high dose verapamil therapy, anticoagulation was ceased and the patient was followed for 6 consecutive months. He was experiencing at least 8 attacks per month, which also continued one year after the PFO closure whereas completely resolved after verapamil treatment. This case report was brought to attention to highlight the importance of a detailed neurological examination before an attempt for percutaneous closure of PFO. Even very rare clinical diagnoses can be made with only a detailed anamnesis and prevent unnecessary invasive procedures.

General

S-063

Endothelial dysfunction is an independent risk factor for stroke patients irrespective of presence of patent foramen ovale

Murat Sünbul, Alper Kepez, Erdal Durmuş, Beste Özben, Bülent Mutlu

Department of Cardiology, Marmara University Faculty of Medicine, İstanbul

Objectives: Stroke pathology involves multifactorial pro-death responses, including inflammation, oxidative stress, and endothelial dysfunction. Increased prevalence of patent foramen ovale (PFO) is associated with increased risk of ischemic stroke, especially in younger patients. The aim of this study was to explore the relation between endothelial dysfunction and stroke both in patients with and without PFO.

Methods: Fifty-six patients who had recent stroke with undetermined cause were consecutively included in the study. All patients underwent transesophageal echocardiography (TEE) and contrast study with agitated saline. Endothelial function was assessed by brachial artery ultrasonography before TEE examination. Flow-mediated dilation (FMD) was defined as both the maximum absolute and maximum percentage changes in the vessel diameter during reactive hyperemia. The results were compared with those of 20 controls with PFO (8 male, mean age: 48,5±14,9 years) and 22 controls without PFO (8 male, mean age: 49,5±9,7 years).

Results: Twenty-five patients (13 male, mean age: 49,8±13,7 years) had PFO while interatrial septum was intact in the remaining 31 patients (16 male, mean age: 56,2±15,0 years). Table 1 shows the brachial artery measurements of the stroke patients and controls. Stroke patients without PFO had significantly impaired FMD compared to controls without PFO (7,51±2,42% vs 11,73 ± 4,91%, p=0,005). Stroke patients with PFO had lower FMD values compared to controls with PFO and stroke patients without PFO, but the differences were not statistically significant (7,02±4,44% vs 10,35±5,68%, p= 0,061 and vs 7,51±2,42%, p=0,486). Logistic regression analysis revealed that FMD was an independent predictor of stroke when adjusted by age, sex and presence of PFO (odds ratio: 0,814, 95% confidence interval: 0,713 – 0,930, p= 0,002).

Conclusion: Stroke patients have impaired endothelial function. Even in patients with PFO, presence of endothelial dysfunction plays a major role for stroke.

Table 1. The brachial artery measurements of the stroke patients and controls

	Stroke patients with PFO (n=25)	Stroke patients with PFO (n=31)	Controls with PFO (n=20)	Controls without PFO (n=22)	p
Male (n - %)	13 (52.0%)	16 (51.6%)	8 (40.0%)	8 (36.4%)	0.600
Age (years)	49,8 ± 13,7	56,2 ± 15,0	48,5 ± 14,9	49,5 ± 9,7	0.234
Baseline velocity (cm/s)	53,72 ± 14,31	61,99 ± 19,47	64,39 ± 24,98	64,39 ± 24,98	0,429
Baseline diameter (mm)	3,68 ± 0,62	3,90 ± 0,58	3,54 ± 0,70	3,54 ± 0,70	0,098
Reactive hyperemia velocity (cm/s)	102,05 ± 31,72	109,54 ± 28,48	123,47 ± 51,94	123,47 ± 51,94	0,188
FMD absolute value (mm)	0,25 ± 0,15	0,29 ± 0,10	0,34 ± 0,15	0,34 ± 0,16	0,016*
FMD percentage value (%)	7,02 ± 4,44	7,51 ± 2,42	10,35 ± 5,68	11,73 ± 4,91	0,005*

SVO: Serebrovasküler olay, PFO: Patent foramen ovale, ABD: Akma bağlı dilatasyon Posthoc analizi: *p<0,05 PFO saptanmayan SVO hastaları ile PFO saptanmış kontroller karşılaştırıldığında

S-064

Komplike vakalarda paravalvüler kaçak kapama işleminin etkinliği - her olguda perkütan kapama denemeli miyiz?

Murat Çelik¹, Atila İlyisoy², Uygur Çağdaş Yüksel², Turgay Çelik², Emre Yalçınkaya², Barış Bugan³, Serdar Fırtına⁴, Erkan Yıldırım², Yalçın Gökoğlan², Suat Görmel²

¹Van Asker Hastanesi, Kardiyoloji Bölümü, Van

²GATA Ankara Kardiyoloji Anabilim Dalı, Ankara

³Malatya Asker Hastanesi, Kardiyoloji Bölümü, Malatya

⁴Erzincan Asker Hastanesi, Kardiyoloji Bölümü, Erzincan

Giriş: Paravalvüler kaçaklar (PVK), aort kapak replasmanlarının %2-10'unda, mitral kapak replasmanlarının %7-17'sinde gözlemlenilen, hemolitik anemi ve konjestif kalp yetmezliğine (%1-3) yol açabilen, altın standart tedavi yönteminin açık kalp ameliyatı olduğu kapak replasman operasyonlarının komplikasyonlarındandır. Transkater paravalvüler kapama, cerrahi operasyonlara göre daha az invaziv ve etkin sonuçların alındığı tedavi yöntemlerindendir. Bu yazımızda, hemolitik anemi ve kalp yetmezliği tanıları ile takip edilen, iki adet mitral paravalvüler kaçak tespiti edilen ve yüksek cerrahi risk nedeni ile transfemoral kapama açısından değerlendirilmek üzere klinikimizde referen edilen bir hastamızdan bahsetti.

Oluştu: Hastamız, 2004 yılında AVR+MVR operasyonu ve 2009 yılında enfektif endokarditte bağlı PVK nedeni ile tekrar MVR operasyonu uygulanan, 2011'de yapılan ekokardiyografilerinde ciddi mitral PVK tespiti edilen 34 yaşında erkek hastadır. Hastamızın kliniğe başvurduğu anda dispne (NYHA Sınıfı 3) şikayeti ve hemolitik anemi (HB:9.8 g/dL, Hct:%27.8, Retikulosit: %3.8, LDH: 1080 U/L) mevcuttu. Hastanın yapılan ekokardiyoografik (TTE,TEE) değerlendirmelerinde aort kapığı göre saat 9 hiszlarında geniş kreszentrik şekilli, saat 2 hiszlarında küçük oval şekilli iki adet PVK tespiti edildi. Hastanın yüksek cerrahi riske sahip olması nedeni ile perkütan PVK işlemi uygulanması kararlaştırıldı. Her iki defekt de ADO-II cihazı ile kapatıldı. İşlem sonrası protetik mitrak kapak fonksiyonları normal olarak izlendi ve paravalvüler kaçaklar cihaz yerleştirildikten sonra görüntülerin tattminkar bulundu.

Sonuç: Hasta iki ayrı sona konjestif kalp yetmezliği semptomları ile tekrar kardiyoloji kliniğine başvurdu. Hastanın yapılan ekokardiyografik (TEE) incelemesinde ADO-II cihazı ile kapatılan büyük kreszentrik defekte, ADO-II cihazının her iki yanında muhtemelen yerleştirilen cihazın defekt anatomik yapısına uygun olmaması ve aynı seansda uygulanan ilk kapama cihazının birlikte yaratılmış olduğu süttür. Hattındaki gerilime bağlı olarak PVK'arda genleşmeli izlendi. Hastaya mevcut klinik tablosu nedeni ile açık kalp ameliyatı yapılmış kararlaştırıldı. Cerrahi sırasında daha önce takılan ADO-II cihazları çıkarıldı ve defektlere primer sütür ile kapatıldı.

Tartışma: Özellikle son 10 yıldır perkütan olarak uygulanan kapama işlemlerleri, uygun seçilmiş hasta grubundan cerrahiye alternatif olarak düşünülebilir. Perkütan kapama işlemlerinde, defekt anatomisinin mevcut görüntüleme yöntemleri ile suboptimal değerlendirildiği, defektlere için optimal ve onaylanmış kapama cihazlarının olmadığı, işlemen etkinliğinin operatör ve yardımıcı personele deneyimine yüksek oranda bağlı olduğunu, erken dönemde başarı sonuçlarının %92'nesine rağmen tekrarlayan girişim insidansının %40 civarında olduğu dikkate alınmalı, hasta seçiminde daha selektif davranılmalıdır. Birden fazla defektin bulunduğu durumlarda başarı şansının düşük olabileceği akılda tutulmalıdır.



Şekil ve Resimler: Paravalvüler kaçaklar mitral kapaga göre pozisyonları (A), 2D TEE; paravalvüler kaçak gözlemlenekte (B), ADO cihazları yerleştirildikten sonra alınan 2D (C) ve 3D (D) TEE görüntüler, iki ay sonra yapılan 3D TEE görüntülemede paravalvüler kaçak genleştiği gözlendi (E), Operasyon esnasında; ADO cihazının (Beyaz ok) çıkarılışı ve paravalvüler kaçak (Sarı ok) (F)

S-065

Koroner arter fistüllerinin perkütan yolla kapatılması: 12 hastanın uzun-dönem takip sonuçları

Fehmi Kaçmaz¹, Taner Sarak², Gizem Çabuk³, Orhan Maden³, Rahsan Turan¹, Kenan Ömürlü¹, Erdoğan İlkay¹

¹Özel TOBB ETÜ Hastanesi, Ankara

²Kırıkkale Yüksek İhtisas Hastanesi, Kardiyoloji Bölümü, Kırıkkale

³Ankara Türkiye Yüksek İhtisas Hastanesi, Kardiyoloji Bölümü, Ankara

Amaç: Koroner arter fistüller bir koroner arter ile kardiyal odacıklar, koroner damarlar ya da toraks içi damarsal yapılar arasındaki abnormal bağlantıları ve genel populasyonda oldukça nadir görülmektedir. Tani genellikle koroner anjiyografi ya da konjenital kalp hastalıkları için yapılan tanısal kalp kateterizasyonu sırasında konulmaktadır. Çoğu hasta asemptomatiktir; semptomatik hastalarla semptomların şiddetini alta yatan anatomiye ve fistül büyüklüğine bağlıdır. Çalışmamızda semptomatik koroner fistül olmuş 12 hastaya merkezimizde perkütan yolla uygulanan 'coil' tedavisiin uzun dönem sonuçları değerlendirildi.

Metod: Merkezimizde Mart 2008 ve Haziran 2012 tarihleri arasında koroner fistül tanısı olan 12 hastaya (4 kadın, 8 erkek; ort. yaşı 53±8) perkütan yolla 'coil' kullanılarak kapatma işlemi uygulandı. Hastalar semptom gelişimi açısından 3±1,6 yıl süreyle takip edildi. Tüm hastalara altıncı ayda kontrol amaçlı olarak bilgisayarlı tomografi ile koroner anjiyografi yapıldı.

Bulgular: Olguların beside birinci diyalognal arterden pulmoner artere, birinde birinci obtus margininden sağ ventrikül çıkış yoluna, kalan altısında sağ koronerden pulmoner artere fistül mevcuttu. En küçük fistül çapı 4 mm, en büyük fistül çapı 8 mm olarak ölçüldü. İşlem sırasında ortalama üç 'coil' kullanıldı. Tüm olgularda işlem başarılı ile sonuçlandı ve işlem sırasında komplikasyon gözlemlendi. Altıncı ayda yapılan kontrol bilgisayarlı tomografiye rekanalizasyon saptanmadı; hastalar yapılan 3±1,6 yıllık takipte fistüle bağlı semptom tariфemedi.

Sonuç: Koroner fistüllerin perkütan yolla 'coil' kullanılarak kapatılması etkili ve güvenilir bir tedavi yöntemidir.

S-064

Effectiveness of paravalvular leak closure at complex procedures - deciding closure techniques

Murat Çelik¹, Atila İlyisoy², Uygur Çağdaş Yüksel², Turgay Çelik², Emre Yalçınkaya², Barış Bugan³, Serdar Fırtına⁴, Erkan Yıldırım², Yalçın Gökoğlan², Suat Görmel²

¹Department of Cardiology, Van Military Hospital, Van

²Department of Cardiology, GATA Ankara, Ankara

³Department of Cardiology, Malatya Military Hospital, Malatya

⁴Department of Cardiology, Erzincan Military Hospital, Erzincan

S-065

S-065

Percutaneous closure of coronary artery fistulae: Long-term follow-up results of 12 patients

Fehmi Kaçmaz¹, Taner Sarak², Gizem Çabuk³, Orhan Maden³, Rahsan Turan¹, Kenan Ömürlü¹, Erdoğan İlkay¹

¹TOBB ETÜ Hospital, Ankara

²Department of Cardiology, Kırıkkale Yüksek İhtisas Hospital, Kırıkkale

³Department of Cardiology, Ankara Türkiye Yüksek İhtisas Hospital, Ankara

Objectives: Coronary artery fistulae consists of abnormal connections between a coronary artery and chardiac chambers, coronary vessel or an intrathoracic vessel and are rare in the general population. They are usually diagnosed in coronary angiography or cardiac catheterisation performed for a congenital heart disease. Most patients are asymptomatic; symptoms mostly depend on underlying cardiac anatomy and the size of the fistula.

Method: Between March 2008 and June 2012, 12 patients (4 women, 8 men; mean age 53±8) with coronary fistula underwent transcatheter closure with coils. Patients were followed-up for 3 ± 1,6 years; control coronary computed tomographic angiography was performed in the sixth month.

Results: Five patients had fistula originating from first diagonal artery draining into pulmonary artery; one had fistula from first obtuse marginal branch to pulmonary artery. The fistulae most commonly (six patients) originated from right coronary artery draining into right ventricular outflow tract. Fistula diameter ranged from 4 to 8 mm; an average of three coils were used in percutaneous closure. Successful closure with no complications occurred in all patients. In the sixth month follow-up coronary computed tomographic angiography, patients had no recanalisation of the embolised vessel.

Conclusion: Percutaneous closure of coronary artery fistulae with coil placement is a safe and effective treatment modality.

S-066**Düşük oranda kalıcı pacemaker gereksinimi sağlayabilen CoreValve uygulama tekniği: Pacemaker eşliğinde yüksek seviyeli implantasyon**

Mehmet Bilge, Recai Alemdar, Ayşe Saatçi Yaşar, Hatice Tolunay, Sina Ali, Özge Kurmuş, Ali Erayman, Tolga Han Efe, Turgay Aslan, Cemal Köseoğlu, Bilge Duran, Ahmet Akdi, Mehmet Erdoğan

Yıldırım Beyazıt Üniversitesi Tip Fakültesi, Kardiyoloji Anabilim Dalı, Ankara

Giriş: Kalıcı pil gereksinimi, TAVİ ile ilişkili en önemli komplikasyonlardan biridir. Edwards valv ile kalıcı pil implantasyonu oranı % 2.5-11.5 arasında iken CoreValve ile bu oran % 9.3-42 arasında. Özellikle CoreValve uygulanan merkezler arasındaki kalıcı pil oranlarındaki farklılıklar çok yüksek olasılıkla valv implantasyon derinliği ile ilişkili olduğu sanılmaktadır. Şu anda kliniğimizde düşük pil implantasyon gereksinimi elde etmem için CoreValve'i yüksek seviyeli implantasyonu etmeye çalışıyoruz. Yine valvin optimum olarak yerleştirilmesi için implantasyon sırasında ilave olarak yüksek hızlı pacing uyguluyoruz. Çalışmamızda, daha önce uyguladığımız normal seviyeli CoreValve implantasyon tekniği ile son zamanlarda uygulamaya çalıştığımız pacing altında yüksek implantasyon teknünün kalıcı pil gereksinime etkisini inceledik.

Gereçler ve Yöntem: CoreValve ile TAVİ işlemi uygulanan toplam 23 hasta çalışmamızı dahil edildi. Hastaların ortalama yaşı 77.6 ± 10.2 , Euro ve STS skoru sırasıyla 17.2 ± 13.2 ve 15.8 ± 13.8 idi. Valv implantasyonu; protezin aortik annulusdan sol ventrikül çıkış yolu derinliği $4-8$ mm arasında ise normal, 4 mm'nin altında ise yükselt ve 8 mm'den fazla ise düşük implantasyon olarak kabul edildi. İlk 9 hastaya normal seviyeli ($4-8$ mm'lik implantasyon derinliği), son 14 hastaya kapak implantasyonu yüksek seviyeli (4 mm'nin altında) olacak şekilde uygulamaya çalışıldı.

Bülgular: Tüm olgularda işlem başarısı %100 idi. Yüksek implantasyon yapılan grupta $0-4$ mm arasında implantasyon 11 hasta da sağlanabildi (%78.5), diğer 3 hasta implantasyon derinliği $4-8$ mm arasında idi. Normal seviyeli implantasyon uygulanmaya çalışılan hastaların 1'nde yüksek, 1'nde düşük implantasyon uygulanabilirken diğer 7 hasta yerleştirme seviyesi normal sınırlarda idi. Toplam 23 hastanın sadece 1 (%4.3)'de kalıcı kalp pili gereksinimi olmasına rağmen, yüksek implantasyon teknigi uygulanan hastaların (14 hasta) hibritinden kalıcı kalp pili gereksinimi olmadı. Hastaların sadece 5'inde (%21) işlem sonrası sol dal bloğu gelişirken, yüksek implantasyon uygulanan hastalarda sol dal bloğu normal seviyeli implantasyon ile karşılaşılırdından daha az görüldü (%14).

Tartışma ve Sonuç: Kalıcı pil oranının azaltılması için bazı merkezlerde CoreValve yüksek (<4 mm) olarak yerleştirilmeye başlanmıştır (yayınlanmamış). Bu bağlamda son zamanlarda iki farklı merkezden düşük kalıcı pil oranları (%14.3 ve %10.6) bildirilmiştir. Bizde bu çalışmalarla aynı zamanda yöntemimizi değiştirmek bu çalışmaların farklı ve ilave olarak pacing altında yüksek implantasyon teknigi uygulamaya başladık. Hasta sayımız fazla olmamasına rağmen, hastalarımızın sadece %4.3'de kalıcı pil gereksinimi oluşturdu. Sonuç olarak normal seviyeli implantasyon ile karşılaşılırdından CoreValve ile pacing altında yüksek implantasyon (<4 mm) çok düşük pil gereksinime yol açabilir.

S-067**Mekanik mitral kapak protezli bir hastaya CoreValve ile TAVİ uygulanımı**

Mehmet Bilge, Recai Alemdar, Sina Ali, Ayşe Saatçi Yaşar, Hatice Tolunay, Cemal Köseoğlu, Tolga Han Efe, Ali Erayman, Özge Kurmuş, Turgay Aslan, Bilge Duran, Mehmet Erdoğan, Mustafa Duran

Yıldırım Beyazıt Üniversitesi Tip Fakültesi, Kardiyoloji Anabilim Dalı, Ankara

Giriş: TAVİ; semptomatik, ileri derecede aort darlığı olan ve komorbid durumlar nedeniyle cerrahi olarak müdahale edilemeyen hastalarda son yıllarda güvenle uygulanmaya başlanan bir yöntemdir. Mitral kapak protezi mevcudiyeti TAVİ işlemi sırasında ek problemler oluşturabilir. Mitral mekanik protezin sert yapıda olması, mitral protez ile aortik halkanın birbirine yakınılığı, TAVİ işlemi sırasında aortik protezin yetерince açılmasını engelleterek kapak fonksiyonunu olumsuz yönde etkileyebilir. Mitral kapak protezi (MVR) hastalarda daha önce dünyada Corevalve tipi biyoprotez kapak ile yapılan birkaç TAVİ vakası bildirilmiştir. Burada sunduğumuz vaka ülkemizde MVR'lı hastaya Corevalve ile yapılan ilk TAVİ vakasıdır.

Ölgu: 80 yaşında hipertansiyon risk faktörü olan bayan hasta göğüs ağrısı ve nefes darlığı şikayetleri nedeniyle klinikimize yattırıldı. Hastanın öyküsünden 1990 yılında MVR, 2004 yılında koroner arter bypass greft operasyonu olduğu öğrenildi. Bir ay önce diş merkezde yapılan koroner anjiyografisinde bypass grefflerinin açık olduğu izlendi. Hastanın yapılan ekokardiyografsisinde; ejeksiyon fraksiyonu %45, mitral kapak konumunda fonksiyone protez kapak (mean gradient: 4mmHg), ciddi aort darlığı (max/mean gradient: $93/50\text{ mmHg}$, aort kapak alanı: 0.8 cm^2) tespit edildi. Yapılan kan tetkiklerinde pantosiponisi olduğu belirlendi. Karotis Doppler ultrasonografide sağ internal karotis arterde ciddi lezyon tespit edildi. Lojistik Euroscore 14, STS skoru 12 olan hasta cerrahi kapak replasmanı için yüksek riskli kabul edilerek TAVİ işlemi planlandı. Bir hafta sonrasında hasta TAVİ işlemi için laboratuvara alındı. Mitral mekanik protez kapak ile ilişkisine dikkat edilerek 26 mm CoreValve biyoprotez kapak implantasyonu gerçekleştirildi. Alınan kontrol anjiyografik görüntülerde ve yapılan kontrol ekokardiyografiye her iki kapak fonksiyonu normal olarak izlendi. İşlem sonrasında aort velocitesi 1.7cm/s , ortalama gradient 12mmHg olarak ölçüldü. Eser derecede paravalvuler aort yetersizliği görüldü. TAVİ işleminden bir hafta sonra hastanın sağ internal karotis arterine başarılı stent implantasyonu işlemi gerçekleştirildi. Takiplerinde stabil seyreden hasta hastaneye yattığının ikinci haftasında taburcu edildi.

Tartışma ve Sonuç: Bu olgu MVR'lı hastalarda Corevalve ile TAVİ'nin uygulanabilirliğini göstermesi yönünden önemlidir.

S-066**A CoreValve implantation technique lowering permanent cardiac pacing: high level implantation with temporary pacing**

Mehmet Bilge, Recai Alemdar, Ayşe Saatçi Yaşar, Hatice Tolunay, Sina Ali, Özge Kurmuş, Ali Erayman, Tolga Han Efe, Turgay Aslan, Cemal Köseoğlu, Bilge Duran, Ahmet Akdi, Mehmet Erdoğan

Department of Cardiology, Yıldırım Beyazıt University Faculty of Medicine, Ankara

S-067**Transcatheter CoreValve aortic bioprostheses implantation in a patient with preexisting mechanical mitral prosthesis**

Mehmet Bilge, Recai Alemdar, Sina Ali, Ayşe Saatçi Yaşar, Hatice Tolunay, Cemal Köseoğlu, Tolga Han Efe, Ali Erayman, Özge Kurmuş, Turgay Aslan, Bilge Duran, Mehmet Erdoğan, Mustafa Duran

Department of Cardiology, Yıldırım Beyazıt University Faculty of Medicine, Ankara

S-068**Perkutan girişimlerde femoral arterde geniş introducer sheath kullanılan hastalarda (TAVİ ve diğer) çift proglide ile giriş yerinin kapatılması**

Mehmet Bilge, Sina Ali, Recai Alemdar, Hatice Tolunay, Ayşe Saatçi Yaşar, Tolga Han Efe, Özge Kurmuş, Ali Erayman, Bilge Duran, Turgay Aslan, Ahmet Akdi, Mehmet Erdoğan, Cemal Köseoğlu

Yıldırım Beyazıt Üniversitesi Tip Fakültesi, Kardiyoloji Anabilim Dalı, Ankara

Giriş: Son yıllarda özellikle başta TAVİ olmak üzere çoğu girişimlerde femoral yaklaşımla geniş introducer sheathler kullanılmaktadır. Şu anda özellikle 8Fr den daha geniş introducer sheath'ler (8.5-24 Fr arası) için bir perkutan vasküler cerrahi kapatma cihazı olan Prostar sık kullanılmaktadır. Bununla birlikte, Prostar ile komplikasyon oranlarının yüksekliği, kullanımının karışık ve enfeksiyon riskinin yüksek olması nedeniyle son zamanlarda off-label olarak çift Proglide kullanımını bazı operatörler tarafından tercih edilmeye başlamıştır. Birkac çalışmada çift Proglide kullanımının Prostar kadar hatta ondan daha etkin olabileceği gösterilmiştir. Bu bildiride ülkemizde ilk defa çift proglide kullanımını ve sonuçları bildirilmiştir.

Gereçler ve Yöntem: Şubat 2012 ve Haziran 2012 tarihleri arasında femoral yaklaşımla 8 Fr introducer sheathden daha geniş giriş yerlerini kapamak için 23 olguda çift proglide kullanılarak giriş yeri hemostaz sağlanmaya çalışılmış ve kateter laboratuvarında hemostaz başarısı incelenmiştir.

Bulgular: Hastaların 14'ünde manuel kompresyon yapmadan Proglide düzülmüşün ilerletilmesinden hemen sonra hemostaz sağlandı. Diğer 6 hastada kateter laboratuvarında bir-iki dakikalık manuel kompresyon uygulanarak tam hemostaz elde edilmiştir. Bir hastada Proglide düzgün sürgüsü ilerletilirken ve non-rail sutur gergin tutulmaya çalışırken dikişlerle birlikte 2-3 mm çapında arter duvar dokusuna koparak dışarıya geldi ve cerrahi onarım uygulandı. Diğer 2 hastada manuel kompresyona rağmen hemostaz sağlanamadı ve işlem başarısız kabul edilerek, cerrahi olarak kapatıldı. Sonuç olarak 20 hastada (%87) çift Proglide uygulanımı başarılı olurken 3 hastada işlem başarısız oldu. Diğer hastalarda herhangi bir komplikasyon gelişmedi..

Tartışma ve Sonuç: Normalde sutur bazlı bir kapatma sistemi olan Proglide, 5-8 Fr introducer sheath sonrası kapatma sistemi olarak kullanılmaktadır. Non-absorbable 3-0 polypropylene suture (Prolene) içeren Proglide kapatma cihazı azalmış enfeksiyon riski ve minimal inflamatuar cevap nedeniyle cerrahlar tarafından tercih edilen bir suturdur. Şu anda özellikle 8Fr'den daha geniş introducer sheathler (8.5-24 Fr arası) için bir perkutan vasküler cerrahi kapatma cihazı olan Prostar sık kullanılmakla birlikte çift Proglide kullanımını Prostar'dan daha kolay ve ondan daha etkin olabilir.

Kapak hastalıkları**S-069****İleri aort darlığı olan hastalarda transkaterter aort kapak implantasyonu sonrası hematolojik ve klinik parametreler**

Mehmet Gü'l¹, Hüseyin Uyarel², Nevzat Uslu¹, Aydin Yıldırım¹, Abdurrahman Eksik¹, Mustafa Kemal Erol¹, Özgür Akgül¹, Hale Ünal Aksu¹, Ender Özal¹, Hamdi Püştüroğlu¹, Hüseyin Aksu¹, İhsan Bakır³

¹Istanbul Mehmet Akif Ersoy Göğüs Kalp ve Damar Cerrahisi Eğitim Araştırma Hastanesi, Kardiyoloji Bölümü, İstanbul

²Bezmialem Vakıf Üniversitesi Tip Fakültesi, Kardiyoloji Anabilim Dalı, İstanbul

³Istanbul Mehmet Akif Ersoy Göğüs Kalp ve Damar Cerrahisi Eğitim Araştırma Hastanesi, Kalp ve Damar Cerrahisi Bölümü, İstanbul

S-068**Femoral artery access site closure with double Perclose Proglide following percutaneous interventions requiring large introducer sheats (TAVI and others)**

Mehmet Bilge, Sina Ali, Recai Alemdar, Hatice Tolunay, Ayşe Saatçi Yaşar, Tolga Han Efe, Özge Kurmuş, Ali Erayman, Bilge Duran, Turgay Aslan, Ahmet Akdi, Mehmet Erdoğan, Cemal Köseoğlu

Department of Cardiology, Yıldırım Beyazıt University Faculty of Medicine, Ankara

Vulvar heart diseases**S-069****Hematologic and clinical parameters after transcatheter aortic valve implantation (TAVI) in patients with severe aortic stenosis**

Mehmet Gü'l¹, Hüseyin Uyarel², Nevzat Uslu¹, Aydin Yıldırım¹, Abdurrahman Eksik¹, Mustafa Kemal Erol¹, Özgür Akgül¹, Hale Ünal Aksu¹, Ender Özal¹, Hamdi Püştüroğlu¹, Hüseyin Aksu¹, İhsan Bakır³

¹Istanbul Mehmet Akif Ersoy Thoracic Cardiovascular Surgery Education and Research Hospital, Cardiology Department, İstanbul

²Bezmialem Vakıf University, School of Medicine, Cardiology Department, İstanbul

³Istanbul Mehmet Akif Ersoy Thoracic Cardiovascular Surgery Education and Research Hospital, Cardiovascular Surgery Department, İstanbul

Background: Previous studies have demonstrated that platelet activation occurs in patients with aortic stenosis (AS). This study sought to evaluate changes in hematologic and clinical parameters noted with the improvement in AS following transcatheter aortic valve implantation (TAVI) in AS patients at high risk for surgery.

Patients and Methods: The study included 33 patients (15 males, 18 females; mean age 77.3 ± 5.9 years) who underwent TAVI due to severe AS. All the patients were at high risk for surgery and were followed-up for at least four months. In addition to biochemical, clinical, and echocardiographic examinations, hematologic blood parameters were recorded before TAVI, at discharge, and at 1 and 4 months.

Results: Mean platelet volume (MPV) showed a progressive decrease after TAVI. Hemoglobin levels approached to normal values at 1 month and at 4 months, despite being lower at discharge. On echocardiography at 1 month, aortic valve area significantly increased, with significant decreases in peak and mean gradients. Functional capacity of the patients improved significantly at 4 months. Progressive decreases were also noted in BNP and NT pro-BNP levels.

Conclusion: Our findings show that TAVI improves hemodynamic parameters of the valve with marked clinical and echocardiographic improvement, resulting in decreased platelet activation and MPV in patients with severe AS.

Kapak hastalıkları

S-070

Tek bir merkezde transkaterter aort kapak implantasyonu programının 4 yıllık gelişimi

Ömer Aktug¹, Ralf Herpertz¹, Sarah Lotfipur¹, Kathrin Brehmer¹, Rüdiger Autschbach², Nikolaus Marx¹, Shahram Lotfi², Rainer Hoffmann¹

¹RWTH Üniversitesi Aachen Hastanesi, Kardiyoloji, Anjiyoloji, Pnömojoloji ve Yoğum Bakım Ünitesi Bölümleri, Almanya

²RWTH Üniversitesi Aachen Hastanesi, Kalp Damar Cerrahisi Bölümü, Almanya

Vulvar heart diseases

S-070

Four-year evolution of a single center transcatheter aortic valve implantation program

Ömer Aktug¹, Ralf Herpertz¹, Sarah Lotfipur¹, Kathrin Brehmer¹, Rüdiger Autschbach², Nikolaus Marx¹, Shahram Lotfi², Rainer Hoffmann¹

¹Department of Cardiology, Angiology, Pneumology and Intensive Care Unit, RWTH University Hospital of Aachen, Germany

²Department of Cardiothoracic Surgery, RWTH University Hospital of Aachen, Germany

Aim: This study evaluated the evolution of the transcatheter aortic valve implantation (TAVI) program at a single center with regards to implantation techniques, complications and outcome during a four year period.

Methods: A total of 273 patients were treated with TAVI from 1/2008 until 10/2011. 135 patients had transapical TAVI using the Edwards Sapiens valve, 136 patients had transfemoral TAVI and in 2 patients a subclavian access was used. LogEuroscore remained stable at 21±8% during the study period. All procedures were performed by one heart team consisting of a cardiologist and a cardiac surgeon. There was permanent evaluation of pre-, intra- and postprocedural techniques within the team for quality improvement. Implantation techniques, complication and outcome data were analysed on an annual basis.

Results: The rate of transapical access TAVI decreased from 59% in 2008 to 36% in 2011 while use of transfemoral and transsubclavian access increased inversely. There was a persistent decrease in procedure time, contrast volume and vascular complications during the 4 year period in spite of greater procedural efforts to optimize the valve prosthesis position and handle vascular complications by interventional techniques. 30 day mortality could be reduced from an initial 13% in 2008 to 7% in 2011. The reduction in 30 day mortality was pronounced in the transfemoral access group with a reduction from 14% to 2% (1/47). Rate of pacemaker implantation in the transfemoral group increased from 31% to 48%.

Conclusions: Persistent efforts to improve pre-, intra- and postprocedural management results in a significant reduction in 30 day mortality as well as vascular complications. A shift from transapical to transfemoral access TAVI could be observed.

S-071

Ciddi aort darlığı olan yüksek riskli hastalarda transkaterter aort kapak implantasyonu ve beraberinde perkütan koroner girişim

Ömer Aktug¹, Ralf Herpertz¹, Kathrin Brehmer¹, Rüdiger Autschbach², Nikolaus Marx¹, Shahram Lotfi², Rainer Hoffmann¹

¹RWTH Üniversitesi Aachen Hastanesi, Kardiyoloji, Anjiyoloji, Pnömojoloji ve Yoğum Bakım Ünitesi Bölümleri, Almanya

²RWTH Üniversitesi Aachen Hastanesi, Kalp Damar Cerrahisi Bölümü, Almanya

S-071

Transcatheter aortic valve implantation and concomitant percutaneous coronary intervention in high-risk patients with severe aortic stenosis

Ömer Aktug¹, Ralf Herpertz¹, Kathrin Brehmer¹, Rüdiger Autschbach², Nikolaus Marx¹, Shahram Lotfi², Rainer Hoffmann¹

¹Department of Cardiology, Angiology, Pneumology and Intensive Care Unit, RWTH University Hospital of Aachen, Germany

²Department of Cardiothoracic Surgery, RWTH University Hospital of Aachen, Germany

Background: Combined surgical aortic valve replacement (SAVR) and coronary artery bypass grafting (CABG) are the gold standard treatment for patients with aortic stenosis (AS) and concomitant coronary artery disease (CAD). The presence of CAD is associated with a higher operative risk and negatively impacts the outcome of patients undergoing SAVR. However, a substantial part of patients is improper for surgery due to contraindications. There is little knowledge about the risks and outcomes associated with performing percutaneous coronary intervention (PCI) in combination with transcatheter aortic valve implantation (TAVI).

Aim of Study: We analyzed the impact of CAD on procedural outcomes and short-term survival in patients undergoing combined TAVI and PCI as an alternative strategy in high-risk patients with symptomatic high-grade AS.

Methods: From 1/2008 until 12/2011 284 patients successfully treated with the Medtronic CoreValve™ (n=146) and Edwards-SAPIENT™ (n=138) bioprostheses via the transfemoral, transapical as well as transsubclavian (n=2) approach were included. 183 patients (64%) had CAD. In case of significant CAD, treatment of coronary lesions amenable to PCI was performed prior to TAVI. 57 patients (20%, 27 female of these) underwent combined TAVI and PCI after being refused for surgery. In 49 patients (group 1) a staged approach of PCI up to 30 days prior to subsequent TAVI was chosen. 8 patients (group 2) were treated in a single-stage procedure.

Results: In group 2, fluoroscopy time was not significantly higher compared to group 1 (12.5±2.5 min vs 16.4±13.8; p=0.401), while there was a higher amount of contrast agent (251±59.6 vs. 187.0±74.6 ml; p=0.026) in patients with single-stage procedure. 8 patients (14.3%) had a peri-procedural myocardial infarction, stroke occurred in one patient (1.8%). New left bundle branch block (LBBB) was observed in 17 patients (30.9%) and AV-block (AVB) 14.5% respectively after TAVI. Clinical outcome at 30 days was similar for patients undergoing isolated TAVI as compared with TAVI combined with PCI in terms of death (11% vs. 12.3%; OR=1.19, 95% CI 0.485-2.922; p=0.704). 30-day mortality rate of patients undergoing staged approach was 14.3% (7/49) compared with 0% in patients with single-stage procedure (0/8), p=0.578.

Conclusion: CAD is frequent among patients with severe AS undergoing TAVI. In this cohort of TAVI patients subjected to a strategy of complete pre-procedural percutaneous revascularization, PCI prior to TAVI was not associated with an increased risk of 30-day adverse events. On the basis of these early results, revascularization should become an important consideration in patients with CAD undergoing TAVI. Among carefully selected patients, revascularisation with PCI can be safely performed in addition to TAVI either as a staged or a concomitant intervention in high-risk patient population.

S-072

Transkater aort kapak implantasyonu sonrası yeni gelişen ileti bozukluğunun sol ventrikül işlevleri üzerine etkisi

Ömer Aktug¹, Ralf Herpertz¹, Sarah Lotfipur¹, Kathrin Brehmer¹, Rüdiger Autschbach², Nikolaus Marx¹, Shahram Lotfi², Rainer Hoffmann¹

¹Department of Cardiology, Angiology, Pneumology and Intensive Care Unit, RWTH University Hospital of Aachen, Germany

²Department of Cardiothoracic Surgery, RWTH University Hospital of Aachen, Germany

S-072

Impact of new conduction defect after transcatheter aortic valve implantation on left ventricular function

Ömer Aktug¹, Ralf Herpertz¹, Sarah Lotfipur¹, Kathrin Brehmer¹, Rüdiger Autschbach², Nikolaus Marx¹, Shahram Lotfi², Rainer Hoffmann¹

¹Department of Cardiology, Angiology, Pneumology and Intensive Care Unit, RWTH University Hospital of Aachen, Germany

²Department of Cardiothoracic Surgery, RWTH University Hospital of Aachen, Germany

Objectives: This study evaluated the impact of new conduction defect after TAVI on the evolution of left ventricular (LV) function during one year follow-up.

Background: New left bundle branch block (LBBB) or need for permanent pacing due to AV-block are frequent after transcatheter aortic valve implantation (TAVI).

Methods: A total of 90 consecutive patients treated with TAVI and 12 months echocardiographic follow-up were included in the study. In 39 patients a new conduction defect (new LBBB or need for permanent pacemaker activity) persisted one month after TAVI. In 51 patients no persistent new conduction defect was observed. 2D echocardiography using parasternal short-axis, apical 4-chamber and 2-chamber views was performed before TAVI and at 1 year follow-up to determine left ventricular volumes and ejection fraction based on Simpson's rule. Speckle-tracking echocardiography was applied using standard LV short-axis images to assess the effect of new conduction defect on time-to-peak radial strain of different LV segments as parameter of LV dyssynchrony.

Results: New conduction defect resulted in marked heterogeneity in time-to-peak strain between the 6 analysed short-axis segments. During one year follow-up after TAVI there was a significant increase in LVEF in patients without new LBBB ($53\pm11\%$ pre to $59\pm10\%$ at follow-up; $p<0.001$), while there was no change in LVEF in patients with new conduction defect ($52\pm11\%$ pre to $51\pm12\%$ at follow-up, $p=0.740$). Change in LV end-systolic volume was also significantly different between patient groups (-1.0 ± 14.2 vs. -11.2 ± 15.7 ml, $p=0.042$). New conduction defect was an independent predictor of reduced LVEF at 12 months follow-up after TAVI.

Conclusions: LVEF improves after TAVI for treatment of severe aortic stenosis in patients without new conduction defect. In patients with a new conduction defect after TAVI, there is no improvement in LVEF at follow-up.

S-073

Edwards SAPIEN ve CoreValve cihazlar ile transkater aort kapak implantasyonu sonuçları: Türkiye'den tek merkezli deneyim

Mehmet Güll¹, Aydin Yıldırım¹, Nevzat Uslu¹, Abdurrahman Eksik¹, Mustafa Kemal Erol¹, Hüseyin Uyarel², Mehmet Ertürk¹, Özgür Sürgüt¹, Korhan Erkanlı³, Ünal Aydin³, Hale Ünal Aksu¹, Özgür Akgül¹, İhsan Bakır³

¹Istanbul Mehmet Akif Ersoy Göğüs Kalp ve Damar Cerrahisi Eğitim Araştırma Hastanesi, Kardiyoloji Bölümü, İstanbul

²Bezmialem Vakıf Üniversitesi Tıp Fakültesi, Kardiyoloji Anabilim Dalı, İstanbul

³Istanbul Mehmet Akif Ersoy Göğüs Kalp ve Damar Cerrahisi Eğitim Araştırma Hastanesi, Kalp ve Damar Cerrahisi Bölümü, İstanbul

S-073

The outcomes of transcatheter aortic-valve implantation with Edwards SAPIEN or CoreValve devices: single-center experience in Turkey

Mehmet Güll¹, Aydin Yıldırım¹, Nevzat Uslu¹, Abdurrahman Eksik¹, Mustafa Kemal Erol¹, Hüseyin Uyarel², Mehmet Ertürk¹, Özgür Sürgüt¹, Korhan Erkanlı³, Ünal Aydin³, Hale Ünal Aksu¹, Özgür Akgül¹, İhsan Bakır³

¹Istanbul Mehmet Akif Ersoy Thoracic and Cardiovascular Surgery Training and Research Hospital, Cardiology Department, İstanbul

²Bezmialem Vakıf University, Cardiology Department, İstanbul

³Istanbul Mehmet Akif Ersoy Thoracic and Cardiovascular Surgery Training and Research Hospital, Cardiovascular Surgery Department, İstanbul

Objective: This study sought to present the short- and mid-term follow-up results of 35 patients who underwent transcatheter aortic-valve implantation.

Study Design: Transcatheter aortic valve implantation was performed in 35 patients (16 males, 19 females, mean age 77.4 ± 6.9 years) who were at high risk for surgery (EuroSCORE 26.0 ± 9.9) between October 2010 and February 2012 at our institution. The Edwards SAPIEN valve (n: 27) and CoreValve (n: 8) prostheses were implanted by the transfemoral (n: 33), transapical (n: 1), and subclavian (n: 1) approaches. The average echocardiographic valve area was 0.6 ± 0.1 cm² and the mean transvalvular gradient was 53.3 ± 8.0 mmHg before the procedure.

Results: The procedural success rate was 97%. After the procedure, the average transvalvular gradient decreased to 9.8 ± 2.7 mmHg, and the average aortic valve area increased to 1.9 ± 0.2 cm². The average NYHA functional capacity reduced from 3.5 ± 0.5 to 1.4 ± 0.6 at three months of follow-up ($p<0.001$). A significant increase in the mean left ventricular ejection fraction (LVEF) was seen at 1 month (50.1 ± 11.4 vs. 52.5 ± 10.4 , $p<0.001$). Permanent pacemaker implantation was required in four patients (3 CoreValve, 1 Edwards SAPIEN). Four deaths occurred (%11.4) within the first 30 days of follow-up. Nine patients died during a median of 9 months (range 0-17 months) including procedural mortality.

Conclusion: Our single-center procedural success rate and early- and mid-term follow-up results are promising for this patient group in line with other studies in the world.

S-074

Subklavian artere perkütan yolla stent uygulanması: 21 hastanın klinik sonuçları

Fehmi Kaçmaz¹, Taner Sarak², Gizem Çabuk³, Orhan Maden³, Rahşan Turan¹, Kenan Ömürlü¹, Erdoğan İlkay¹

¹Özel TOBB ETÜ Hastanesi, Ankara

²Kırıkkale Yüksek İhtisas Hastanesi, Kardiyoloji Bölümü, Kırıkkale

³Ankara Türkiye Yüksek İhtisas Hastanesi, Kardiyoloji Bölümü, Ankara

Amaç: Subklavian arter darlığı, vertebral-subklavian çalma sendromuna neden olduğu gibi, koro-ner-subklavyen çalma sendromuna da neden olabilemektedir. Bu çalışmada, merkezimizde subklavian arter darlığına perkütan girişim uygulanan 21 hastanın 3 yıllık takip sonuçları bildirilmiştir.

Çalışma planı: Çalışmaya, subklavian artere perkütan yolla stent tedavisi uygulanan 21 hasta (3 kadın, 18 erkek; ort. yaşı 59,0) alındı. Onyedi hasta koroner arter hastalığı, yedi hasta koroner arter bypass greftleme öyküsü mevcuttu. Altı hasta subklavian arterde tam okluzyon saptandı; iki hastanın sağ subklavian arterine, 19 hastanın sol subklavian arterine girişim uygulandı. Hastalar symptom gelişimi açısından ortalama 3 yıl süre ile takip edildi.

Bulgular: Ortalama stent çapı 8,7 mm, ortalama stent uzunluğu 41,65 mm olarak saptandı. Hastaların 17'sinde antegrade yaklaşım ile başarı sağlandı ancak dört hasta retrograd hem de retrograd girişim uygulandı; bir hasta işlem başarısız oldu. Perkütan girişimin başarı oranı %95,2 olarak saptandı (20/21). Subklavian arterine farklı şekilde stent takılan 20 hastanın birinde restenoz gelişti ve hastaya perkütan anjiyoplasti uygulandı; işlem başarılı oldu. Periprocedural dönemde majör komplikasyon görülmemiştir.

Sonuç: Subklavian arter darlığı ve subklavian çalma sendromu olan hastalara perkütan yole uygulanan stent tedavisi etkin bir güvenilir bir tedavi yöntemidir. Orta dönem takip sonuçları; düşük restenoz hızları ile oldukça iyidir.

S-074

Percutaneous transcatheter subclavian artery stenting: clinical outcome of 21 patients

Fehmi Kaçmaz¹, Taner Sarak², Gizem Çabuk³, Orhan Maden³, Rahşan Turan¹, Kenan Ömürlü¹, Erdoğan İlkay¹

¹TOBB ETÜ Hospital, Ankara

²Department of Cardiology, Kırıkkale Yüksek İhtisas Hospital, Kırıkkale

³Department of Cardiology, Ankara Türkiye Yüksek İhtisas Hospital, Ankara

Objectives: Subclavian artery stenosis could cause coronary-subclavian steal syndrome as well as vertebral-subclavian steal syndrome. We evaluated three year results of 21 patients with subclavian artery stenosis treated by percutaneous transcathester stenting.

Study design: The study included 21 patients (3 women, 18 men; mean age 59.0) who underwent percutaneous transcathester subclavian artery stenting. History of coronary artery bypass grafting was present in 7 patients; 17 patients had coronary artery disease. Nineteen patients had left subclavian artery intervention while two had right sided intervention; six patients had total occlusion of the subclavian artery. Patients were followed-up for symptom development for a mean duration of 3 years.

Results: The mean stent diameter was 8.7 mm and the mean stent length was 41.65 mm. Antegrade intervention was performed in 17 patients, however both antegrade and retrograde intervention were required in 4 patients. Intervention failure was observed in one patient. Technical success rate of the percutaneous treatment was 95.2% (20/21) Among these 20 patients 1 developed stent restenosis and treated with percutaneous angioplasty successfully. No major complications were observed in the perioperative period.

Conclusion: Percutaneous transluminal stenting of the narrowed subclavian artery is a safe and effective treatment modality for patients with subclavian steal syndrome. Mid-term follow-up results are excellent with low restenosis rates.

S-075

Kesintili torasik aortanın arter-arter halka desteği içinde endovasküler stent ile tedavisi

Atıla İyisoy¹, Uygur Çağdaş Yüksel¹, Turgay Çelik¹, Emre Yalçınkaya¹, Murat Çelik², Barış Bugan³, Yalçın Gökoğlan¹, Serdar Fırtına⁴, Erkan Yıldırım¹, Salim Yaşa¹

¹GATA Ankara, Kardiyoloji Anabilim Dalı, Ankara

²Van Askeri Hastanesi, Kardiyoloji Bölümü, Van

³Malatya Asker Hastanesi, Kardiyoloji Bölümü, Malatya

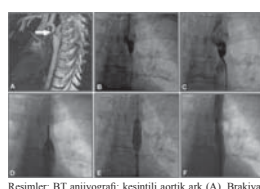
⁴Erzincan Asker Hastanesi, Kardiyoloji Bölümü, Erzincan

Giriş: Kesintili aortik ark (aortic interruption), aortik arkta lümen devamlığının kaybolduğu, tedavisi olguların kötü prognosu ile seyrettiği, nadir gözlenen bir konjenital anomalidir. Bu yazımızda, kesintili torasik aorta olgusuna arter-arter halka (arterial loop) desteği içinde uyguladığımız endovasküler stent implantasyonundan bahsettiğiz.

Ölgi: BT anjiyografi ve kateterizasyon sonrası kesintili torakal aortik ark yapısına sahip olduğu saptanan hasta endovasküler stent implantasyonu yapılması kararlaştırıldı. Defektin proksimal kesminin görüntülenebilmesini amacıyla brakiyal yoldan kateterizasyon yapıldı ve distale kontrast geçişinin olmadığı izlendi. Ardından sağ femoral yoldan sağ judkins kateter kullanılmak suretiyle yapılan eş zamanlı brakiyal ve femoral arteriel enjeksiyonlarla kesintili segmentin proksimal ve distal uçları ve bunların arasındaki fibroz doku görüntülenerek geçişini gereken segment belirlendi. 0,014" kılavuz tel ile aortik kesiminin bulunduğu segment nazik hakeçlerle kör olarak yoklandı ve birkaç denedenden sonra defektin bulunduğu segmenteki fibroz doku geçidi. İlerletilecek kılavuz katetere destek olması amacıyla; brakiyal yoldan kılavuz katetlerinden snare ilerletildi, femoral yoldan gonderilen ve defektin proksimaline geçen kılavuz telin ucu yakalandı ve brakiyal kateter içine çekilecek arter-arter halka oluşturulması sağlanıldı. Oluşturulan halka üzerinden aortik intimal yapısı hasar vermeyen 1,5 ve 3,5x20 mm (koroner balon), 6 ve 7x20 mm balonlar sırasıyla lezyonda sıkıştırdı. Balon dilatasyonları sonrası defekt sağ judkins kateter ile retrograd olarak geçirildi ve 0,014" kılavuz tel çekilecek sistemi taşıyıcı kateter (12F Delivery Sheath) ile değiştirildi. Yapılan predilatasyon sayesinde taşıyıcı kateterin lezyon bölgesinde geçişinde herhangi bir zorlukla karşılaşılmadı ve membran kaplı stent (Numed Covered CP Stent-28 mm) lezyona implante edilerek aortik devamlılık sağlanmıştır.

Sonuç: İşlem öncesi 73 mmHg olan transaortik gradient işlem sonrası 9 mmHg'ya düştü. Daha önce hipertansiyon nedeni ile amlodipine ve metoprolol kullanan hastanın 3. ay takibinde anti-hipertansif ihtiyacının kalmadığı görüldü.

Tartışma: Vakamızda, kesintili aortik segment muhitemelen kılavuz tel ile geçişimize olanak sağlayan fibroz tunelli bir yapıdan oluşmaktadır. Gerçek anlamda kesintili aortik ark anomalilerinde intimal yapıya ve damar bütünlüğünde zarar verilmelen kateter ile geçiş sağlaması mümkün değildir. Olası bir komplikasyonu engellemek için kesintili aortik yapıları yapılacak her türlü kateterizasyonlarında sert manevralar ve kaçınılmaz ve defekt fazla zorlanmamalıdır. Fibroz tüne-lin bulunduğu olgularda perkütan girişim başarılı olabilirken herhangi bir bağlantısını olmadığı olgularda cerrahi tercih edilmelidir. Perkütan girişimin yapılacağı olgularda lezyona kateterle geçirilebilmesi için arteriel halka desteği kullanılabilir.



Resimler: BT anjiyografi; kesintili aortik ark (A), Brakiyal arterden retrograd yolla kılavuz katetere (B), Kılavuz sehpası ile ilerletilen ve Dijital profilik balonlar yardım ile yapılan dilatasyonlar sonrası kateterizasyon ile proksimal segmentde radyoçupuk madde göstergesi (C); Ölçümler sonrası balon-stent kompleksine pozisyon verildi (D), Uygun pozisyon sonrası stent implantasyonu edildi (E), Stent implantasyonu sonrası yapılan kateterizasyonda stentin uygun pozisyonunda olduğu ve tam açıldığı izlendi, herhangi bir komplikasyon izlenmedi (F).

S-075

Interrupted aortic arc endovascular stenting supported with an arterial-arterial loop

Atıla İyisoy¹, Uygur Çağdaş Yüksel¹, Turgay Çelik¹, Emre Yalçınkaya¹, Murat Çelik², Barış Bugan³, Yalçın Gökoğlan¹, Serdar Fırtına⁴, Erkan Yıldırım¹, Salim Yaşa¹

¹Department of Cardiology, GATA, Ankara

²Department of Cardiology, Van Military Hospital, Van

³Department of Cardiology, Malatya Military Hospital, Malatya

⁴Department of Cardiology, Erzincan Military Hospital, Erzincan

S-076

Paraşüt Device implantasyonu yapılabilecek hastaları bulabilmek için geliştirilmiş yeni basamaklı hasta seçme metodu

R. Gökmén Turan, İlkyay Bozdag Turan, Liliya Paranskaya, Giuseppe D'ancona, Stephan Kische, İbrahim Akın, Bojan Jovanovic, C. Hakan Turan, Jasmin Ortak, Christoph A. Nienaber, Hüseyin Ince

Rostock Üniversitesi Hastanesi, İç Hastalıkları Anabilim Dalı, Kardiyoloji Bölümü, Almanya

S-076

How to find patients for the parachute device implantation: A new methodology for multimodal staged patient selection

R. Gökmén Turan, İlkyay Bozdag Turan, Liliya Paranskaya, Giuseppe D'ancona, Stephan Kische, İbrahim Akın, Bojan Jovanovic, C. Hakan Turan, Jasmin Ortak, Christoph A. Nienaber, Hüseyin Ince

Department of Internal Medicine, Division of Cardiology, University Hospital Rostock, Germany

Background: A novel percutaneous ventricular restoration therapy (PVRT) has been recently proposed to treat patients with ischemic heart failure (IHF) and anteroapical regional wall motion abnormalities after myocardial infarction (MI). Adequate patients' selection may impact upon perioperative and follow-up results. We herein propose a new patients' selection strategy based upon echocardiography and cardiac computed tomography (CT).

Material and Methods: A three-stage evaluation shown in Figure 1 was adopted in a series of patients referred for a Parachute Ventricular Partitioning Device (ParachuteTM). After an initial clinical evaluation the step 2 screening was performed according to echocardiographic functional (LVEF<40%, apical/anterior akinesia/dyskinesia) and anatomical criteria (diameter of LV-apex (LVAD)=4.0x5.0cm, left ventricular end diastolic diameter (LVEDD)>56mm, left ventricular end systolic diameter (LVESD)>38mm). Patients encountering the echocardiographic criteria were selected for 3D cardiac CT (architecture, geometry and trabeculation of the left ventricle) and eventually treated with the ParachuteTM.

Results: 50 patients were screened according to the echocardiographic criteria. 27 of these met the echo inclusion criteria underwent further cardiac CT imaging. After CT imaging, 8 patients were scheduled for ParachuteTM implantation. The device was successfully implanted in all 8 patients and in-hospital mortality was 0%. A 3-month follow up echocardiography showed LV-volumes (from 220 ± 78 /154±52 ml to 190±72/132±56 ml., p<0.05) reduction and improvement of global EF (from 28 ± 6% to 33 ± 6%, p<0.05).

Conclusion: Selection criteria for ParachuteTM placement should include left ventricular functional and anatomical parameters. When preprocedure echocardiography and cardiac CT are adequately implemented, satisfactory periprocedure and short term follow-up results may be achieved after ParachuteTM implantation.

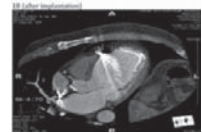
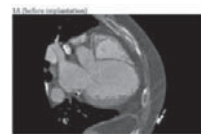


Figure 1. A and B before and after Parachute implantation

S-077

Hemodinamik ve klinik olarak stabil olmayan bir hastada aynı seansda korunmaz sol ana koronere ve karotis artere girişim

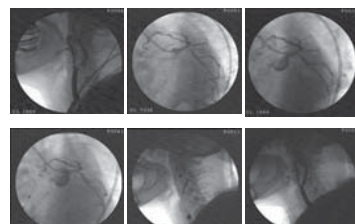
Mehmet Bilge, Sina Ali, Recai Alemdar, Ayşe Saatçi Yaşa, Mehmet Erdoğan, Özge Kurmuş, Ali Erayman, Tolga Han Efe, Turgay Aslan, Bilge Duran, Cemal Köseoğlu, Serkan Sivri, Mustafa Duran

Yıldırım Beyazıt Üniversitesi Tip Fakültesi, Kardiyoloji Anabilim Dalı, Ankara

Giriş: Karotis ve koroner arter hastalığı sıklıkla bir arada bulunur. Koroner arter bypass greftleme operasyonu yapılan hastalarda karotis arter hastalığı oranı yaklaşık % 12 olup; bu oran sol ana koroner arter (LMCA) lezyonu olan hastalarda % 40'a kadar ulaşmaktadır. Eş zamanlı ciddi karotis ve koroner arter hastalığı olanlar revaskülarizasyon açısından yüksek risk almaktadır. Revaskülarizasyon riskini hem karotis ve koroner arter hastalığının yaygınlığı hem de hastanın klinik durumu belirler ve bu durumun tedavisyle ilgili kesin bir fikirbirliği mevcut değildir. Akut koroner sendrom (AKS) ve beraberinde tekrarlayan geçici iskemi atak (TIA) tablosunun bulunmasının önemini ise daha da karmaşıklaştır. Biz kliniğimize tekrarlayan TIA ve AKS ile başvuran, takibinde hemodinamik ve klinik olarak stabil olmayan bir hastada aynı seansda LMCA ve karotis arter girişimini başarıyla gerçekleştirdik. Bu tarzda bir hasta şimdide kadar literatürde bildirilmemiştir.

Oluğu: 78 yaşında hipertansiyon ve serebrovasküler olay öyküsü olan bayan hasta, istirahat halinde olan göğüs ağrısı ve tekrarlayan TIA şikayetleriyle hastaneye yatırıldı. Başvuru elektrokardiografisi ve eko-kardiyografisi normal sınırlardaydı. Yapılan karotis anjiyografi sol internal karotis arterde (IKA) %95 darlığı neden olan trombotik lezyon tespit edildi (figür 1). Karotis anjiyografi işlemi esnasında ciddi anjina ve hipotansiyon gelişen (70/40 mm/Hg) hasta iv hidrasyon ve dopamin infüzyonu desteğiyle koroner anjiyografi işlemi almıştır. Distal LMCA'da %70, proksimal sol ön inen arterde (LAD) %90, sirkumflex arter (Cx) ostiyumunda %95 ve sağ koroner arter (RCA) distalinde %90 darlıklar tespit edildi (figür 2). Hasta kalp damar cerrahi kliniği tarafından cerrahi müdahale açısından yüksek riskli olarak değerlendirildi ve hastaya perkitan girişim planlandı. İlk olarak LAD arterdeki lezyona ardından distal LMCA'dan Cx'e uzananak şekilde stent implantasyonu yapıldı (figür 3). LAD ostiyumuna plak kayması nedeniyle LAD ve CX artere final kissing ballon angioplasti teknigi uygulandı (figür 4). Hastanın anjinası ve hemodinamik durumu düzeltilmiş fakat nörolojik durumunu stabil olmasına nedeniyle aynı seansda sol IKA'ya proksimal serebral koruma cihazı (Mo.Ma) kolları bir şekilde stent implante edildi (figür 5 ve 6). Daha sonra ayrı seansa RCA ve renal arterdeki ciddi darlıklar nedeniyle stentlemi işlemi uygulandı.

Sonuç: Ciddi karotis ve koroner arter hastalıklarının bir arada bulunduğu hastalarda tedavi stratejisinin nasıl olması gerektiği literatürde net olarak belirtilememiştir. Özellikle yüksek cerrahi risk taşıyan ve semptomatik olan hastalarda yaklaşım daha da zordur. Literatürde elektif şartlarında eş zamanlı sol ana koroner ve karotis arter stentlemi işlemiinin yapıldığı vakalar bildirilmiştir. Bizim olgumuzun ilginç yanısı AKS ve TIA'nın eş zamanlı bulunması, hastanın klinik ve hemodinamik olarak stabil olmaması ve aynı seansda koroner ve karotis girişimini yapılmıştır.



S-077

Stenting of unprotected left main and carotid artery in a hemodynamically and clinically unstable patient at the same session

Mehmet Bilge, Sina Ali, Recai Alemdar, Ayşe Saatçi Yaşa, Mehmet Erdoğan, Özge Kurmuş, Ali Erayman, Tolga Han Efe, Turgay Aslan, Bilge Duran, Cemal Köseoğlu, Serkan Sivri, Mustafa Duran

Department of Cardiology, Yıldırım Beyazıt University Faculty of Medicine, Ankara

S-078

STEMI hastalarında transfemoral yaklaşım ile transradial yaklaşımının karşılaştırılması

Ferhat Eyyüpkoç, Bilal Çuglan, Yılmaz Ömür Otu, Mahmut Yılmaz, Fuat Kurt, Jülde Yağmur, Ramazan Özdemir

İnönü Üniversitesi Turgut Özal Tip Merkezi, Kardiyoloji Anabilim Dalı, Malatya

S-078

The comparison between transradial approach and transfemoral approach in patients with STEMI

Ferhat Eyyüpkoç, Bilal Çuglan, Yılmaz Ömür Otu, Mahmut Yılmaz, Fuat Kurt, Jülde Yağmur, Ramazan Özdemir

Department of Cardiology, İnönü University, Turgut Özal Medical Center, Malatya

Objective: It is well-known that transradial approach is associated with lower incidence of access site complications and improved clinical outcomes compared with transfemoral approach in ST-segment elevation myocardial infarction (STEMI). Therefore, we sought to evaluate the safety and efficacy of radial versus femoral percutaneous coronary intervention (PCI) for patients with STEMI in our study.

Methods: 1052 patients with STEMI treated with PCI who arrived within 12 hours of pain onset were included in this study from January 2010 to May 2012. The radial artery approach was used in 296 patients, and the femoral artery approach in 756 patients. Transfemoral approach was preferred in the presence of severe chronic kidney disease, cardiogenic shock status and patients treated with CABG. We compared success rates, procedure times, X-ray exposure, volume of contrast, incidence of major adverse cardiac events, bleeding rates and complications between the radial artery and femoral artery approach.

Results: The success rate was 94% in radial group and 97% in femoral group. Crossover to femoral access was required in 17 patients (5.7%). There were no differences in door-to-balloon time between the two access routes ($p=AD$). PCI procedure times for femoral and radial approach were 34 ± 4.9 versus 37 ± 5.2 minutes, respectively ($p=AD$). Fluoroscopy times and contrast volume were not significantly different between two groups. Radial access was associated with less access site-related major vascular complications (1.4% versus 3.7%, $P<0.05$). The incidence of major bleeding complications requiring blood transfusion was significantly higher in the transfemoral group ($P=0.004$). Minor bleeding occurred in patients in the radial group (2.8%) and in the femoral group (3.5%; $P<0.05$).

Conclusion: Transradial approach for PCI in STEMI has similar safety and efficacy with transfemoral approach without any difference in PCI procedure time and reducing the risk of significant perioperative bleeding.

S-079

Primer perkutan girişim ile tedavi edilen ön duvar ST yükselsel miyokart enfarktüslü hastalarda başvuru elektrokardiyografideki aVR leadinde T dalga genliğinin prognostik anlamı

Erkan Ayhan¹, Turgay İşık¹, Hüseyin Uyarel², Mehmet Ergelen², Gökhan Çiçek³, Mehmet Eren³

¹Balıkesir Üniversitesi Tip Fakültesi Kardiyoloji Anabilim Dalı, Balıkesir

²Bezm-i Alem Vakıf Gureba Eğitim ve Araştırma Hastanesi, Kardiyoloji Kliniği, İstanbul

³Dr. Siyami Ersek Göğüs, Kalp ve Damar Cerrahisi Eğitim ve Araştırma Hastanesi, Kardiyoloji Kliniği, İstanbul

Amaç: aVR leadinde T dalga pozitifliğinin kalp yetersizliği ve geçirilimi ön duvar ST yükselsel miyokart enfarktüstünde yüksek kardiyovasküler mortalite ile ilişkisi gösterilmiş ancak primer perkutan koroner girişim (PKG) uygulanan hastalarda araştırılmıştır. Bu çalışmada amacımız, primer PKG ile tedavi edilen ön duvar STYME li hastalarda hastane içi mortalite için başvurular elektrokardiyografideki (EKG) aVR leadindeki T dalgasının prognostik önemini araştırmak.

Çalışma Planı: Bu çalışmaya, dışlama sonrası primer PKG uygulanan 169ardişik ön duvar STYME'li hasta (ortalama yaşı 55 ± 12.9 , 145 erkek) ileriye dönük inceleme içi dahil edildi. Hastalar, başvuru EKG'de T dalga pozitif ($n=53$, grup 1) ve negatif ($n=116$, grup 2) olmak üzere 2 gruba ayrıldı. Tüm hastalar klinik özellik, primer PKG bulguları ve hastane içi klinik sonuçlar açısından değerlendirildi.

Bulgular: Primer PKG uygulanan T dalga pozitif hastalar, T dalga negatif hastalardan daha yaşlı, çok damar hastalığı daha sık ve hastanede kalış süresi daha uzun idi. Hastane içi mortalite eğilimi grup 1 de grup 2 ye göre daha fazla idi (sirası ile %7.5 ve %1.7, $p=0.05$). Temel karakterler ayarlandıktan sonra T dalga pozitifliği hastane içi mortalitenin bağımsız bir öngördürmeçisi olduğu saptandı (odds oranı: 4.41, güven aralığı 1.2-22.1, $p=0.05$).

Sonuç: Ön duvar STYME li hastalar arasında aVR leadinde T dalga pozitifliği artmış hastane içi kardiyovasküler mortalite ile ilişkilidir.

S-079

Prognostic significance of T-Wave amplitude in lead aVR on the admission electrocardiography in patients with anterior wall ST-elevation myocardial infarction treated by primary percutaneous intervention

Erkan Ayhan¹, Turgay İşık¹, Hüseyin Uyarel², Mehmet Ergelen², Gökhan Çiçek³, Mehmet Eren³

¹Department of Cardiology, Balıkesir University Faculty of Medicine, Balıkesir

²Department of Cardiology, Bezm-i Alem Vakıf Gureba Training and Research Hospital, İstanbul

³Department of Cardiology, Dr. Siyami Ersek Thoracic, and Cardiovascular Surgery, Training and Research Hospital, İstanbul

Objectives: T-wave positivity in aVR lead patients with heart failure and anterior wall old ST segment elevation myocardial infarction (STEMI) are shown to have a higher frequency of cardiovascular mortality, although the effects on patients with STEMI treated with primary percutaneous coronary intervention (PCI) has not been investigated. In this study, we sought to determine the prognostic value of T wave in lead aVR on admission electrocardiography (ECG) for in-hospital mortality in patients with anterior wall STEMI treated with primary PCI.

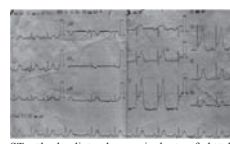
Study Design: After exclusion, 169 consecutive patients with anterior wall STEMI (mean age: 55 ± 12.9 years; 145 men) undergoing primary PCI were prospectively enrolled in this study. Patients were classified as a T wave positive ($n=53$, group 1) or T wave negative ($n=116$, group 2) in aVR based upon the admission ECG. All patients were evaluated with respect to clinical features, primary PCI findings, and in-hospital clinical results.

Results: T wave positive patients who received primary PCI were older, multivessel disease was significantly more frequent and the duration of the patient's hospital stay was longer than T wave negative patients. In-hospital mortality tended to be higher in the group 1 when compared with group 2 (7.5% vs 1.7% respectively, $p=0.05$). After adjusting the baseline characteristics, positive T wave remained an independent predictor of in-hospital mortality (odds ratio: 4.41; 95% confidence interval 1.2-22.1, $p=0.05$).

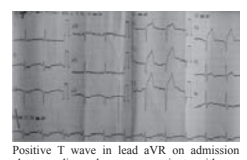
Conclusions: T wave positivity in lead aVR among patients with an anterior wall STEMI treated with primary PCI is associated with an increase in hospital cardiovascular mortality.



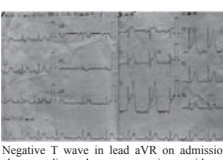
ST yükselsel ön duvar miyokart enfarktüslü hastalar arasında başvuru elektrokardiyografide aVR leadinde pozitif T dalgası



ST yükselsel ön duvar miyokart enfarktüslü hastalar arasında başvuru elektrokardiyografide aVR leadinde negatif T dalgası



Positive T wave in lead aVR on admission electrocardiography among patients with anterior wall ST segment elevation myocardial infarction



Negative T wave in lead aVR on admission electrocardiography among patients with anterior wall ST segment elevation myocardial infarction

S-080**Oral kontraseptif kullanımı seyrinde gelişen ST segment elevasyonlu miyokard infarktüsünde hastaneçi klinik sonlanımlar**

Can Yücel Karabay, Gonenc Kocabay, Vecih Oduncu, Arzu Kalayci, Ahmet Guler, Ayhan Erkol, Cetin Gecmen, Ozkan Candan, Ali Karagöz, İbrahim Akın İzgi, Ali Metin Esen, Cevat Kırma

Kartal Koşuyolu Yüksek İhtisas Eğitim ve Araştırma Hastanesi, İstanbul

Giriş-Amac: Oral Kontraseptifler (OKS) ile miyokard infarktüsü arasındaki ilişki tartışımalıdır. Yeni jenerasyon OKS'ler ($30 \mu\text{g}$ ethinil estradiol ve 3 mg drospirenone) düşük doz östrojen ve yeni kuşak progestinler içermektedir. Günümüzde drospirenone ile ilişkili kardiovasküler data bulunmamaktadır. Bizim amacımız; yeni jenerasyon OKS kullanmaktadır ve ST segment elevasyonlu miyokard infarktüsü (STEMI) geçip primer anjioplasti uygulanan hastalarda, kardiovasküler klinik sonlanımları araştırmaktır.

Yöntem: Çalışmaya, STEMI geçiren ve primer anjioplasti uygulanan 1851 hasta dahil edildi. Çalışma grubumuz 440 (23.8%) bayan hasta populasyonundan oluşmaktadır. Hastalar reprodüktif dönemde ≥ 50 yaşı ($n=339$) ve <50 yaşı ($n=101$) iki gruba ayrıldı. 50 yaş altı hastalarda OKS kullanımına göre; OKS pozitif ($n=12$) ve OKS negatif ($n=89$) olmak üzere iki gruba ayrıldı.

Bulgular: 50 yaş üstü hasta grubunda, diabetes mellitus ve hipertansiyon gibi komorbid durumlar belirgin olarak daha fazlaydı. OKS pozitif gurupta, OKS negatif gurubu göre aktif sigara içiciliği belirgin düzeyde fazlaydı ($p=0.007$). OKS pozitif ve negatif hasta grupları arasında, anjiografik trombus yükleri bakımından istatistiksel açıdan anlamlı fark bulunmaktadır (YIP klasifikasyonu ve TIMI trombus yükü için sırasıyla; $p=0.045$ and $p=0.029$). Final TIMI 3 akımı ve işlem sonrası komplek ST rezolusyonu OKS pozitif hasta gurubunda belirgin olarak daha düşüktü (sırasıyla; $p=0.019$, $p=0.002$). Multivariate logistic regresyon analizinde; OKS kullanımının, high grade trombus yükü için bağımsız prediktör olduğu saptandı (OR 5.13, 95% CI 1.07-24.60, $p=0.04$).

Tartışma-Sonuç: Bu çalışma OKS kullanımını seyrinde STEMI gelişen hastaların klinik sonlanımlarını arastıran ilk çalışmadır. OKS kullanımını seyrinde gelişen STEMI'de; anjiografik artmış trombus yükü, artan no-reflow oranları ve azalmış komplek ST rezolusyonu olduğunu tespit ettim. Ayrıca OKS kullanımının, high grade trombus yükü için bağımsız prediktör olduğunu saptadık.

S-081**Sıyrulan stentin arter-arter düğüm tekniği ile çıkarılması**

Uyar Çağdaş Yüksel¹, Atilla İlyisoy¹, Turgay Çelik¹, Emre Yalçınkaya¹, Murat Çelik², Barış Bugan³, Serdar Firtina⁴, Yalçın Gökoğlan⁴, Erkan Yıldırım¹, Suat Görmel¹

¹GATA Ankara Kardiyoloji Anabilim Dalı, Ankara

²Van Askeri Hastanesi, Kardiyoloji Bölümü, Van

³Malatya Asker Hastanesi, Kardiyoloji Bölümü, Malatya

⁴Erzincan Asker Hastanesi, Kardiyoloji Bölümü, Erzincan

Amaç: Girişimsel kardiyolojide, koroner stent yerleştirilmesi sırasında yer değiştirmesi veya embolizasyonu nadir, ancak ciddi bir komplikasyondur. Özellikle düzensiz sınırlı, kalsifievi, kıvrımlı koronerler veya daha yerleştirilmesinden güçlendirme beklenen durumlar stent sıyrılması için risk oluşturmaktadır. Bu vakamızda; balon üzerinden sıyrulan stentin aort kökünden arter-arter düğüm tekniği ile çıkarılmıştır.

Gereç-Yöntem: Miyokard Perfüzyon Sintigrafisi sonucu inferior duvarda iskemi saptanan 68 yaşındaki erkek hastanın yapılan koroner anjiografisinde, RCA sol ventrikül dalı hizasındaki ciddi lezyona direkt stent implantasyonuna karar verildi. Hastanın sağ koroner arterine kılavuz kateter (Judkins 4R) ile oturuldu. Kılavuz tel kateter içinde lezyon distaline kadar yerleştirildi. Koroner ostiyumundaki yoğun kalsifik olusuneden dolayı sağ koroner arter içine stent yerleştirilemedi. Stenti yerleştirmek için manevralar yapılmıştır. Kılavuz kateterin koroner ostiyumundan atarak aort köküne arter-arter düğüm tekniği izlendi. Kateter sağ koroner arter ostiyumuna tekrar yerleştirilmek için manevralar yapılmıştır. Stentin balonundan sıyrıldığı, stentin kılavuz tel üzerinde kaldığı ve kılavuz telin aort içine düşüğü izlendi. Kılavuz tel üzerinde serbest duran açılmış stentin hareket ettiği gözlemden sonra kılavuz telin sabit tutulması kararlaştırıldı. Aort konkordan serbest şekilde duran kılavuz tel sabitlemek ve stentin telden çekilmemesi engellemek için aort femoral arterden sağ Judkins kılavuz kateter yardımıyla aort köküne snare yerleştirildi. Aort konkordan kılavuz tel ucu bırakınca kılavuz kateterin aort köküne sıkıştırılmıştır. Yakalanan serbest uç aort femoral arterden gönderilen kateter içine çekildi ve arter-arter düğüm oluşturulurarak stent kapılı bir sisteme hapsedildi. Kılavuz tel üzerindeki düşük profilli bir balon (1.5×20 mm) gönderildi. Gonderilen balon stent ile temas edince steni kılavuz tel üzerinde yerleştirildi ve diğer kateter içinde snare tarafından oluşturulan düğüm takıldı. İlerlemesi için zorlanan balon düzüme takılan stentin içine girdi ve yerleştirilmeye devam etti. Stentin distalinde yerleyen balon 6 atm basınç ile sıkıştırıldı ve oluşturulan halka üzerinden geri çekilmeye başlandı.

Sonuç: Balon geri çekilişken balona takılan sten yavaş bir şekilde kateter içine çekildi ve güvenli bir şekilde çıktı. Sıyrulan stent çıkartıldığında sonra lezyona aynı marka, çap ve boyda stent implantasyon işlemine devam edildi. Stentin distalinde yerleyen balon 6 atm basınç ile sıkıştırıldı ve stent başarılı bir şekilde implante edildi.

Tartışma: Pertutan koroner girişimler öncesi koroner pasajını, stentin yerleştirilmesi için uygun hale getirilmesi stentin sıyrılma riskini azaltmaktadır. Snare sistemleri ve bu sistemler kullanılarak oluşturulan arter-arter düğüm tekniği, stentin sıyrıldığı vakalarda stentin sıkartulmasında etkili ve güvenli bir metod olarak kullanılabilir.

S-080**Effects of oral contraceptive usage on in-hospital mortality in patients undergoing primary percutaneous coronary intervention**

Can Yücel Karabay, Gonenc Kocabay, Vecih Oduncu, Arzu Kalayci, Ahmet Guler, Ayhan Erkol, Cetin Gecmen, Ozkan Candan, Ali Karagöz, İbrahim Akın İzgi, Ali Metin Esen, Cevat Kırma

Department of Cardiology, Kartal Koşuyolu Yüksek İhtisas Training and Research Hospital, İstanbul

S-081**Retrieval of embolized stent via an arterial-arterial loop**

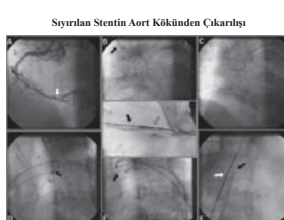
Uyar Çağdaş Yüksel¹, Atilla İlyisoy¹, Turgay Çelik¹, Emre Yalçınkaya¹, Murat Çelik², Barış Bugan³, Serdar Firtina⁴, Yalçın Gökoğlan⁴, Erkan Yıldırım¹, Suat Görmel¹

¹Department of Cardiology, GATA Ankara, Ankara

²Department of Cardiology, Van Military Hospital, Van

³Department of Cardiology, Malatya Military Hospital, Malatya

⁴Department of Cardiology, Erzincan Military Hospital, Erzincan



Sekiller: (Kırmızı oklar stent, siyah oklar balon işaret etmektedir); Koroner anjiografi, Distal RCA'da stent takılması planlanan hedef lezyonu (Beyaz ok) göstermektedir (A). Kılavuz tel üzerindeki serbest duran açılmış stentin hareket ettiği gözlemden sonra, kılavuzla sıkıştırılmış sıyrılmış stentin geri alınması dememesi (C); Steni sindirim distale yerleştirilen düşük profilli balon (D); Düşük basınç ile sıkıştırılmış balon yardımıyla sıkıştırılan stentin kılavuz kateter içine çekilişi (E,F); Snare (Beyaz ok) (F); Sıyrılmış stenin başları bir şekilde çıkarılmış, strat yapısı bozulmuş stent (G).

Elektif perkütan koroner girişim uygulanan hastalarda yüksek doz cilostazol ve rosuvastatin tedavisinin miyokardiyal hasara etkisi (PREVENT çalışması)

Nadir Emlek, Hasan Arı, Selvi Coşar, Cihan Aydin, Kübra Doğanay, Alper Karakuş, İsmet Zengin, Tahsin Bozat, Mehmet Melek

Bursa Yüksek İhtisas Eğitim ve Araştırma Hastanesi, Kardiyoloji Bölümü, Bursa

Giriş: Perkütan Koroner Girişim (PKG) sırasında uygulanan statin tedavisinin periprosedüral iskeminin engellenmesinde etkili olduğu gösterilmiştir. Antitrombotik ve antiproliferatif özelliklerini olan cilostazolin statin tedavisi ile kombinasyonun endotelial Nitrik Oksit (eNO) sentezi üzerine sinerjistik etki gösterdiği saptanmıştır. Bu sinerjistik etki ile statin tedavisinin pleiotropik etkileri artmaktadır.

Amaç: Elektif PKG öncesi uygulanan cilostazol ve statin kombinasyonunun periprosedüral iskemi üzerine etkisinin değerlendirilmesi.

Metod: Çalışma kriterlerimize uyan ve elektif PKG amaciyla klinikimize yatarlan 172 hasta randomisasyonla 2 gruba ayrıldı. Aspirin tedavisi alanında hastalarla 600 mg clopidogrel yüklendi. İşlemden yaklaşık 2 saat önce birinci gruba 200 mg cilostazol ve 40 mg rosuvastatin ikinci gruba ise sadec 40 mg rosuvastatin tedavisi uygulandı. Her iki grubun işlem ile ilgili özelliği, SYNTAX skoru, demografik özelliklerini kaydedildi. hs-CRP değerleri kaydedildi. Hastaların işlem öncesi statin tedavisi altında olup olmadıkları değerlendirildi. Miyokardiyal iskeminin değerlendirilmesi amacıyla işlem öncesi, işlemden 6 saat, 12 saat ve 48 saat sonra Troponin I (Tn I) ve CK-MB değerleri bakıldı. Birinci ayda majör kardiyak olaylar açısından hastalar tekrar değerlendirildi. Kanama komplikasyonları TIMI kriterlerine göre değerlendirildi.

Bulgular: Birinci gruptaki 86 hasta ile 2. gruptaki 86 hastanın başlangıç demografik, işlem ve biyokimyasal özelliklerini açısından anlamlı bir fark gözlemedi. Miyokardiyal iskemi açısından yapılan değerlendirmede işlem öncesi ve işlem sonrası takip Tn I ve CK-MB değerleri her iki grupta da benzer bulundu (tablo 1). Birinci aydaki istenmeyen olaylar ve kanama komplikasyonları açısından da fark yoktu (tablo 1). İşlem öncesi statin tedavisi altında olan ve olmayan hastalar karşılaştırıldığında; işlem öncesi statin tedavisi altında olmayan hasta grubunda cilostazol ve rosuvastatin kombinasyonun periprosedüral miyokardiyal iskemi azalttığı saptandı (tablo 2).

Sonuç: Elektif PKG işlemi öncesi uygulanan cilostazol ve rosuvastatin kombinasyonu işlem öncesi statin tedavisi almayan hastalarda tek başına rosuvastatin tedavisine göre periprosedüral iskemi azaltmaktadır.

Genel

S-083

Deneysel kontrast ilişkili nefropatinin önlenmesinde tadalafilın etkinliği

Köksal Ceyhan, Kerem Özbeğ, Hasan Kadi, Fatih Altunkaş, Fatih Koç, Halil İbrahim Damar, Ataç Çelik, Orhan Önalan

Gaziosmanpaşa Üniversitesi Tip Fakültesi, Kardiyoloji Anabilim Dalı, Tokat

Amaç: Kontrast madde kullanımına bağlı olarak ortaya çıkan akut böbrek yetersizliği tablosu kontrast ilişkili nefropati (KİN) olarak bilinmektedir. KİN hastanede yatan hastalar içinde akut böbrek hasarının en sık nedenlerinden birisidir. Hastaların yaklaşık yarısında KİN, kardiyak tanısal veya girişimsel işlemler sonrasında meydana gelmektedir. Deneysel KİN modellerinde nitrik oksitin (NO) koruyucu etkisi açıkça gösterilmiştir. Nitrik oksit'e bir çok etkisine cGMP aracılık eder. Fosfodiesteraz enzim inhibitörleri cGMP düzeylerini artırarak bu moleküllerin aracılık ettiği etkileri potansiyelize ederler. Tadalafil oral olarak kullanılan uzun etkili ve bilinen en güçlü fosfodiesteraz-5 (PD-5) enzim inhibitördür.

KİN patogenezinde NO/cGMPaksi üzerinden gerçekleşen etkilerin koruyucu rolü olması nedeniyle, NO düzeylerini artıran ilaçların KİN gelişim riskini düşürmesi beklenir. Çalışmamız "oral Tadalafil KİN riskini azaltır" hipotezini test etmeyi amaçlamaktadır.

Yöntem: Çalışma kontrol grubunda 8, Tadalafil+Kontrast grubunda 8 ve Kontrast grubunda 8 olmak üzere toplam 24 adet ortalaması 158,88±10,49 gr ağırlığında wistar-albino cinsi dişi sıçan ile yapıldı. Sıçanlar 48 saat dehidratasyonla bırakıldı. Kontrast ve Tadalafil+Kontrast gruppalarındaki sıçanlara kuyruk veninden insülin enjekktörü ile yüksek omzolaritel bir radyokontrast madde olan meglumine/sodium diatrizatoze 6 ml/kg dozunda verildi. Tadalafil+Kontrast grubundaki sıçanlara kontrast verildikten hemen sonra gavay yöntemi ile 10 mg/kg dozdonda tadalafil çözeltisi verildi. Kontrol ve Kontrast grubuna tedavi verilmemi. Deney hayvanları işlem sonrası 48 saat sınırsız su ve yem ile beslendiğinden sonra anestezia altında kan ve doku örnekleri alındı.

Bulgular: Her üç grubun başlangıç ağırlıkları ve dehidratasyon sonrası ağırlıkları benzerdi (p değerleri sırasıyla 0,96 ve 0,38). Serum statin C (SC) düzeyi Kontrast grubunda, Kontrol ve Kontrast+Tadalafil grubunda göre belirgin olarak daha yükseltti (p değerleri sırasıyla 0,002 ve 0,003). BUN düzeyleri de Kontrast grubunda Kontrol ve Kontrast+Tadalafil grubunda göre anlamlı olarak daha yüksek bulundu (p değerleri sırasıyla <0,001 ve <0,001). Serum kreatinin (sCr) düzeyi Kontrast grubunda Kontrol grubu ve Kontrast+Tadalafil grubuna göre anlamlı olarak daha yükseltti (p değerleri sırasıyla 0,001 ve 0,003). Kontrast+Tadalafil ile Kontrol grupları arasında SC, sCr ve Doku MDA düzeyleri bakımından anlamlı bir fark saptanmadı.

Sonuç: Çalışmamızda tadalafilın kontrast nefrotoksitesine karşı koruyucu etkisi yeni akut böbrek hasarı belirtelarından olan sstatin C aracılığı ile gösterildi. Erektil disfonksiyon ve pulmoner arteriel hipertansiyon tedavisi kapsamında tadalafil, cGMP üzerinden NO artırarak anti-oksidan ve vazodilatator etkileri aracılığı kontrast ilişkili nefropati gelişimini önleyebilir.

The effect of high dose cilostazol and rosuvastatin on myocardial damage in patients with elective percutaneous coronary intervention" (PREVENT trial)

Nadir Emlek, Hasan Arı, Selvi Coşar, Cihan Aydin, Kübra Doğanay, Alper Karakuş, İsmet Zengin, Tahsin Bozat, Mehmet Melek

Department of Cardiology, Bursa Yüksek İhtisas Training and Research Hospital, Bursa

Tablo. Gruplar Arası Miyokardiyal Enzimlerin Değerlendirilmesi.

	Grup 1, N=86	Grup 2, N=86	P değeri
Bazal hs-CRP (mg/L)	9.89±1.12	10.93±1.61	0.54
İşlem sonrası hs-CRP	15.16±1.63	15.21±1.49	0.56
Bazal Tn I (ng/ml)	0.023±0.003	0.019±0.004	0.052
İşlem sonrası 6. saat Tn I	0.10±0.02	0.12±0.02	0.41
İşlem sonrası 12. saat Tn I	0.25±0.04	0.36±0.08	0.48
İşlem sonrası 48. saat Tn I	0.25±0.05	0.42±0.09	0.84
Bazal CK-MB (U/L)	16.32±0.78	21.84±3.83	0.77
İşlem sonrası 6. saat CK-MB	14.63±0.76	17.79±2.55	0.97
İşlem sonrası 12. saat CK-MB	16.01±0.79	20.04±2.75	0.71
İşlem sonrası 48. saat CK-MB	13.79±0.85	17.79±2.75	0.46
1. ay MACE n (%)	1 (1.2)	1 (1.2)	1
Major Kanama n (%)	1 (1.2)	1 (1.2)	1
Minor Kanama n (%)	2 (2.3)	1 (1.2)	0.50

MACE: Major adverse cardiac events.

Tablo. İşlem Öncesi Statin Tedavisi Altında Olmayan Hastaların Miyokardiyal Enzimlerin Değerlendirilmesi.

	N=53	N=50	P değeri
Cilostazol + Rosuvastatin	9.60±1.28	11.66±2.25	0.42
İşlem sonrası hs-CRP	15.21±2.19	15.69±2.24	0.87
Bazal Tn I (ng/ml)	0.022±0.004	0.021±0.007	0.98
İşlem sonrası 6. saat Tn I	0.088±0.017	0.16±0.034	0.04
İşlem sonrası 12. saat Tn I	0.20±0.044	0.32±0.044	0.03
İşlem sonrası 48. saat Tn I	0.23±0.053	0.55±0.14	0.03
Bazal CK-MB (U/L)	16.92±1.11	20.54±1.87	0.09
İşlem sonrası 6. saat CK-MB	14.79±1.04	17.14±1.45	0.19
İşlem sonrası 12. saat CK-MB	16.66±1.03	19.54±1.68	0.14
İşlem sonrası 48. saat CK-MB	14.39±1.14	17.14±1.68	0.17

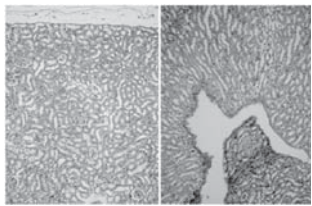
General

S-083

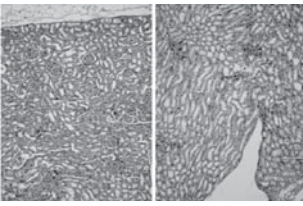
Efficacy of tadalafil in the prevention of experimental contrast induced nephropathy

Köksal Ceyhan, Kerem Özbeğ, Hasan Kadi, Fatih Altunkaş, Fatih Koç, Halil İbrahim Damar, Ataç Çelik, Orhan Önalan

Department of Cardiology, Gaziosmanpaşa University Faculty of Medicine, Tokat



Resim 1. Kontrast madde verilen sincanların böbrek dokusun korteks ve medulla görüntüsü



Resim 2. Kontrast sonrası tadalafil verilen guruba ait sincanların böbrek dokusunun korteks ve medulla görüntüsü

Çalışma Grupları	Çalışma Grupları	Çalışma Grupları	Çalışma Grupları	p değeri	p değeri	p değeri
				K-C	K-T	C-T
Başlangıç ağırlık	158,4±15,2	159,7±6,7	158,5±9,4	AD*	AD*	AD*
Son ağırlık	146,5±7,3	141,2±11,7	147,6±9,2	AD*	AD*	AD*
cystC	1,60±0,29	2,54±0,68	1,61±0,29	0,02*	AD*	0,03*
BUN	18,1±1,8	25,9±2,4	21,1±1	<0,001*	0,01*	<0,001*
Cre	0,27±0,04	0,46±0,09	0,32±0,03	0,001*	AD%	0,004%
MDAd	4,23±0,75	6,87±1,07	4,98±1,02	<0,001*	AD*	0,03*
MDA%	2,04±0,12	2,61±0,19	2,29±0,24	<0,001*	AD*	0,01*
Na	138,1±1,1	141,1±2,4	140,1±1,2	0,007*	AD*	AD*
K	4,97±0,85	5,94±0,77	4,98±0,61	AD*	AD*	AD*
Cl	97,8±1,3	99,3±1,6	99,9±0,7	AD%	0,003*	AD%

Gruplar	Kontrol	Kontrast	Kontrast+Tadalafil	P değeri
Başlangıç ağırlık	159,75 ±6,36	158,38±15,21	158,50±9,42	0,96
Dehidratasyon sonrası ağırlık	146,50 ±7,31	141,25±11,71	147,62±9,19	0,38

Girişimsel kardiyoloji

S-084

Orta-yüksek derece böbrek fonksiyon bozukluğu bulunan hastalarda kontrast madde nefropatisini ölemede N-asetilsistein etkisinin sistatin C ile değerlendirilmesi

Mehmet Ertürk, Gülsah Kurtuluş, Ertan Akbay, İbrahim Faruk Aktürk, Nilgün Işıkçaşan, Özgür Akgül, Mehmet Gül, Hamdi Püştüroğlu, Aydın Yıldırım, Nevzat Uslu

İstanbul Mehmet Akif Ersoy Eğitim Araştırma Hastanesi, Kardiyoloji Kliniği, İstanbul

Amaç: Kontrastlı induklediği nefropati (KIN) hem hastanede yatan hem de poliklinik hastalarında akut böbrek yetersizliğinin giderek artan sebebidir. Mortalite, morbidite, hastanedeki kalış süresi ve maliyet artışı ile belirgin ilişkilidir. Kontrast maddenin etkilerini geri çevirmek için çeşitli stratejiler denememiştir. Günümüzde kadar N-asetilsistein (NAS) birçok çalışmada kullanılmış ve çeşitli sonuçlar elde edilmiştir. Bu çalışmaların sebebi kullanılan tedavi protokoller, NAC dozları, veriliş yolları ve KIN tanısının kreatindeki artışa görünüşünden kaynaklanıyor olabilir. Oysaki NAC GFR'yi düzeltmeden kreatin kinaz aktivitesini ve kreatinin tubuler sekresyonunu artırarak serum kreatin seviyesini azaltıyor olabilir. Fakat kreatinin göre kanda 24-48 saat daha erken yükselen yaş, cinsiyet, irk, vucut kütlesi, hidrasyon ve tubuler sekresyonundan bağımsız bir belirteç olan sistatin C düzeyini GFR'yi değiştirmeden etkileyemez. Çalışmamızda elektif arterial girişim planlanan orta-yüksek derecede böbrek fonksiyon bozukluğuna sahip hastalarda KIN gelişimini önlemede IV veya Oral NAS tedavisinin etkisini sistatin C ile değerlendirilmeyi amaçladık.

Metod: Çalışmamızda MDRD formülünden göre eGFR değeri <60 ml/dk/1,73 m² olan ve elektif intra-arteryal girişim planlanan toplam 307 hasta alındı. Hastalar üç gruba randomize edildi. Grup 1; işlemenden 6-12 saat önce ve sonra olmak üzere 1 ml/kg/saatten IV %0,9 izotonik tedavisi, grup 2; salın tedavisine ek olarak işlemenden 24 saat önce başlangıç ve işlenmeden sonra 48 saat devam edilen içindeki ilk kez 1200 mg NAS (toplamlı doz 7200 mg), grup 3; salın tedavisine ek olarak işlemenden önce 1 saatte gidecek 2400 mg ve işlenmeden sonra 4-6 saatte gidecek şekilde 4800 mg IV NAS (toplamlı doz: 7200 mg) verildi. Sistatin C tedavisi öncesi, işlemenden 4, 24 ve 48 saat sonra ölçülü. İlk 48 saat içinde sistatin C değerinin bazalı göre 0,5 mg/dl ve/veya %25 artışına göre KIN tanısı kondu.

Bulgular: Sistolik kan basincı hariç tüm grupların demografik özelliklerinde arası farklı yoktu (Tablo 1). KIN tanısı grup 1 de %6,9, grup 2 de %6,1 ve grup üçte %10,9 idi ve gruplar arasında istatistiksel olarak anlamlı fark yoktu ($p=0,412$).

Sonuç: Sistatin C temelinde IV veya oral NAS böbrek koruyucu etkinliği değerlendirildiğinde hidrasyon tedavisi üstünlüğü saptanamamıştır.

Interventional cardiology

S-084

Evaluation of N-acetylcysteine effect on prevention of contrast nephropathy in patients with moderate to high degree renal dysfunction by cystatin C

Mehmet Ertürk, Gülsah Kurtuluş, Ertan Akbay, İbrahim Faruk Aktürk, Nilgün Işıkçaşan, Özgür Akgül, Mehmet Gül, Hamdi Püştüroğlu, Aydın Yıldırım, Nevzat Uslu

Department of Cardiology, İstanbul Mehmet Akif Ersoy Training and Research Hospital, İstanbul

Demografik veriler	grup 1(n=103)	grup 2 (n=102)	grup 3 (n=102)	p değeri
parametreler				
Yaş(yıl)	67±8	65±8	66±9	.102
Sistolik tansiyon (mmHg)	138±16	132±16	136±16	.037*
Oystalistik tansiyon (mmHg)	77±9	75±10	78±9	.095
ÜV EF (%)	53±9	52±11	55±10	.149
Hct (%)	37±5	39±6	38±5	.073
Glikemi (mg/dl)	135±68	134±62	134±56	.993
VKI (kg/m ²)	29±5	29±5	28±4	.253
eGFR (ml/u/dk/1,73 m ²)	44±10	46±9	45±9	.395
Kreatinin(mg/dl)	1,52±0,47	1,46±0,36	1,49±0,39	.498
Mehran skoru	8±3	8±3	8±3	.601
Kontrast miktarı (ml)	127±66	127±89	122±67	.864
Sistatin C (ng/dl)	1,80±0,48	1,67±0,41	1,78±0,46	.109
Etki, n (%)	65 (63,1)	64 (62,7)	64 (64,7)	.953
Hiperantrenosyon (%)	87 (84,5)	78 (76,5)	90 (88,2)	.073
Diyabet, n(%)	54 (52,4)	50 (49)	50 (49)	.662
Kalp yetersizliği,n (%)	5 (4,9)	11 (10,8)	9 (8,8)	.286
Periferik arter hastalığı,n (%)	16 (15,5)	11 (10,8)	19 (18,6)	.287
Koroner arter hastalığı,n (%)	47 (45,6)	43 (42,2)	47 (46,1)	.827
Sigara,n (%)	51 (49,5)	48 (47,1)	41 (40,2)	.542
Kullandığı ilaçlar				
ACE,n(%)	40 (38,8)	45 (44,1)	35 (34,3)	.356
AT II,n (%)	38 (36,9)	32 (31,4)	36 (35,4)	.694
Sistatin C (%)	38 (36,9)	40 (39,2)	35 (34,3)	.768
Diureтик,n (%)	33 (32)	38 (37,3)	40 (39,2)	.542

*LV EF: Sol ventrikül ejeksiyon fraksiyonu, Hct: Hematokrit, VKI: Vucut kitle indeksi, eGFR: MDRD formülünde göre hesaplanan kreatinin kreatin klorensi, ACE: Angiotensin dönüştürücü enzim inhibitörü, AT II: Angiotensin reseptör blokör, *; grup 1 ile 2 arasındaki fark anlamlı p=0,028*

Nötrofil jelatinöz ilişkili lipokalin ve sistatin C intra-arteryal girişim sonrası gelişen kontrast nefropatisini öngörebilir mi?

Mehmet Ertürk, Ertan Akbay, Gülsah Kurtuluş, Mehmet Gül, İbrahim Faruk Aktürk, Özgür Sürgüt, Fatih Uzun, Nilgün İşkasaçan, Aydin Yıldırım, Nevzat Uslu

İstanbul Mehmet Akif Ersoy Eğitim Araştırma Hastanesi, Kardiyoloji Kliniği, İstanbul

Amaç: Kontrastın indüklediği nefropati (KIN) hem hastanede yatan hem de poliklinik K

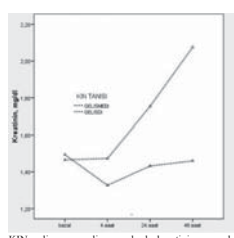
Amaç: Kontrastın induktiği hemoropati (KIN) hem hastanede yatan hem de poliklinikte akut böbrek yetersizliğinin giderek artan sebebidir. KIN tanısı kreatindeki artışa göre ke-

Kontrast maruziyeti sonrası kreatinin pikimin 3-5 gün sonra olduğu ve 1-3 hafta içinde iyileşme döndürülmelidir. Bu süre zarfında hastalar taburcu olmuş olmaktadır. Daha kreatin değerleri böbrek fonksiyon bozukluğu belli bir düzeye çekmedikçe ve/ veya %5 akut durumda yükselmeyecektir. Buda kreatinin akut böbrek yetersizliğinde zayıf bir artışına neden olur. (6) Renal fonksiyonları daha iyi değerlendirilebilirken içini daha hassa yükselen değerlere gerek vardır. Nüetrofil Jelatinaz ilişkili lipoproteinler (NGAL) ve sistemde normal kreatin değerlerine sahip hastalarla perkütan koroner girişim sonrası kreatinin daha erken yükseldiği, ayrıca Sistatin C'nin glomeruler filtrasyondaki küçük azalmalarının ve hassisas olarak tespit ettiğii görülmüştür. Çalışmamızda orta-yüksek derece böbrek bozukluğu bulunan kontrast maruziyeti sonrası KIN gelişen ve gelişmeyeen hastalarla sistatin C 'nın etkinliğini araştırmayı amaçladık.

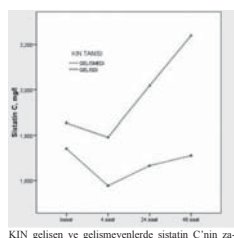
Metod: Çalışmamızda MDRD formülüne göre eGFR değeri <60 ml/dk/1.73 m²olan ve elektif intra-arteryal girişim planlanan yaş ortalaması 66 ± 8 olan toplam 307 hasta aldı. Röntgenopake medianının İV uygulamasından sonra diğer sebeplerin yoğunluğu 48 adet olurken bu işlemdeki bazal değerde göre serum kreatinin değerinde %25 veya daha fazla artış ya da kesin olarak 0,5 mg/dl veya daha fazla artış olması KIN olarak tanımlandı. Hastalar KIN gelişen ve gelişmeye devam etmekte olanlar 48 saat olmak üzere kreatinin, NGAL, sistatin C ölçümleri için kar örneklere aldı.

Bulgular: 307 hastanın 304'ü çalışmayı tamamladı. 32 hastada KIN gelişirken, 272 hastada KIN gelişmedi. Her iki grubun demografik ve klinik verileri table 1'de özetlenmiştir. KIN gelişen grubun basal kreatinin, sistatin C ve NGAL değerleri, gelişmeyen grupta karşılaştırıldığında sadece Sistatin C'nin basal değerinin yüksek olduğu ancak istatistiksel anlamlılık ifade etmediği görüldü (Tablo 2). Kreatinin KIN gelişen grupta 24. saatte yükselselme başlamaktır ve bu yükselsel 48. saatte artarak devam etmektedir (Şekil 1). Sistatin C KIN gelişenlerde, kreatinin gibi 24. saatte yükselsel başlamaktır ve bu yükselsel 48. saatte devam etmektedir (Şekil 2). NGAL ise 4. saatte istatistiksel anlamlılığı ulaşmasında yükselselme başlamaktır, 24. saatte maksimale ulaşıp 48. saatte düşüşe geçmektedir (Şekil 3) (Tablo 2).

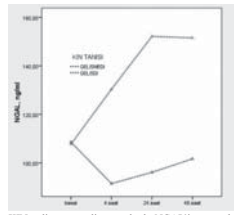
Sonuç: Sistatin C kontrast nefropatii gelişenlerde kreatinin benzer bir seyir izlenen, NGAL kreatinin göre daha erken pik yapmaktadır. Orta-yüksek derece böbrek fonksiyon bozukluğuna sahip hastalarla KIN tanısı NGAL ile kreatinin göre daha erken tespit edilebilir.



KIN gelişen ve gelişmeyenlerde kreatinin zamanlaşımı



KIN gelişen ve gelişmeyenlerde sistatin C'nin zamanla seyri



KIN gelişen ve gelişmeyenlerde NGAL'in zamanlaşımı

Interventional cardiology

S-085

Can neutrophil gelatinase-associated lipocalin (NGAL) and cystatin C predict contrast nephropathy after intraarterial interventions?

Mehmet Ertürk, Ertan Akbay, Gülsah Kurtuluş, Mehmet Gül, İbrahim Faruk Aktürk, Özgür Sürgüt, Fatih Uzun, Nilgün Işıksaçan, Aydın Yıldırım, Nevzat Uslu

Department of Cardiology, İstanbul Mehmet Akif Ersoy Training and Research Hospital, İstanbul

	KIN gelişen (n=32)	KIN gelişmeyen (n=272)	p değeri
yaş (yıl) erkek(%)	66±9 21 (65.6)	67±10 17(63.2)	.383
Vusut kitle indeksi (kg/m ²)	27.44±4.23	28.72±4.64	.137
Sistolik kan basıncı (mmHg)	135.61±8.14	153.15±15.99	.902
Diyastolik kan basıncı (mmHg)	77.50±8.50	76.18±8.64	.461
Sigara (pmeyen;n %)	17(53.1)	148(54.4)	.908
Diyabet,n (%)	13 (40.6)	139 (51.1)	.262
Hiperantrenin,n (%)	27 (84.4)	227 (83.5)	.894
Periferik arter hastalığı, n (%)	10 (31.3)	35 (12.9)	.010
Koroner arter hastalığı, n (%)	18 (56.3)	116(42.6)	.143
Kalp yetkililik,n (%)	2(6.3)	22(8.1)	.525
Eyleksiyon fraksiyonu,n (%)	56.59±7.62	52.88±10.47	.016
Hct, %	37.42±4.40	37.91±4.50	.625
Ajik gakerlik (mg/dl)	122.99±45.74	133.44±49.10	.335
Hbs-C reaktif protein	5.05±3.51	5.25±3.67	.767
Kontrast miktarı (ml)	163.28±95.61	119.61±69.85	.014
ACE inhibitörleri,n (%)	11(34.4)	108(39.7)	.559
AT II receptor blokörleri,n (%)	13(40.6)	93 (34.2)	.470
Düretik,n (%)	8(25)	19(27.35)	.164
Statin,n (%)	11(34.4)	101(37.1)	.760
Mehran risk skoru	8.47±3.65	7.76±3.25	.305

	KIN GELİŞTİ (n=32)	KIN GELİŞMEDİ (n=272)	p değeri
Kreatin (mg/dl)			
bazal	1.47±0.78	1.49±0.40	.320
4.saat	1.47±0.53	1.33±0.41	.042
24.saat	1.75±0.63	1.43±0.42	<.001
48.saat	2.08±0.85	1.46±0.43	<.001
p değeri	<.001	.001	
Sistatin C (ng/ml)			
bazal	1.85±0.45	1.74±0.46	.155
4.saat	1.79±0.41	1.57±0.39	.001
24.saat	2.02±0.48	1.67±0.43	<.001
48.saat	2.24±0.64	1.71±0.46	<.001
p değeri	<.001	<.001	
NGAL (ng/ml)			
bazal	107.71±55.38	108.54±105.66	.481
4.saat	130.39±160.94	91.43±70.96	.002
24.saat	152.19±127.63	98.06±77.55	.006
48.saat	151.58±99.42	101.65±87.03	<.001
p değeri	<.001	.001	
eGFR* (ml/(dk/1.73 m ²))			
bazal	46.65±9.97	44.81±9.18	.177
4.saat	47.53±12.22	52.52±11.40	.025
24.saat	39.36±12.94	48.20±12.72	<.001
48.saat	39.36±12.94	48.20±12.72	<.001
p değeri	<.001	.001	

S-086**Femoral psödoanevrizma tedavisinde alternatif bir noninvazif tedavi yöntemi olarak stetoskop eşliğinde kompresyon**

Ahmet Korkmaz¹, Serkan Duyuler², Süleyman Kalayci², Pınar Türker², Abdulkadir Yıldız², Abdullah Tunçez³, Ahmet Temizhan²

¹Çankırı Devlet Hastanesi, Kardiyoloji Bölümü, Çankırı

²Ankara Türkiye Yüksek İhtisas Hastanesi, Kardiyoloji Bölümü, Ankara

³Dicle Üniversitesi Tıp Fakültesi Kardiyoloji Anabilim Dalı, Diyarbakır

⁴Konya Numune Hastanesi, Kardiyoloji Bölümü, Konya

Amaç: Femoral psödoanevrizmalar vasküler girişimlerin bir komplikasyonu olarak oluşabilemektedir. Günümüzde psödoanevrizmaların ilk tercih yöntemi olarak Doppler USG eşliğinde kompresyon tercih edilmektedir. Cerrahi onarım altın standart olarak düşünülebilir ancak ağır kardiyovasküler hastalığı bulunan hastalarda ek risk taşımaktadır. Böyle hastalarda daha az invazif tedavi seçenekleri mevcut ancak etkinlikleri konusundaki kanıtlar sınırlıdır. Mekanik kompresyon cihazları ile ortalama 33 dakikalık kompresyon sonrası başarı oranı %74'tür. Başarısız olunan hastalara belirli bir deneyim ve uzmanlık gerektiren USG kılavuzluğunda kompresyon uygulanmaktadır. Biz bu çalışmada stetoskopun aynı zamanda etkin bir tedavi aracı olarak kullanılabileceğini ortaya koymayı amaçladık.

Yöntem: Mart 2009-Aralık 2011 tarihleri arasında koroner anjiyografi yapılan ve sonrasında fizik muayene ve Doppler USG ile femoral psödoanevrizma tespit edilen toplam 29 hastayı prospектив olarak çalışmamızda dahil ettim. Klinik ve fizik muayene bulguları neticesinde psödoanevrizmadan şüphelenilen hastalarla tam Doppler USG ile doğrulandı. Girişim yerinin etrafını lokal anestezik madde enjeksiyonu (lidokain ya da prilocain) uygulandı ve sonrasında stetoskopun diafram kısmı ile tifürünün en şiddetli duyduluğu yer belirlendi ve bu bölgeye stetoskopun çan kısmını ile kompresyon seansları uygulandı. Her seans hastanın ve doktorun dinlemesine olanak verecek şekilde 15 dakikalık 2 kusm olmak üzere ortalama 30 dakikalık kompresyonlarından oluşmaktadır. Aradaki dinlenme periyodunda ve kompresyon seansından sonra girişim bölgesine sıkı bandaj uygulandı. Kompresyon seansları neticesinde hastalar tekrar stetoskopun diafram kısmı ile muayene edildi. Üfürüm devam eden hastalarda işlem 1-2 kez daha tekrarlandı. Üfürümün kaybolduğu hastalarda kontrol Doppler USG ile psödoanevrizmalar tekrar değerlendirildi.

Bulgular: Uyguladığımız bu yeni yöntem ile 29 hastanın 26'sında (%89) psödoanevrizmanın kapanıldığı tespit edildi. Ortalama uygulama süresi 36,2±8,5 dakika idi. Çalışmaya dahil edilen hastaların 16'sı (%55) erkek ve 13'ü (%45) kadındı. Ortalama yaşı 62 ±12,6 idi. Hastaların 9'u (%31) diabetik, 15'i (%51,7) hipertansif ve 15'i (%51,7) hiperlipidemiği. Ortalama psödoanevrizma boyutları 1,7x3,0 cm olarak izlendi. 1 (%3,1) hastada kronik böbrek hastalığı vardı. 23 (%79,3) hasta aseptik salıncık ası, 17 (%58,6) hasta klopidogrel almakla olup 16 (%55) hasta dual antiplatelet tedavi almaktadır.

Sonuç: Femoral psödoanevrizmaların ilk tercih tedavi yöntemi olarak Doppler USG eşliğinde kompresyon, güvenli ve ucuz bir yöntem olarak avantajlı görülmektedir. Bunun dışındaki noninvazif tedavi stratejileri maliyet-etkin olmadıkları, cihaz kullanımı gerektirdikleri ve zahmetli oldukları için pek tercih edilmemektedirler. Bu noktada alternatif bir tedavi yöntemi olarak stetoskop eşliğinde kompresyon kolay uygulanabilir, güvenli ve etkin bir yöntem olarak düşünülebilir.

S-087**Karotis stentleme işleminin kan basıncı üzerine olan etkisi**

Erkan Köklü, Şakir Arslan, Isa Öner Yüksel, Göksel Çağrıçı, Nermi Bayar, Akar Yılmaz, Zehra Erkal, Selçuk Küçükseymen

Antalya Eğitim ve Araştırma Hastanesi, Kardiyoloji Kliniği, Antalya

Giriş-Amaç: İnmeden primer ve sekonder korumada karotis arter stentlemenin (KAS) etkinliği gösterilmiştir. Ancak KAS işleminin kan basıncına etkisi bilinmemektedir. Amacımız KAS işleminin kan basıncı değerleri üzerine olan etkisini invaziv ve noninvaziv ölçüm teknikleri ile değerlendirmektir.

Yöntem: Nöroloji kliniğinde inme veya geçici iskemik atak nedeniyle tedavi edilen ve karotis Doppler ultrasonografide >50 darlık saptanan hastalar ile asemptomatik olup karotis Doppler ultrasonografisindeiddi karotis darlığı (>%70) saptanan, proksimal blokaj sistemi (Mo.Ma®) kullanımına uygun hastalar çalışmaya dahil edildi. Kliniğimizde Kasım 2011 ile Mayıs 2012 tarihleri arasında toplam 35 hastaya Mo.Ma® cihazı ile KAS işlemi uygulandı. Hastaların ortalama yaşı 68,9 (44-86) ve %77'si erkek idi. Koroner arter hastalığı hastaların % 92'sinde, diabetes mellitus %38'inde, hipertansiyon %81'inde mevcut idi. Hastaların %70'i semptomatiktir. İnvaziv kan basıncı ölçümleri proksimal blokaj sistemi yerleştirildikten, internal ve eksternal karotis arter balonları sıkıştırıldan sonra postdilatasyon sonrası postdilatasyon uygulandı. Bazi hastalara stent öncesi predilatasyon ihtiyacı oldu. Noninvaziv kan basıncı takipleri KAS işleminden 24 saat önce ve 24 saat sonra tansiyon holter cihazı kullanılarak yapıldı.

Bulgular: Proksimal blokaj sistemi kullanılarak yapılan KAS işlemi esnasında alınan kan basıncı ölçümlerinde, sistolik ve diyastolik kan basıncı değerlerinde işlem öncesi göre belirgin düşüş izlenmiştir. (İşlem öncesi ve sonrası invaziv sistolik kan basıncı ortalama değerleri sırasıyla 149,6 /116,2 mmHg, p<0,001. İşlem öncesi ve sonrası invaziv diyastolik kan basıncı ortalama değerleri sırasıyla 64,8/55,0 mmHg, p=0,036). Benzer şekilde noninvaziv ölçümlerle yapılan değerlendirmede de işlem sonrasında işlem öncesi göre hem sistolik hem de diyastolik kan basınclarında anamlı düşüş saptanmıştır. (İşlem öncesi ve sonrası noninvaziv sistolik kan basıncı ortalama değerleri sırasıyla 134,2/111,2 mmHg, p<0,001. İşlem öncesi ve sonrası noninvaziv diyastolik kan basıncı ortalama değerleri sırasıyla 72,8/60,5 mmHg, p<0,001).

Sonuç: Proksimal blokaj sistemi kullanılarak yapılan KAS işlemi sonrasında hastaların kan basıncı değerlerinde belirgin düşüş izlenmiştir. Bu düşüş işlem esnasında invaziv olarak, işlemden 24 saat sonra da noninvaziv olarak gözlemlenmemiştir. Kan basıncı değerlerindeki bu düşüşün iskemik inmenin önlenmesinde ek fayda sağlayabileceği kanısındayız.

S-086**An alternative noninvasive technique for treatment of femoral pseudoneurysms: stethoscope guided compression**

Ahmet Korkmaz¹, Serkan Duyuler², Süleyman Kalayci², Pınar Türker², Abdulkadir Yıldız², Abdullah Tunçez³, Ahmet Temizhan²

¹Department of Cardiology, Çankırı State Hospital, Çankırı

²Ankara Turkish Higher Specialization Training and Research Hospital, Division of Cardiology, Ankara

³Department of Cardiology, Dicle University Faculty Medical, Diyarbakır

⁴Department of Cardiology, Konya Numune Hospital, Konya

S-087**The impact of carotid stenting procedure on blood pressure**

Erkan Köklü, Şakir Arslan, Isa Öner Yüksel, Göksel Çağrıçı, Nermi Bayar, Akar Yılmaz, Zehra Erkal, Selçuk Küçükseymen

Department of Cardiology, Antalya Training and Research Hospital, Antalya

Akut inmede girişimsel tedavi, en zor olgumuz

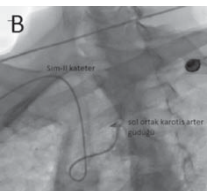
Hakan Güllü, Semih Giray

Başkent Üniversitesi Tip Fakültesi, Adana Araştırma ve Uygulama Merkezi, Adana

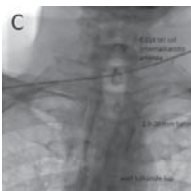
58 yaşında erkek hasta dörtbüçuk saatlik sağ hemipleji ve biliç kaybıyla getirildi. Kısa süre önce yapılan anjiyografide iläik arterler tam tikali idi. Sol orta serebral arter (OSA) okluzyonu tanısıyla anjiyografi suiteine alındı. Sağ brakial arterden girişim planlandı. Aortografide sol ortak karotis arterin (OKA) güdügü görülmeksizin tam tikali olduğu görüldü (Resim-1). Sim-II kateter ile sol OKA güdügü olabibeek, kateter ucunun saplanabildiği bir yer arandı. Kateter ucu tutundudunda anjiyografi yapıldı, opak tutan ve OKA ostiumu olabilecek bir nokta tespit edildi (Resim-2). Sim-II kateterden gönderilen 0,014 tel ile OKA lumenine girilmeye çalışıldı ve lezyon geçildi (Resim-3). Tel üzerinden Sim-II kateter içerisinde 2,0-20 mm balon ilerletildi ancak lezyon penetrere olmadı ve katteeri attırdı. Sim-II kateter çıkarıldı ve tel aort kökünde lüp yapılarak balonu taşıması amaçlandı. Balon ilerletildi, aort kökündeki lüp dolasılarak lezyon geçildi ve balon şişirildi (Resim-4). Tel yerinde bırakılarak balon çıkarıldı. Brakial sheath içerisinde telin yanından Sim-II kateter ilerletilerek sol OKA ostiumundan karotis bifurkasyonuna kadar ilerletildi. Kateter içinden 0,032 road runner sert tel eksternal karotis artere asıldı, kateter çıkarılarak, Road runner üzerinden 6F Envoy kateter karotis bifurkasyonuna kadar ilerletildi. Anjiyografide internal karotis arter ACA-MCA bifurkasyon öncesi tam tikalıydı. Envoy içerisinde, 2,7F mikrokateter ve içinde 0,014 tel okluzyonda geçildi, mikrokateter MCA ya bırakılarak, tel geri alındı. Mikrokateter içerisinde Preset trombektomi cihazı gönderildi ve mikrokateterin geri çekimlesiyle MCA da açıldı (Resim-5). 10 dakika bekledi, mikrokateter ile Preset üzerinde 15X2 mm trobus ile birlikte çıkarıldı. Anjiyografide ACA nın açıldığı MCA nın ise M2 segmente kadar açıldığı görüldü (Resim-6). Aynı işlem tekrarlandı ve Preset cihazı M3 te açıldı 10 dakika bekledi ve yine büyük bir trombus çıkarıldı (Resim-7). Anjiyografide ACA ve MCA nın tümüyle açıldığı görüldü (Resim-8). OKA ostiumunu 4,0-20 mm balon ile tekran PTCA yapılarak işlem sonlandırıldı. Brakial arter yoluyla yapılan akut inme girişimleri ve ortak karotis arterin osteal okluzyonu ile birlikte olan akut inme girişimi nadirdir.



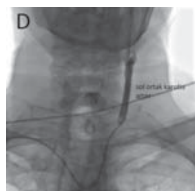
Resim 1. Aortografide sol ortak karotis arter hic görülmüyor



Resim 2. Kateter ucunda opak tutan sol ortak karotis arter güdügü



Resim 3. Sol ortak karotis arter ostiumuna balon yapılması



Resim 4. Balon sonrası sol ortak karotis arter görüntüsü



Resim 5. Internal karotis arterin T okluzyonu



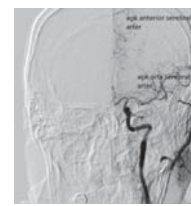
Resim 6. Sol orta serebral arterde mikrokateter ve trombektomi cihazı



Resim 7. Trombektomi sonrası açılmış sol anterior serebral arter görüntüsü



Resim 8. Çıkarılan trombusler ve trombektomi cihazı



Resim 9. Tam açılmış sol anterior serebral arter

A challenging case in interventional stroke therapy

Hakan Güllü, Semih Giray

Başkent University Faculty of Medicine, Adana Research and Application Center, Adana

S-089

Hipertansif hastalarda 10 yıllık kardiyovasküler olay oranını öngördürmede iki kardiyovasküler risk sınıflaması arasında cinsiyet farkı

Dilek Ural, Tayyar Akbulut, Umut Yenigül Çelikyurt, Tayfun Şahin, Ulaş Bildirici, Gülistan Kozdağ, Ertan Ural

Kocaeli Üniversitesi Tip Fakültesi, Kardiyoloji Anabilim Dalı, Kocaeli

S-089

Gender difference in two cardiovascular risk stratifications for predicting 10 years cardiovascular events in hypertensive patients

Dilek Ural, Tayyar Akbulut, Umut Yenigül Çelikyurt, Tayfun Şahin, Ulaş Bildirici, Gülistan Kozdağ, Ertan Ural

Kocaeli University, School of Medicine, Department of Cardiology

Objectives: Turkey is characterized by a higher cardiovascular morbidity and mortality compared to European populations. Especially Turkish women have been shown to have a particularly higher risk for cardiovascular events. The aim of this study was to compare the value of two global cardiovascular disease risk scores estimated by the Framingham risk score and SCORE in predicting 10 years cardiovascular events in a group of Turkish asymptomatic hypertensive men and women.

Patients and Methods: The study group consisted of 100 patients (37 male, 63 female, mean age 54±12 years) with uncomplicated essential hypertension. After clinical and laboratory examination, ten years absolute risk for cardiovascular disease was estimated using Framingham model and SCORE risk chart developed for high-risk countries. The study group was followed for 11+/-0.5 years. Cardiovascular events were defined as fatal and nonfatal death, myocardial infarction and stroke.

Results: According to Framingham risk stratification, 42% of the cases were in low, 37% in moderate and 21% in high risk groups. Cardiovascular events risk derived from SCORE chart was equal or higher than 5% in 33% of the cases. In women and men, concordance between scales to classify patients according to the same risk was 63% and 47% in those classified as low risk, 73% and 41% among those classified as high risk, respectively. Cardiovascular events occurred in 38% of females and 46% of males. Sensitivity, specificity, positive and negative predictivity of a high-risk Framingham score for predicting cardiovascular events in women and men were 21% vs. 29%, 82% vs. 80%, 45% vs. 56% and 70% vs. 55%, respectively. A cardiovascular disease risk equal or greater than 5% in SCORE model had 21% vs. 59% sensitivity, 85% vs. 40% specificity, 42% vs. 45% positive and 63% vs. 53% negative predictivity for cardiovascular events. In ROC curve analysis, SCORE model had a slightly higher area under curve for cardiovascular events compared to Framingham risk score but the difference was not statistically significant (AUC, 0.67 vs. 0.63).

Conclusion: Framingham and SCORE systems have a similar value to predict cardiovascular events in hypertensive Turkish men and women. However, both systems underestimated cardiovascular risk in both genders. Further investigation for global cardiovascular risk stratification is needed in Turkish patients.

S-090

Non Dipper hipertansiyonlu hastalarda kırmızı hücre dağılım genişliği ve inflamasyon

Fırat Özcan¹, Osman Turak¹, Akif Durak¹, Ahmet İsloleyen¹, Fatih Uçar¹, Zeynep Giniş², Fatma Uçar³, Fatma Nurcan Başar¹, Sinan Aydoğdu¹

¹Türkiye Yüksek İhtisas Eğitim ve Araştırma Hastanesi, Kardiyoloji Kliniği, Ankara

²Yıldırım Beyazıt Dışkapı Eğitim ve Araştırma Hastanesi, Ankara

³Etilik Yüksek İhtisas Eğitim ve Araştırma Hastanesi, Ankara

S-090

Red cell distribution width and inflammation in patients with non-dipper hypertension

Fırat Özcan¹, Osman Turak¹, Akif Durak¹, Ahmet İsloleyen¹, Fatih Uçar¹, Zeynep Giniş², Fatma Uçar³, Fatma Nurcan Başar¹, Sinan Aydoğdu¹

¹Department of Cardiology, Türkiye Yüksek İhtisas Training and Research Hospital, Ankara

²Yıldırım Beyazıt Dışkapı Training and Research Hospital, Ankara

³Etilik Yüksek İhtisas Training and Research Hospital, Ankara

Introduction: Red cell distribution width (RDW) is independently associated with morbidity and mortality in cardiovascular diseases. RDW is elevated in hypertensive patients compared with normotensives. Based on the nocturnal course, hypertension classified as dipper and non-dipper. Non-dipper hypertension is associated with higher inflammation and worse prognosis. We aimed to investigate whether RDW and high sensitive C-reactive protein (hsCRP) are elevated in non-dipper hypertensive patients compared to dippers.

Methods: The study included total 247 essential hypertensive patients. Twenty-Four-hour ambulatory blood pressure monitoring (ABPM) was performed for each patient. Thereafter patients were divided into the two groups on the basis of the results of the ABPM; 127 dipper hypertensives (63 females, mean age; 52±12) and 120 non-dipper hypertensives (66 females, mean age; 54±13). Complete blood count and biochemistry were measured by standard methods and hsCRP was assessed by using BN2 model nephelometer.

Results: Non-dippers had significantly higher RDW levels than dippers [14.6 (13.8-17.0) vs. 13.0(12.5-13.4), p<0.001, respectively]. RDW was negatively correlated with the percentage decline of systolic and diastolic BP from day to night ($r = -0.392$, $p < 0.001$ and $r = -0.294$, $p < 0.001$, respectively). Serum hsCRP levels were also significantly higher in the non-dippers ($p < 0.001$) and it was significantly positive correlated with RDW ($r = 0.403$, $p < 0.001$). In receiver-operating characteristic curve analysis, the optimal cut-off value of RDW to predict nondipping pattern was >13.9%, with 80% sensitivity and 75% specificity.

Conclusions: RDW is significantly increased in patients with non-dipper hypertension compared to the dipper hypertension. Inflammatory activity closely related with RDW in non-dipper hypertensives. RDW, as easy and quick measurable tool, can predict nondipping pattern in essential hypertension.

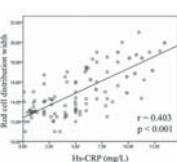


Fig. 1

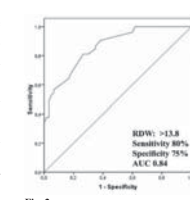


Fig. 2

Hipertansiyon

S-091

Hipertansiyonlu hastalarda EKG'de fQRS ile QT dispersiyonu arasındaki ilişki

Hasan Kadı¹, Mehmet Esen², Köksal Ceyhan¹, Birol Özkan³, Turgay Burucu¹, Murat Ayan², Fatih Altunkaş¹, Ataç Çelik¹, Fatih Koç¹, İbrahim Halil Damar¹, Orhan Önalan¹

¹Gaziosmanpaşa Üniversitesi Tip Fakültesi, Kardiyoloji Anabilim Dalı, Tokat

²Gaziosmanpaşa Üniversitesi Tip Fakültesi, Acil Tip Anabilim Dalı, Tokat

³Kartal Koşuyolu Yüksek İhtisas Eğitim ve Araştırma Hastanesi, Kardiyoloji Bölümü, İstanbul

Giriş: Hipertansiyonlu olan hastalar arımış olay sıklığı ve ani ölüm riski ile karşı karşıyadır. Hipertansiyonlu hastalarda ventriküler aritmiler miyokardiyal fibroz nedeniyle uniform miyokardiyal depolarizasyon ve re-enterıy nedeniyle olusur ve sol ventrikül kitleesi ile ilişkilidir. Miyokardiyal fibroz veya skar heterojen intraventriküler aktivasyona bağlı olarak QRS komplekslerinde fragmentasyona neden olur. EKG'de derivasyonlar arasında QT dispersiyonunu (QTD) varlığı ve derecesi alta yatan ventriküler repolarizasyon bozukluklarını gösterir ve aritmik olaylar için bir risk faktörür. Çalışmamızın amacı; hipertansiyonlu olan hastalarda EKG'deki fQRS ile QT dispersiyonuna arasındaki ilişkili araştırmaktır.

Yöntemler: Çalışma grubu merkezimizde koroner anjiyografi yapılan hastalar arasından ileriye dönük olarak seçildi. Hipertansiyonlu olup normal koroner anjiyografiye sahip olan hastalar çalışmaya alındı. Koroner arter hastalığı, kardiyomiyopati, diyetabet, orta derecede ve ciiddi kapsamındaki hastalığı, tipik dal bloğu ve inkomplet sağ dal bloğu, elektrolit bozukluğu olan ve antitarritmik ilaç kullanmış hastalar çalışmaya alınmadı. Hastalara koroner anjiyografiden 1 gün sonra 12 derivasyonlu EKG ve ekokardiografik inceleme yapılarak dijital ortamda kaydedildi. Ekokardiografik inceleme "American Society of Echocardiography" önerilerine göre yapıldı. Çalışmanın bitiminde kayıtlar çalışmadan haber olmayan iki deneyimli kardiyolog tarafından değerlendirildi. fQRS; major koroner arterin beslediği alanda ardılık iki derivasyonda ikinci bir R dalgasının varlığı, R ya da S dalğalarının çentiklenmesi veya fragmentasyonu olarak tanımlanır. QT dispersiyonu (QTD) en uzun QT aralığı ile en kısa QT aralığı arasındaki fark olarken tanımlanır. Hastalar EKG'de fQRS olan [fQRS (+) grup] ve olmayanlar [fQRS (-) grup] şeklinde grupperlendi. İstatistiksel analizler için hazır istatistik paket programı kullanıldı. Her iki gruptaki hastaların demografik ve klinik özellikler ve QTD değerleri yönünden birbirinden karşılaştırıldı. Sol ventrikül kitle indeksi ile QTD arasındaki ilişki Spearman korelasyon analizi ile araştırıldı.

Bulgular: Ocak 2011 ile Şubat 2012 tarihleri arasında koroner anjiyografi yapılan hastalar arasından çalışma ölçütlerine uygun 72 hasta çalışmaya alındı. Ortalama yaş (yıl) 53,2 idi ve hastaların 53'ü (% 73,6) kadın. Çalışma grubundaki 23 hastada (%31,9) EKG'de fQRS varken [fQRS (+) grup], 49 hastada yoktu [fQRS (-) grup]. fQRS (+) grupta QTD anamnesi olarak daha fazla bulundu ($p=0,005$). Korelasyon analizinde QTD ile sol ventrikül kitle indeksinde arasında pozitif yönde güçlü bir ilişki saptandı ($r=0,484$, $p<0,001$). Her iki gruptaki hastaların demografik ve klinik özellikleri ile QTD ölçümleri Tablo 1'de gösterilmiştir.

Sonuç: fQRS (+) gruptaki hastalarda QT dispersiyonunu fQRS (-) gruptaki hastalardan daha fazla bulduk. EKG'de fQRS olan hipertansif hastalardaki arımış QT dispersiyonunun miyokardiyal fibrozisle ilişkili olabileceği kanısına vardık.

S-092

Dipper ve non-dipper normotansif diyabetiklerde egzersize hipertansif yanıt

Zekeriya Küçükdurmaz¹, Yusuf Karavelioğlu², Hekim Karapınar¹, İbrahim Güll¹, Ahmet Yılmaz¹, Mahmut Akpek³, Mehmet Güngör Kaya¹

¹Cumhuriyet Üniversitesi Tip Fakültesi, Kardiyoloji Anabilim Dalı, Sivas

²Çorum Devlet Hastanesi, Kardiyoloji Anabilim Dalı, Çorum

³Erciyes Üniversitesi Tip Fakültesi, Kardiyoloji Anabilim Dalı, Kayseri

Hypertension

S-091

Relationship between fQRS on ECG and QT dispersion in patients with hypertension

Hasan Kadı¹, Mehmet Esen², Köksal Ceyhan¹, Birol Özkan³, Turgay Burucu¹, Murat Ayan², Fatih Altunkaş¹, Ataç Çelik¹, Fatih Koç¹, İbrahim Halil Damar¹, Orhan Önalan¹

¹Department of Cardiology, Gaziosmanpaşa University Faculty of Medicine, Tokat

²Department of Emergency Medicine, Gaziosmanpaşa University Faculty of Medicine, Tokat

³Department of Cardiology, Kartal Koşuyolu Yüksek Training and Research Hospital, İstanbul

S-092

Hypertensive response to exercise of dipper and non-dipper normotensive diabetics

Zekeriya Küçükdurmaz¹, Yusuf Karavelioğlu², Hekim Karapınar¹, İbrahim Güll¹, Ahmet Yılmaz¹, Mahmut Akpek³, Mehmet Güngör Kaya¹

¹Department of Cardiology, Cumhuriyet University, Medical School, Sivas

²Department of Cardiology, Çorum State Hospital, Çorum

³Department of Cardiology, Erciyes University, Medical School, Kayseri

Aim: Non-dipper blood pressure is an indicator for autonomic dysfunction, atherosclerotic events, congestive heart failure and other end-organ defects. Hypertensive response to exercise was determined as a predictor of development of unborn hypertension in subjects with normal BP at rest, as an indicator of endothelial dysfunction which has an important role in pathophysiology of cardiovascular diseases. Else exaggerated hypertensive response to exercise in diabetic patients is also another indicator for endothelial dysfunction. Increased frequency of HRE in diabetic patients was shown before. So we aimed to investigate any correlation among NDP and HRE in normotensive type 2 diabetic patients.

Methods: Consecutive type 2 diabetic patients without history of HT and with normal BP on ABPM were included into the study. We divided the patients into two groups depending on their blood pressures' dipper and non-dipper properties according to the ABPM results. (Group 1(dippers); Group 2 (non-dippers)). Data of 59 diabetic patients were analyzed. There were 22 patients (mean age 49.5±7 and 10 male) in Group 1 and 37 patients (mean age 53.1±10 and 14 male) in Group 2 according to the ABPM results.

Results: Daytime diastolic and mean blood pressures of dippers and night time systolic and mean blood pressures of non-dippers were significantly higher. 36 (61%) of the patients showed HRE. Hemodynamic data during exercise test were all similar. At multivariate linear regression analysis, office SBP and male sex were independently correlated with exercise peak SBP. Logistic regression analyses identified the office SBP and age as independent predictors of HRE.

Conclusion: This study revealed that hypertensive response to exercise do not differ between diabetic normotensive patients with dipper and non-dipper blood pressure properties. Un-difference among the groups may be caused by the similar degree of endothelial dysfunction of the diabetic patients. This may be revealed by performing flow-mediated dilatation (FMD) in further studies.

Hipertansiyon

S-093

Hipertansiyonu olan hastalarda EKG'de fQRS varlığı artmış sol ventrikül kitesi ile ilişkilidir

Hasan Kadı¹, Birol Özkan², Köksal Ceyhan¹, Murat Ayan³, Mehmet Esen³, Turgay Burucu¹, Ataç Çelik¹, Fatih Koç¹, Fatih Altunkaş¹, Orhan Önalan¹

¹Gaziosmanpaşa Üniversitesi Tip Fakültesi, Kardiyoloji Anabilim Dalı, Tokat

²Kartal Koşuyolu Yüksek İhtisas Eğitim ve Araştırma Hastanesi, Kardiyoloji Bölümü, İstanbul

³Gaziosmanpaşa Üniversitesi Tip Fakültesi, Acil Tip Anabilim Dalı, Tokat

Giriş-Amaç: Hipertansiyonda (HT) artmış sol ventrikül kitesi (LVM) esas olarak miyokardiyal fibroz ile ilişkilidir ve HT' u olan hastalarda miyokardiyal fibroz EKG'de fragmente QRS (fQRS) oluşumunu nedeni olabilir. Çalışmanın amacı; HT' u olan hastalarda EKG'deki fQRS ile LVM arasındaki ilişkiyi araştırmaktır.

Yöntemler: Çalışma grubu merkezimizde koroner anjiyografi yapılan hastalar arasından ileriye dönük olarak seçildi. Hipertansiyonlu olup normal koroner anjiyografide sahip olan hastalar çalışmaya alındı. Koroner arter hastalığı, kardiyomiyopati, diyabet, orta ve ciddi kapak hastalığı, tipik dal bloğu ve inkomplet dal bloğu olan hastalar çalışma almamadı. Hastalara koroner anjiyografiden 1 gün sonra 12 derivasyonlu EKG ve ekokardiyografik inceleme yapılarak dijital ortamda kaydedildi. Çalışmanın bitiminde kayıtlar çalısmadan haberini olmayan iki deneyimli kardiyolog tarafından değerlendirildi. fQRS; major koroner arterin beslediği alanda ardışık iki derivasyonda ikinci bir R dalgasının varlığı. R ya da S dalgasının centiklemesi veya fragmentasyonu olarak tanımlandı. Ekokardiyografik incelemeler "American Society of Echocardiography" önerileri doğrultusunda yapıldı. Sol ventrikül kitesi Devereux formülü ile hesaplandı. Sol ventrikül kitesi vücut yüzey alanına böltümerek sol ventrikül kitle indeksi (LVMI) hesaplandı. Rölatif duvar kalınlığı (RWT); 2X (arka duvar diastolik kalınlığı/sol ventrikül diastolik sonu çapı) formülüyle hesaplandı ve 0.42 ve üzerindeki RWT değerleri artmış olarak kabul edildi. Sol ventrikül kitesi ve RWT değerlerine göre 4 farklı sol ventrikül geometrisi belirlendi (normal, konsantrik remodeling, konsantrik hipertrofi ve eksentrik hipertrofi). Hastalar EKG'de fQRS olan [fQRS (+) grup] ve olmayanlar [fQRS (-) grup] şeklinde grupperlendi. İstatistiksel analizler için hazır istatistik paket programı kullanıldı.

Bulgular: Ocak 2011 ile Şubat 2012 tarihleri arasında koroner anjiyografi yapılan hastalar arasında çalışma ölçütlerini uygun 72 hasta çalışmaya alındı. Ortalama yaşı (yıl) 53,2 idi ve hastaların 53' ü (%73,6) kadıydı. Çalışma grubundaki 23 hasta (%31,9) EKG'de fQRS varken [fQRS (+) grup], 49 hasta yoktu [fQRS (-) grup]. fQRS (+) grupta LVMI anamlı olarak daha fazla idi ($p<0,001$). fQRS (+) grupta konsantrik hipertrofi ve eksentrik hipertrofi sıklığı anamlı olarak daha fazla iken fQRS (-) grupta normal sol ventrikül geometrisi ya da konsantrik remodeling sıklığı daha fazla bulundu ($p<0,001$). Her iki gruptaki hastaların demografik ve klinik özelliklerini Tablo 1'de, ekokardiyografik bulguları Tablo 2'de ve sol ventrikül geometri bulguları Tablo 3'de gösterilmiştir.

Sonuç: EKG'de fQRS olan hipertansif hastaların sol ventrikül kitle indeksini EKG'de fQRS olmayan hastalardan daha fazla buldu. Ek olarak EKG'de fQRS olan hastalar daha sıkılıkla konsantrik ve eksentrik hipertrofisi sahipken EKG'de fQRS olmayan hastalar çoğunlukla normal geometri ya da konsantrik remodelinge sahipti.

Her iki gruptaki hastaların demografik ve klinik özellikleri

Değişken	fQRS (-)	fQRS (+)	P
Yaş, yıl (ort±SS)	52,8±5,4	54,04±6,5	0,397
Cinsiyet, kadın, n (%)	39 (79,6)	14 (60,9)	0,095
Sigara, n (%)	5 (10,2)	5 (21,7)	0,273
HL, n (%)	16 (32,7)	12 (52,2)	0,128
HT süresi, yıl (ort±SS)	9,22±2,9	9,61±2,9	0,603
VYA, kg/m ²	1,7±0,12	1,76±0,1	0,048
ACE-ARB, n (%)	26 (53,1)	10 (43,5)	0,614
BB, n (%)	16 (32,7)	6 (26,1)	0,600
KKB, n (%)	7 (14,3)	4 (17,4)	0,736
STATIN, n (%)	9 (18,4)	6 (26,1)	0,537

Ort±SS: Ortalama±standart sapma, HL: Hipertansiyon, HT: Hipertansiyon, BB:

Beta bloker, KKB: Kalsiyum kanal blokeri, VYA: Vücut yüzey alanı

Her iki gruptaki hastaların ekokardiyografik bulguları

Değişken	fQRS (-)	fQRS (+)	P
IVS, cm (ort±SS)	0,88±0,15	1,03±0,12	<0,001
PW, cm (ort±SS)	0,9±0,16	1,06±0,12	<0,001
EDD, cm (ort±SS)	4,73±0,34	5,41±0,51	<0,001
ESD, cm (ort±SS)	2,78±0,27	3,36±0,47	<0,001
EDV, ml (ort±SS)	106,3±18,3	145,5±31,4	<0,001
ESV, ml (ort±SS)	31,3±8,9	48,7±18,2	<0,001
SV, ml (ort±SS)	75,6±14,3	96,7±17,8	<0,001
EF, (%) (ort±SS)	70,9±4,6	67,7±5,6	0,011
FS, (%) (ort±SS)	40,4±3,7	38,2±4,1	0,023
LVMI, gr/m ² (ort±SS)	87,7±25,23	132,6±25,5	<0,001
RWT (ort±SS)	0,382±0,06	0,4±0,04	0,344

Ort±SS: Ortalama±standart sapma IVS: Interventriküler septum, PW: Posterior duvar EDD: Diastolik sonu çap, ESD: Sistol sonu çap, EDV: Diastolik sonu hacim, ESV: Sistol sonu hacim, SV: Anım hacimi, EF: Ejeksiyon fraksiyonu, FS: Fraksiyonel kısalma, LVMI: Sol ventrikül kitle indeksi, RWT: Rölatif duvar kalınlığı

Her iki gruptaki hastaların sol ventrikül geometri bulguları

Değişken	fQRS(-)	fQRS(+)	P
Normal, n (%)	28 (57,1)	4 (17,4)	
Konsantrik remodeling, n (%)	11 (22,4)	2 (8,7)	<0,001*
Konsantrik hipertrofi, n (%)	3 (6,1)	6 (26,1)	
Eksentrik hipertrofi, n (%)	7 (14,3)	11 (47,8)	

* Fisher kesin K-Kare testi

Hypertension

S-093

Fragmented QRS on ECG is associated with increased left ventricular mass in patients with hypertension

Hasan Kadı¹, Birol Özkan², Köksal Ceyhan¹, Murat Ayan³, Mehmet Esen³, Turgay Burucu¹, Ataç Çelik¹, Fatih Koç¹, Fatih Altunkaş¹, Orhan Önalan¹

¹Department of Cardiology, Gaziosmanpaşa University Faculty of Medicine, Tokat

²Department of Cardiology, Kartal Koşuyolu Yüksek İhtisas Training and Research Hospital, İstanbul

³Department of Cardiology, Gaziosmanpaşa University Faculty of Medicine, Tokat

Hipertansiyon

S-094

Prehipertansiyonun hipertansiyona ilerlemesinin ekokardiyografik öngördürüçüleri

Habil Yücel¹, Doğan Erdoğan², Mehmet Özaydin², Atilla İqli², Emel Özkan², Akif Arslan², Salaheddin Akçay²

¹Isparta Devlet Hastanesi, Kardiyoloji Kliniği, Isparta

²Süleyman Demirel Üniversitesi Tıp Fakültesi, Kardiyoloji Anabilim Dalı, Isparta

Hypertension

S-094

Echocardiographic predictors of progression from prehypertension to hypertension

Habil Yücel¹, Doğan Erdoğan², Mehmet Özaydin², Atilla İqli², Emel Özkan², Akif Arslan², Salaheddin Akçay²

¹Department of Cardiology, Isparta State Hospital, Isparta

²Department of Cardiology, Suleyman Demirel University Faculty of Medicine, Isparta

Background: Prehypertension (PHT) was recently introduced by replacing former categories of high-normal and above-optimal blood pressure (BP). The rationale for redefining this new category was to emphasize the excess cardiovascular risk associated with BP in this range and to focus high risk for developing hypertension (HT). However, no clear definite markers to identify prehypertensive subjects at high risk of developing to HT have been established yet. Accordingly, we aimed to establish echocardiographic predictors of progression from PHT to HT.

Methods-Results: The study population consisted of 98 eligible prehypertensive subjects. All subjects underwent echocardiographic examination including coronary flow reserve (CFR) at baseline. Twenty nine (30%) subjects developed HT during the 3-year follow-up period. Creatinine level, LVMI, mitral Em and Em/Amt had a trend towards a significant crude odds ratio for the development of HT; however, only baseline systolic BP (odds ratio [OR]:1.18, 95% confidence interval[CI]=1.06-1.31; P=0.002), having metabolic syndrome (OR:3.75, 95% CI=1.43-9.78; P=0.007), HDL cholesterol (OR:0.92, 95% CI=0.86-0.98; P=0.01), presence of microalbuminuria (OR:3.53, 95% CI=1.11-11.2; P=0.03) and CFR (OR:0.65, 95% CI=0.53-0.77; P=0.02) were significant independent predictors of progression of PHT into HT. The best cut-off value of CFR to predict incident HT was 1.98 with 94% sensitivity and 79% specificity.

Conclusion: This prospective study suggested that baseline systolic BP, having metabolic syndrome, HDL cholesterol level, presence of microalbuminuria and CFR reflecting coronary microvascular function, but not left ventricular diastolic function parameters, are significant independent markers to identify participants with PHT at high risk for incident HT.

Girişimsel kardiyoloji

S-095

Renal denervasyonun güvenirliliği ve ilk deneyimlerimiz

Mehmet Bilge, Ayşe Saatçi Yaşar, Sina Ali, Hatice Tolunay, Recai Alemdar, Mehmet Erdoğan, Cemal Köseoglu, Özge Kurmuş, Ali Erayman, Tolga Han Efe, Turgay Aslan, Bilge Duran, Serkan Sivri

Yıldırım Beyazıt Üniversitesi Tıp Fakültesi, Kardiyoloji Anabilim Dalı, Ankara

Giriş: Son zamanlarda tüm dünyada güvenle uygulanmaya başlayan renal sempatik denervasyon işlemi; sekonder hipertansiyonlu olsalar da, birinci diüretik olmak şartıyla 3 veya daha fazla antihipertansif alaçık II DM'lı hastalarda sistolik kan basincının 150 mmHg ve üstünde seyrettiği, DM'lı olmayanlarında ise sistolik kan basincının 160 mmHg ve üstünde seyrettiği hastalarda uygulanmaktadır. Bu bildiride, ülkemizde yapılan ilk renal denervasyon işlemleri hakkında deneyimler işlenen güvenirliliği bildirilmektedir.

Gereçler ve Yöntem: Renal denervasyon uygulanan toplam 15 hasta çalışmamızda dahil edildi. Hastaların ortalama yaşı 51.7±8.3 iken sistolik ve diastolik kan basıncı sırasıyla 177.3±16.8 mmHg ve 97.5±12 mmHg idi. İşleme renal arterlere genellikle no-touch teknigi ile 6 Fr IMA veya renal double curve guiding kateterlerin yerleştirilmesi ile başlandı. Daha sonra sırasıyla her iki renal artere renal ablasyon kateteri girilerek renal bifurkasyondan 5 mm proksimalden başlayacak şekilde proksimalde doğru çekilecek 5 mm aralıklarla ve 45 derece kateter rotasyonu verilerek 120 saniye sürelerle uygun enerjide radyofrekans ablasyonu yapıldı. İşlem öncesi uygun dozlarla antikoagülasyon içeriği heparin, spazmi engellemek için intrarenal artere nitrogliserin verildi. Sedasyon ve ağrı kesici olarak içten midazolam, fentanil/morfin veya petidin hidroklorür verilmiştir.

Bulgular: İşlemler renal arterlerin uzunluğuna bağlı olarak yaklaşık 40-45 dakika kadar sürdü. İşlem sırasında olguların 3'ünde renal arter spazmı gelişti, 2 olguda nitrogliserinle spazm çözüldü. Diğer hastada RF ablasyon yapılan tüm bölgelerde bazen kan akımı azaltacak derecede nitrogliserine dirençli oları yayılan spazm gelişti. Renal denervasyon sırasında 1 hastada semptomatik hipotansiyon gelişirken, diğer hastalarda herhangi bir sistemik veya lokal komplikasyon görülmemiştir. Hastaların işlem öncesi ve sonrası kan basıncı kaydedilirken diğer taraftan 1, 3 ve 6. aylardaki kan basımlar takipleri planlandı. Şu anda 6 ay takibini dolduran hastalarda ortalama sistolik kan basıncında 30 mm Hg ve diastolik kan basıncında 17 mmHg'lik düşüşler gözlemlendi.

Tartışma ve Sonuç: Renal denervasyon çoklu antihipertansif tedaviye rağmen cevap alınmayan hastalarda uygulanabilir güvenilir ve etkin bir yöntemdir. Şu anda özellikle ülkemizde de tedaviye uygun olan hastaların bazlarında ve bazı hekimlerde işlemin yan etkisi konusunda tereddütler gözlemlenmektedir. Bu bağlamda, ilk gözlemlerimiz işlemin kolay ve hasta üzerine önemli bir yan etkisinin olmadığı şeklindeki

Interventional cardiology

S-095

Safety of percutaneous renal denervation and first experiences in Turkey

Mehmet Bilge, Ayşe Saatçi Yaşar, Sina Ali, Hatice Tolunay, Recai Alemdar, Mehmet Erdoğan, Cemal Köseoglu, Özge Kurmuş, Ali Erayman, Tolga Han Efe, Turgay Aslan, Bilge Duran, Serkan Sivri

Yıldırım Beyazıt Üniversitesi Tıp Fakültesi, Kardiyoloji Anabilim Dalı, Ankara

S-096

Protez kapak pannus olgularında histopatolojik ve immunohistokimyasal inceleme

Süleyman Karaköyün, Sabahattin Gündüz, Emrah Ali Oğuz, Ozan Mustafa Gürsoy, Zübeyde Bayram, Beyullah Çakal, Macit Kalçık, Mahmut Yesin, Rezzan Deniz Acar, Gökhan Kahveci, Mustafa Yıldız, Mehmet Özkan

Kartal Koşuyolu Yüksek İhtisas Eğitim ve Araştırma Hastanesi, Kardiyoloji Bölümü, İstanbul

Amaç: Pannus formasyonuna bağlı protez kapak disfonksiyonu, sık görülmeyen ancak ciddi bir komplikasyondur. Pannus patogenezi ve immunohistokimyasal özelliklerini ile ilgili az sayıda mevcuttur. Bu çalışmada protez kapak disfonksiyonuna olan hastalarda, pannus formasyonunun morfolojik, histolojik ve immunohistokimyasal karakteristiklerini araştırmayı hedefledik.

Metod: 2005-2012 yılları arasında çalışma protez kapak obstrüksiyonu nedeniyle redo kapak cerrahi yapılan 35 hasta (ortalama yaşı: 44±16, 29 Erkek, Mitrall:22, Aort:1, iki protez kapak:11, üç protez kapak:1) dahil edildi. Rezeke edilen dokular materyali %10'luk formalin solüsyonunda fiksé edildi. Yirmidört saatlik fizyonsun işlemi sonrası hazırlanan parafin bloklardan 4 mikrometrelik kesitler alındı. Histolojik inceleme Hematoxylin ve Eosin (HE) ile yapıldı. Immunohistokimyasal incelemede myofibroblastik hücreler ve düz kas hücreleri için alfa-SMA (smooth muscle antibody) ve desmin, epitelial hücreler için EMA (epitelial membran antijen), endotelial hücreler için CD34, faktör VIII ve VEGF (vasküler epitelial growth factor) araştırıldı. MMP-2, MMP-9 (matriks metalloproteinaz) ve TGF-beta (transforming growth factor) ise makrofaj, lökosit, fibroblast ve myofibroblastlardan salınan sitokinlerin varlığını göstermek için kullanıldı. Hedeflenen hücrelerde ekspresyonu varlığı pozitif (+), ekspresyon yokluğu negatif (-) olarak belirtildi.

Sonuçlar: Redo kapak cerrahisine kadar geçen ortalamaya 125±59 (24-276) ay idi. Pannus formasyonu hastaların %49'unda atrial yüzde, %29'unda ventriküler yüzde, %22'sinde hem atrial hem ventriküler yüzde tespit edildi (şekil). Pannus dokusunun mitral, aortik ve trikuspit kapakların perianüller bölgedeki neointima'ndan kaynaklandığı görüldü. Histolojik incelemede, pannus dokusunun kronik inflamatuar hücreler (lenfositler, plazma hücreleri, makrofajlar ve yabancı cisim tipi dev hücreler), myofibroblast gibi işگ hücreler, kapiller damarlar ve lümeni döşen endotel hücrelerinden oluştuğu görüldü. Immunohistokimyasal incelemede, α-SMA tüm oglarda pozitif saptanırken, desmin (%68.6), EMA (%62.9), VEGF (%42.9), TGF-beta (%51.4), MMP-2 (%48.6), CD 34 (%94.3) ve F VIII (%97.1) olguda pozitiflik tespit edildi. MMP-9 ise tüm oglarda negatif olarak bulundu.

Tartışma: Tüm bulgular birlikte değerlendirildiğinde, literatürdeki en geniş seride sahip çalışmamızda: α-SMA, F VIII ve CD34'ün yaygın ekspresyonu'nun pannus immunohistokimyasında anahtar rol oynadığını ve desmin, EMA, TGF-beta, MMP-2, VEGF aktivitesinin pannus formasyonu gelişmesinde önemli rol aldığı söyleyenbilir. Gelecekte farklı parametrelerle yapılabilecek çalışmalarla pannus formasyonun patogenezini daha anlaşırlı hale gelebilir.

Mekanik protez mitral kapakta pannus oluşumu



Pannus nedeniyle çıkarılmış olan mekanik protez mitral kapak

S-097

Metalik protez mitral ve aort kapaklarının sinefloroskopik incelemesinde hasta ve hekimin aldığı radyasyon dozunu ve inceleme süresini azaltmak için incelemeye hangi tüp açıları ile başlayalım?

Üğur Coşkun¹, Barış Ökçün¹, Murat Başkurt¹, Kadriye Kılıçkesmez¹, Cem Bostan¹, Cüneyt Kocas¹, Okay Abacı¹, Ahmet Yıldız¹, Cenk Eray Yıldız², Alev Arat¹, Aziz Tevfik Gürmen¹, Mehmet Serdar Küçükoglu¹

¹Istanbul Üniversitesi Kardiyoloji Enstitüsü, Kardiyoloji Anabilim Dalı, İstanbul

²Istanbul Üniversitesi Kardiyoloji Enstitüsü, Kalp ve Damar Cerrahisi Anabilim Dalı, İstanbul

Amaç: Metalik protez hastalarının mekanik fonksiyon bozukluğunun teşhisinde sinefloroskopik (SF) inceleme çok değerli bir inceleme yöntemidir. Pratik, tekrarlanabilir oluşu ve düşük maliyet avantajlarından. Devezantajları ise ideal açılma ve kapanma açısının görüntülenmediği tüp açısından araştırtken işlemenin uzun sürebelimi ve bu esnada hem hekimin hem de hastanın yüksek radyasyona maruz kalabilmesidir. Biz bu çalışmada kapak tipine göre röntgen tüp açılarının dağılımdaki yoğunlaşma bölgeleri olup olmadığını araştırmayı amaçladık. Eğer bir yoğunlaşma bölgesi bulabılırlısek o bölgeden incelemeye başlamamın hem hasta hem de hekim için inceleme süresini ve alınan radyasyon dozunu düşürebileceğini düşündük.

Yöntem-Gereçler: Ağustos 2009-ekim 2011 tarihlerarasında ekokardiyografi laboratuvarında mütraceat eden 195 metalik protez mitral ve aort kapak hastası onarım formu alındıktan sonra kateter laboratuvarımızda SF incelemeye alındı. SF incelemesi Philips Radiological System cihazı ile yapıldı. Mitral ve/veya aort metalik kapaklı olan hastalarda önceki supine pozisyonda leafletlerin ideal açılma ve kapanma açılma ölçülebildiği kranio-kaudal ve sağ-sol oblik röntgen tüp açısı elde edilmeye çalışıldı (Şekil 1). Eğer supine pozisyonda ideal açılma ve kapanma açısı imajı elde edilemediye hasta sırasıyla sağ lateral dekubitüs, sol lateral dekubitüs ve gerekirse prone pozisyona alınp ideal imaj ve ideal tüp açısı elde edilmeye çalışıldı. Daha sonra her bir hasta için elde edilen ideal röntgen tüp açıları kranio-kaudal (Y ekseni) ve sağ-sol oblik (X ekseni) düzlemlerde bir koordinat noktası olarak işaretlendi. X-Y analitik düzleminde olduğu gibi 4 lü kadrandaki toplam işaretlenmiş her bu noktalardan sayıldı ve yüzde oranları hesaplandı.

Sonuçlar: Hastaların karakteristik özellikleri Tablo 1'de verilmiştir. Bileaflet metalik mitral kapakların SF incelemesinde; yakaların 58 inde (65.9%) supine pozisyonda, 17 sinde (19.3%) sağ lateral dekubitüs, 8 inde (9.1%) sol lateral dekubitüs ve 5 inde (5.7%) prone pozisyonda ideal görüntü alındı. Bileaflet mitral protez kapakların supine pozisyonda alınan ideal görüntü açıllarının elde edildiği noktalardan kadranlara göre dağılımı şöyledi; 34(%58.7) vaka sağ anterior oblik (RAO)-cranial açı kadranında, 12(%20.7) vaka sol anterior oblik (LAO)-cranial açı kadranında, 7(%12.1) vaka RAO-kaudal açı kadranında ve 5(%8.6) vaka da LAO-kaudal açı kadranında saptandı (Şekil 2). Metalik aort kapak protezlerinin supine pozisyonda görüntülenmesinde elde edilen ideal açı dağılımı ise; 27(%50) vaka LAO-cranial açı kadranında, 10(%18.5) vaka LAO-cranial açı kadranında, 9(%16.7) vaka LAO-kaudal açı kadranında ve 8(%14.8) vaka da LAO-kaudal açı kadranında saptandı (Şekil 3). Sonuç olarak, röntgen açı dağılım grafiğimizde metalik protez aort kapak için LAO-cranial kadранda ve metalik protez mitral kapak için RAO-cranial kadranda yoğunluk saptadık. Incelemeye bu kadrandan başlamannı inceleme süresini ve alınan radyasyon dozunu düşürecekini düşünüyoruz.

**S-096**

Histopathological and immunohistochemical evaluation of pannus formation in patients with prosthetic heart valves

Süleyman Karaköyün, Sabahattin Gündüz, Emrah Ali Oğuz, Ozan Mustafa Gürsoy, Zübeyde Bayram, Beyullah Çakal, Macit Kalçık, Mahmut Yesin, Rezzan Deniz Acar, Gökhan Kahveci, Mustafa Yıldız, Mehmet Özkan

Department of Cardiology, Kartal Koşuyolu Yüksek İhtisas Training and Research Hospital, İstanbul

Department of Cardiology, Kartal Koşuyolu Yüksek İhtisas Training and Research Hospital, İstanbul

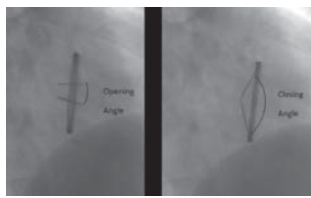
S-097

Which roentgen tube angles should we begin to cinefluoroscopic investigation of mitral and aortic mechanical prostheses for decrease time and radiation consumption?

Üğur Coşkun¹, Barış Ökçün¹, Murat Başkurt¹, Kadriye Kılıçkesmez¹, Cem Bostan¹, Cüneyt Kocas¹, Okay Abacı¹, Ahmet Yıldız¹, Cenk Eray Yıldız², Alev Arat¹, Aziz Tevfik Gürmen¹, Mehmet Serdar Küçükoglu¹

¹Department of Cardiology, Istanbul University, Institute of Cardiology, İstanbul

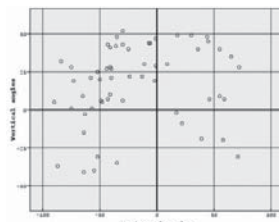
²Department of Cardiovascular Surgery, Istanbul University, Institute of Cardiology, İstanbul



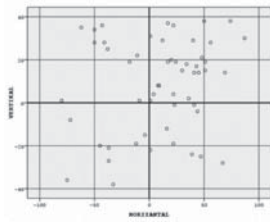
Figür 1. Optimal sinefloroskopik açılma ve kapanma açıları
Leaflet ince ve çizgisel görünümleri ve açılma ve kapanma açıları ölçülebilir

Tablo 1. Hastaların karakteristik özellikleri

YAŞ	51.86±12.80
CİNSLİYET	52.6% (101)
MONOLEAFLET PROTEZ AORT KAPAK	8.4% (19)
BİLEAFLET PROTEZ AORT KAPAK	30.2% (68)
MONOLEAFLET PROTEZ MITRAL KAPAK	16.4% (37)
BİLEAFLET PROTEZ MITRAL KAPAK	43.5% (98)
PROTEZ TRIKUSPİT KAPAK	1.3% (3)



Figür 2. Bileaflet metalik mitral kapak supin pozisyon açı dağılım grafiği



Figür 3. Bileaflet metalik aort kapak supin pozisyon açı dağılım grafiği

S-098

Mekanik protez kapak trombusu olan hastalarda trombolitik tedavinin B tipi natriüretik peptit seviyesine etkisi

Zübeyde Bayram, Beytullah Çakal, Mustafa Ozan Gürsoy, Süleyman Karaköyün, Macit Kalçık, Mahmut Yesin, İsmail Erdem, Gökhan Kahveci, Mehmet Özkan

Kartal Koşuyolu Yüksek İhtisas Eğitim ve Araştırma Hastanesi, Kardiyoloji Bölümü, İstanbul

Amaç: Protez kapak trombusu (PKT) ciddi morbidite ve mortalite ile seyreden nadir bir komplikasyondur. B tipi natriüretik peptit (BNP) kardiyovasküler hastalıklarla (sol ventriküler distonksiyon, akut koroner sendrom, bazi kapak hastalıkları ve akut dispne tanısı gibi) tam ve risk belirlemede kullanlan bir biyobelirtecidir. Ancak BNP düzeyinin PKT tanısında ve trombolitik tedavinin takibindeki değeri bilinmemektedir. Çok geniş seride sahip bu çalışmada PKT'lı olan hastalarda ve trombolitik tedavideki değeri bilinmemektedir. Bu çalışmada; PKT'si olan hastalarda TT'nin serum BNP düzeye etkisi araştırılmıştır.

Materyal-Metod: Çalışmaya PKT saptanan (47 hasta obstrüktif, 33 hasta nonobstrüktif trombus) ve dokuda plazminogen aktivatör (tPA) ile tedavi edilen 80 hasta, kontrol grubu olarak normal mekanik protez kapak fonksiyonlarına sahip 140 hasta alındı. Tüm hasta ve kontrol grubunun başvuru anında BNP düzeyleri ölçüldü. Ayrıca trombolitik tedavi uygulanan hastalarda hastaneden taburculuk öncesi ikinci BNP ölçümü yapıldı.

Bulgular: Trombolitik tedavi (TT) uygulanan 80 hastanın 77'sinde TT sonrası BNP seviyesinde azalma gözlenen 3 hasta BNP düzeyinde artış izlendi. Tüm hastaların bazal ortalama BNP değeri 202 pg/ml, obstrüktif PKT'si olan hastaların 322 pg/ml, nonobstrüktif PKT'si olan hastaların 84 pg/ml ve kontrollerin 24 pg/ml idi. Obstrüktif PKT ile başvuran hastaların ortalama bazal değeri nonobstrüktif PKT hastalarının ve kontrol grubun ortalama değerlerinden anamli derecede yükseltti ($p<0.001$). Ayrıca nonobstrüktif PKT hasta grubunun ortalama bazal BNP düzeyi kontrol grubuna göre daha yüksek bulundu (84 pg/ml vs 24 pg/ml, $p<0.001$). Ortalama BNP değeri trombolitik tedavi sonrasında tüm hastalarda 202 pg/ml'den 103 pg/ml'ye ($p<0.001$), obstrüktif PKT'si olan hasta grubunda 322 pg/ml'den 181 pg/ml'ye ($p<0.001$) ve nonobstrüktif PKT hasta grubunda 84 pg/ml'den 55 pg/ml'ye ($p<0.05$) geriledi. BNP'deki düşüş oranı obstrüktif PKT grubunda nonobstrüktif PKT grubuna kıyasla anamli derecede fazla bulundu (%52 vs %33, $p=0.024$). Başvuru anında daha yüksek NYKC sınıflına sahip olan hastalarda daha yüksek miktarda BNP'de düşüşü oldu. Ortalama düşüş miktarı NYKC sınıf I grubunda 17 pg/ml, NYKC sınıf II grubunda 122 pg/ml ve NYKC sınıf III-IV grubunda 277 pg/ml idi ($p<0.001$).

Sonuç: Plazma BNP düzeyi protez kapak trombusu olan hastalarda kontrol grubuna kıyasla belirgin olarak yükseltti. Başarılı trombolitik tedavi sonrası BNP düzeyinde belirgin azalma görüldü. Bu azalma özellikle obstrüktif trombusu olan hastalarda daha belirgin idi. Protez kapak trombusu ile başvuran hastalarda trombolitik tedavi öncesinde ve sonrasında BNP düzeyinin ölçülmesi tanyi desteklemeye ve tedavinin monitorizasyonunda kullanılabilir.

S-098

Effect of the thrombolytic treatment in patients with mechanical prosthetic valve thrombosis on brain natriuretic peptide level

Zübeyde Bayram, Beytullah Çakal, Mustafa Ozan Gürsoy, Süleyman Karaköyün, Macit Kalçık, Mahmut Yesin, İsmail Erdem, Gökhan Kahveci, Mehmet Özkan

Department of Cardiology, Kartal Koşuyolu Yüksek İhtisas Training and Research Hospital, İstanbul

Kapak hastalıkları

S-099

Protez kalp kapak trombusu sebebiyle trombolitik tedavi uygulanan hastalarda sağ ve sol kalbin iki boyutlu strain ve strain rate görüntüleme ile değerlendirilmesi

Beytullah Çakal¹, Sinem Çakal¹, Mustafa Ozan Gürsoy¹, Zübeyde Bayram¹, Macit Kalçık¹, Süleyman Karaköyün¹, Mahmut Yesin¹, Rezzan Deniz Acar¹, Gökhan Kahveci¹, Mustafa Yıldız¹, Mehmet Özkan¹

Kartal Koşuyolu Yüksek İhtisas Eğitim ve Araştırma Hastanesi, Kardiyoloji Bölümü, İstanbul

Amaç: Mekanik kapak trombusu (MKT), protez kapak hastalarında görülen yaşamı tehdit edici komplikasyonlardan biridir. Semptomatik MKT'nin öncelikli tedavi yöntemi cerrahi olsa da, trombolitik tedavi (TT), cerrahının alternatif olarak kullanılmaktadır. Bu çalışmada, protez mitral kapak trombusunda (PMKT) ve protez aort kapak trombusunda (PAKT), TT'nin sağ ve sol kalp deformasyonlarına olan etkisi araştırılmıştır.

Metod: PMKT ve PAKT'ı ouan 22 hastada (17 kadın, 5 erkek, 14 mitral; 8 aortik kapak, %23 atrial fibrillation, ortalama yaşı: 46) TT öncesi ve sonrası sağ ve sol kalp deformasyonları değerlendirildi. Global sağ ve sol atrial zirve sistolik uzun eksen strain (S) ve strain rate (SR) değerleri, apikal 4 boşluk görüntüünde, atrial rezervuar fazda ölçüldü. Speckle tracking yöntemiyle sağ ventrikül uzun eksen global zirve sistolik S ve SR ölçümleri apikal 4 boşluk görüntüsünden, sol ventrikül uzun eksen global zirve sistolik S ve SR apikal 2-, 3-, 4-boşluk görüntülerinden elde edilen 18 segment S ölçümlerinin aritmetik ortalaması alınarak elde edildi.

Bulgular: 22 hastanın 21'inde TT başarılı oldu. Sol atriyum rezervuar fazındaki uzun eksen zirve sistolik S ve strain rate değerlerinde, başarılı TT sonrası istatistiksel anlamlı artı izlendi. (PMKT grubunda, sol atriyal S, TT öncesi 1.18 ± 2.6 ; TT sonrası 2.76 ± 0.8 p=0.001; sol atriyal SR: TT öncesi 1.10 ± 0.30 s-1; TT sonrası 1.45 ± 0.28 s-1 p=0.018; PAKT grubunda sol atriyal S, TT öncesi 22.1 ± 5.9 ; TT sonrası 25.7 ± 7.2 p=0.006; sol atriyal SR TT öncesi 1.12 ± 0.20 s-1; TT sonrası 1.69 ± 0.15 s-1; p=0.0001). Sol ventrikül, sağ atriyal zirve sistolik uzun eksen S ve SR ile sağ ventrikül SR değerlerinde, TT sonrası her 2 grupta da istatistiksel olarak anlamlı değişiklik izlendi. Bu karşı PMKT grubunda, başarılı TT sonrası global sağ ventriküler S anlamlı olarak arttı (TT öncesi 19.9 ± 2.3 , TT sonrası 22.9 ± 2.7 ; p=0.0001).

Sonuç: Protez kapak trombusunda TT sonrası, sol ventriküler ve sağ atriyal S değerlerinde değişiklik izlenmese de, başarılı trombolitik sonrası trombus yükünün azalmasına bağlı olarak, sol atriyal S ve SR değerleri her 2 grupta artarken, sağ ventrikül S'de ise sadece PMKT grubunda anlamlı olarak artış izlendi.

S-100

Protez kapak olgularında akut koroner sendrom: koroner emboli kaynağı olarak alta yatan protez kapak trombusu

Süleyman Karaköyün¹, M. Ozan Gürsoy¹, Macit Kalçık¹, Hasan Kaya², Zübeyde Bayram¹, Beytullah Çakal¹, Mahmut Yesin¹, R. Deniz Acar¹, Gökhan Kahveci¹, Mustafa Yıldız¹, Mehmet Özkan¹

Kartal Koşuyolu Yüksek İhtisas Eğitim ve Araştırma Hastanesi, Kardiyoloji Bölümü, İstanbul

¹Dicle Üniversitesi Tıp Fakültesi, Kardiyoloji Anabilim Dalı, Diyarbakır

Amaç: Akut koroner sendrom (AKS) genelde aterosklerotik plak rüptürüne bağlı koroner arter okluzyonu sonucu meydana gelmektedir. Koroner emboli (KE) AKS'un bilinen ancak nadir rastlanan sebeplerinden biridir. Protez kalp kapığı (PK) olanlarında AKS ile ilgili mevcut bilgiler kısıtlı ve genelde olgu bildirisleri şeklindeki. Bu çalışmamızda hastaların klinik karakteristikleri, tanı ve tedaviye yaklaşımının öneği ve yerini göstermeye amaçladık.

Yöntem: Çalışmamız 2004-2012 yılları arasında, hastanemiz acil servisine AKS ile kabul edilen ve PK taşıyan hastaların prospektif olarak alındı. AKS tanısı iskemik klinik semptomlar, elektrokardiografi ve kardiyak biyomarkerler ile konuldu. Distal perfüzyon olsun veya olmasın trombus varlığı, INR<2, normal koroner anjografik bulgular ve PK trombusu olduğu transtorsas ekokardiografi ve 3 boyutlu gerçek zamanlı transzfageal ekokardiografi değerlendirme sonucu gösterilen, 2 veya 3 damar hastalıktı yokluğunda hastalar, KE lehine değerlendirildi. Aortik protez kapığı olan ve trombus olduğu, transtorasik ve transzfageal ekokardiografi sonucu ispatlanan hastalarda ise yüksek tromboemboli riski nedeniley başvuru esnasında koroner anjografi yapılmıştır. Aterosklerotik kökenli olanlar dışında PK trombusu saptanın hastaların tamamına trombolitik tedavi (TT) uygulanmıştır.

Bulgular: Çalışmaya 38 hasta (ortalama yaşı: 35±12, 19:E) dahil edildi. Yirmi hasta mitral (%52,6), 9 hasta aortik (%23,7), 8 hasta hem mitral hem aortik (%21,1), 1 hasta (%2,6) ise mitral, aortik ve triküspit konumunda protez kapak mevcuttu. Başvuru esnasında ortalama INR değerleri 1.5 ± 0.7 idi. Hastaların 11'i ST-segment elevasyonlu AKS (%28,9), bir hasta arrest (%2,6), 26 hasta (%68,4) ise ST elevasyonsuz AKS tanısı ile yatırıldı. Transzfageal ekokardiografi değerlendirme sonucu 29 hasta PK trombusu tespit edildi (Mitral:15, Aortik:10, Mitral ve Aortik:4). Aort kapakta trombus saptanın 14 hasta dışında tüm hastalarla (n: 24) koroner anjografi yapıldı. PK trombusu saptanın 9 hastanın 3'u aterosklerotik kökenli olduğunu, 6 hastada ise trombusun embolize olması nedeniley PK trombusu saptanamadığı düşünüldü. Koroner anjografi yapılan 24 hastanın 13'te koroner arterlerde tromboze lezyon, 5 hastada aterosklerotik 1-3 damar hastalığı, 6 olguda da koroner arterlerin normal olduğu saptandı. Aort kapak trombusu olmayan 3 hasta aterosklerotik kökenli lezyon düştünlerele perkitan koroner girişimle tedavi edildi, 22 hasta PK kökenli KE düzünlerele TT verildi. Otuz beş olguda (29 PK trombus, 6 koroner arter trombusu) TT uygulandı ve 32 hastada (%91) basarı sağlandı.

Sonuç: PK öyküsü olan hastalarda, AKS patogenezi aterosklerozdan ziyade PK kökenli KE ile ilişkili olabilir. Etkili oral antikoagulan tedavi altında bile KE tanısından şüphe edilmeli ve tedavi konusunda belirsizlik olan bu grupta PK trombusu ve/veya koroner arter tromboze lezyonlarında başarılı şekilde TT'nin uygulanabileceği akılda tutulmalıdır.

Vulvar heart diseases

S-099

Evaluación de la deformación y la tasa de deformación en el corazón izquierdo y derecho en la trombosis valvular prostética tratada con terapia trombolítica

Beytullah Çakal¹, Sinem Çakal¹, Mustafa Ozan Gürsoy¹, Zübeyde Bayram¹, Macit Kalçık¹, Süleyman Karaköyün¹, Mahmut Yesin¹, Rezzan Deniz Acar¹, Gökhan Kahveci¹, Mustafa Yıldız¹, Mehmet Özkan¹

Department of Cardiology, Kartal Koşuyolu Yüksek İhtisas Training and Research Hospital, İstanbul

Aim: Mechanical valve thrombosis is a life-threatening complication of prosthetic heart valve disease. Although surgery is the first-line treatment modality particularly in symptomatic obstructive mechanical valve thrombosis, thrombolytic therapy (TT) has also been used as an alternative to surgical treatment. The potential effects of TT in patients with prosthetic mitral valve thrombosis (PMVT) and aortic valve thrombosis (PAVT) to right heart and left heart deformations have not been studied.

Methods: We studied 22 patients (17 female, 5 male, 14 mitral; 8 aortic valve, 23 % with atrial fibrillation, mean age: 46) with PMVT and PAVT before and early after TT. The analysis for global left and right atrial (RA) deformations was performed on the apical four-chamber view. Peak systolic longitudinal strain (S) and strain rate (SR) during atrial reservoir phase were measured. Speckle tracking derived right ventricular (RV) global longitudinal peak systolic S and SR were obtained from apical four-chamber view, left ventricular (LV) global peak systolic S and SR were obtained by averaging all segment S values from the apical 4-chamber, 2-chamber, and long axis views.

Results: Twenty-one of 22 patients treated with TT were successful. Peak systolic S and SR at left atrial (LA) reservoir phase augmented significantly (LA-S 18.8 ± 2.6 vs. 27.6 ± 0.8 p=0.001; LA-SR 1.10 ± 0.30 vs. 1.45 ± 0.28 p=0.018 in PMVT group, LA-S 22.1 ± 5.9 vs. 25.7 ± 7.2 p=0.006; LA-SR 1.12 ± 0.20 vs. 1.69 ± 0.15 ; p=0.0001 in PAVT group). LV and right atrial peak systolic longitudinal S-SR and RV SR were not changed significantly following TT in both groups. However, RV-S was significantly increased (RV-S 19.9 ± 2.3 vs. 22.9 ± 2.7 ; p=0.0001) in PMVT.

Conclusion: Although, no difference was observed in LV-S and right atrial strain following TT in patients with prosthetic heart valve thrombosis, lysis of clot burden resulted in a significant increase in LA-S, LA-SR in both groups however RV-S augmented significantly in only PMVT group which may stand for improvement of regional S-SR after successful thrombolysis

S-100

Protez kapak olgularında akut koroner sendrom: koroner emboli kaynağı olarak alta yatan protez kapak trombusu

Süleyman Karaköyün¹, M. Ozan Gürsoy¹, Macit Kalçık¹, Hasan Kaya², Zübeyde Bayram¹, Beytullah Çakal¹, Mahmut Yesin¹, R. Deniz Acar¹, Gökhan Kahveci¹, Mustafa Yıldız¹, Mehmet Özkan¹

Department of Cardiology, Kartal Koşuyolu Yüksek İhtisas Training and Research Hospital, İstanbul

¹Dicle Üniversitesi Tıp Fakültesi, Kardiyoloji Anabilim Dalı, Diyarbakır